



ระบบส่งกำลังไฟฟ้ากระแสตรงจำลอง
DC TRANSMISSION SYSTEM SIMULATOR



โดย
นาย จตุพร กุลภากร
นาย เทพจิตร เทยโกศา
นาย วิชัย ลีวนานนท์ชัย
นาย สมศักดิ์ หอมนวล

วัน เดือน ปี... ๑๓ ก.ค. ๒๕๔๐
เลขทะเบียน... ๐๓๗๐๔๕
เลขเรียกหนังสือ... T ๑๘๑๓๘ ๑๓๖๕

ปริญญานิพนธ์นี้เป็นส่วนหนึ่งของการศึกษิตตามหลักสูตรปริญญาวิศวกรรมศาสตรบัณฑิต
สาขาวิศวกรรมไฟฟ้า
สถาบันเทคโนโลยีพระจอมเกล้าเจ้าคุณทหารลาดกระบัง
ปีการศึกษา ๒๕๓๘

เอกสารนี้เป็นเอกสารที่สงวนไว้สำหรับการใช้งานเพื่อการศึกษาเท่านั้น ไม่อนุญาตให้นำไปใช้ประโยชน์ด้านการค้า
ไม่ว่ากรณีใดๆ ทั้งสิ้น อีกทั้งห้ามมิให้ดัดแปลงเนื้อหาและต้องอ้างอิงถึงเจ้าของเอกสารทุกครั้งที่มีการนำไปใช้

037045

ระบบส่งกำลังไฟฟ้ากระแสตรงจำลอง
DC TRANSMISSION SYSTEM SIMULATOR



อาจารย์ที่ปรึกษา

ผศ. ศิริวัฒน์ โพธิเวชกุล

เอกสารนี้เป็นเอกสารที่สงวนไว้สำหรับการใช้งานเพื่อการศึกษาเท่านั้น ไม่อนุญาตให้นำไปใช้ประโยชน์ด้านการค้า
ไม่ว่ากรณีใดๆ ทั้งสิ้น อีกทั้งห้ามมิให้ตัดแปลงเนื้อหาและต้องอ้างอิงถึงเจ้าของเอกสารทุกครั้งที่มีการนำไปใช้

ปริญญาานิพนธ์ปีการศึกษา 2538

ภาควิชาวิศวกรรมไฟฟ้า

คณะวิศวกรรมศาสตร์ สถาบันเทคโนโลยีพระจอมเกล้าเจ้าคุณทหารลาดกระบัง

เรื่อง ระบบส่งกำลังไฟฟ้ากระแสตรง

คณะผู้จัดทำ



นาย จตุพร กุลภากร
นาย เทพจิตร เสงยโกศา
นาย วิชัย ลีวนานนท์ชัย
นาย สมศักดิ์ หอมนวล

 อาจารย์ที่ปรึกษา
(ผศ. ศิริวัฒน์ โพธิ์เพชรกุล)

เอกสารนี้เป็นเอกสารที่สงวนไว้สำหรับการใช้งานเพื่อการศึกษาเท่านั้น ไม่อนุญาตให้นำไปใช้ประโยชน์ด้านการค้า
ไม่ว่ากรณีใดๆ ทั้งสิ้น อีกทั้งห้ามมิให้ดัดแปลงเนื้อหาและต้องอ้างอิงถึงเจ้าของเอกสารทุกครั้งที่มีการนำไปใช้

สารบัญ

หน้า

บทคัดย่อ	I
ABSTRACT	II
สารบัญรูป	III
สารบัญตาราง	V
บทที่ 1 บทนำ	1
1.1 ขอบเขตของการทำโครงการ	1
1.2 วัตถุประสงค์	2
1.3 ประโยชน์ที่คาดว่าจะได้รับจากการวิจัยโครงการ	2
1.4 การพัฒนาใช้งานในอนาคต	2
1.5 ขั้นตอนการดำเนินงาน	2
1.6 ข้อเปรียบเทียบ	3
1.7 บทสรุป	5
บทที่ 2 รูปแบบระบบการส่งจ่ายกำลังไฟฟ้า	6
2.1 ลักษณะของการส่งจ่ายกำลังไฟฟ้ากระแสดรง	6
2.2 หลักการทำงานของคอนเวอร์เตอร์	7
2.3 การวิเคราะห์คอนเวอร์เตอร์	9
2.4 รีแอกเตอร์	14
บทที่ 3 ระบบส่งจ่ายกำลังไฟฟ้ากระแสดรง	17
3.1 หลักการทำงานทั่วไปของระบบ	17
3.2 ส่วนประกอบของระบบไฟฟ้ากระแสดรง	18
3.3 เอสซีอาร์	20
3.4 คอนเวอร์เตอร์	22
3.5 บริดจ์คอนเวอร์เตอร์	23
บทที่ 4 การออกแบบและการสร้างส่วนประกอบต่างๆของระบบส่งกำลังไฟตรง	35
4.1 เครื่องกำเนิดไฟฟ้า	35
4.2 หม้อแปลงแรงดันไฟฟ้า	37

เอกสารนี้เป็นเอกสารที่สงวนไว้สำหรับการใช้งานเพื่อการศึกษาเท่านั้น ไม่อนุญาตให้นำไปใช้ประโยชน์ด้านการค้า
ไม่ว่ากรณีใดๆ ทั้งสิ้น อีกทั้งห้ามมิให้ตัดแปลงเนื้อหาและต้องอ้างอิงถึงเจ้าของเอกสารทุกครั้งที่มีการนำไปใช้

4.3 คอนเวอเตอร์	37
4.4 การออกแบบและการสร้างตัวอินดัคเตอร์ที่ใช้เป็นรีแอคเตอร์	38
4.5 ดีซี ฟิลเตอร์	42
4.6 การออกแบบและการสร้างหม้อแปลงสัญญาณกระตุ้น	45
4.7 วงจรส่วนสร้างสัญญาณกระตุ้น	48
บทที่ 5 การทดลองและผลการทดลอง	52
5.1 การทดลองหาคคุณสมบัติของคอนเวอเตอร์	52
5.2 การทดลองทั้งระบบ	53
บทที่ 6 บทวิจารณ์และสรุป	62
ภาคผนวก	
กิตติกรรมประกาศ	
เอกสารอ้างอิง	



เอกสารนี้เป็นเอกสารที่สงวนไว้สำหรับการใช้งานเพื่อการศึกษาเท่านั้น ไม่อนุญาตให้นำไปใช้ประโยชน์ด้านการค้า
ไม่ว่ากรณีใดๆ ทั้งสิ้น อีกทั้งห้ามมิให้ตัดแปลงเนื้อหาและต้องอ้างอิงถึงเจ้าของเอกสารทุกครั้งที่มีการนำไปใช้

ระบบส่งกำลังไฟฟ้ากระแสตรงจำลอง

นาย จตุพร กุลภากร

นาย เทพจิตร์ เศษโกศา

นาย วิชัย ลีวนานนท์ชัย

นาย สมศักดิ์ หอมนวน

ผศ. ศิริวัฒน์ โพธิเวชกุล อาจารย์ที่ปรึกษา

ปีการศึกษา 2538

บทคัดย่อ

ปริญญานิพนธ์ฉบับนี้จะทำการศึกษาการทำงานของระบบส่งกำลังไฟฟ้ากระแสตรง เพื่อทำการสร้างแบบจำลองของระบบดังกล่าว โดยจะใช้เอสซีอาร์สามเฟสบริดจ์คอนเวอร์เตอร์ซึ่งทำหน้าที่ทั้งรับและส่งกำลังไฟฟ้า ซึ่งเป็นส่วนที่สำคัญของแบบจำลองนี้ โดยถ้าคอนเวอร์เตอร์ที่ปลายทางทำหน้าที่ส่งกำลังไฟฟ้า (Rectification mode) คอนเวอร์เตอร์ด้านต้นทาง จะทำหน้าที่รับกำลังไฟฟ้า (Inversion mode) ในทางกลับกันถ้าคอนเวอร์เตอร์ด้านปลายทางทำหน้าที่รับกำลังไฟฟ้า ที่ด้านต้นทางจะทำหน้าที่ส่งกำลังไฟฟ้า

การทำให้กำลังไฟฟ้าไหลกลับทิศทางนั้นทำได้โดยกลับศักดาไฟฟ้าของสายส่ง ซึ่งทำได้โดยเปลี่ยนมุมจุดชนวนของชุดคอนเวอร์เตอร์ แต่กระแสจะมีทิศทางไหลเหมือนเดิมเนื่องจากเอสซีอาร์สามารถนำกระแสได้เพียงทิศทางเดียวเท่านั้น

เอกสารนี้เป็นเอกสารที่สงวนไว้สำหรับการใช้งานเพื่อการศึกษาเท่านั้น ไม่อนุญาตให้นำไปใช้ประโยชน์ด้านการค้า ไม่ว่ากรณีใดๆ ทั้งสิ้น อีกทั้งห้ามมิให้ดัดแปลงเนื้อหาและต้องอ้างอิงถึงเจ้าของเอกสารทุกครั้งที่มีการนำไปใช้

DC TRANSMISSION SYSTEM SIMULATOR

Jatuporn kullapakorn

Thepjit Cheypoca

Wichai Liwnanonchai

Somsak Homnual

Asist.Prof. Siriwat Phothiwechakul Advisor

1995

ABSTRACT

This project will educated operation of dc transmission system for simulate and developement. This system used 3 phase bridge converter full control witch SCR for receiver and transmission power.

If converter of end of transmission line operated in rectification mode. converter of sending of transmission line will operating in inversion mode. In other hand, If converter of end of transmission line operated in invertstion mode. Converter of sending of transmission line will operated in rectification mode.

To reverse power flow in transmission line by change polarity of transmission line. Polarity of transmission line change by the firing angle ,so that all the rectifier became inverter but the line current continue to flow in the same direction because thyristor conducted current in one directional.

เอกสารนี้เป็นเอกสารที่สงวนไว้สำหรับการใช้งานเพื่อการศึกษาเท่านั้น ไม่อนุญาตให้นำไปใช้ประโยชน์ด้านการค้า
ไม่ว่ากรณีใดๆ ทั้งสิ้น อีกทั้งห้ามมิให้ดัดแปลงเนื้อหาและต้องอ้างอิงถึงเจ้าของเอกสารทุกครั้งที่มีการนำไปใช้

สารบัญรูป

	หน้า
บทที่ 2 รูปที่ 2.1 วงจรส่งกำลังไฟฟ้าแบบขั้วเดียว	6
รูปที่ 2.2 วงจรส่งกำลังไฟฟ้าแบบสองขั้ว	6
รูปที่ 2.3 วงจรส่งกำลังไฟฟ้าแบบขั้วเดียวร่วมกัน	7
รูปที่ 2.4 แสดงการจ่ายพลังงานในโหมดเรกติฟายเออร์	7
รูปที่ 2.5 แสดงการจ่ายพลังงานในโหมดอินเวอร์เตอร์	8
รูปที่ 2.6 วงจรคอนเวอร์เตอร์สามเฟสควบคุมเต็มคลื่นและรูปคลื่น	9
รูปที่ 2.7 วงจรคอนเวอร์เตอร์สามเฟสต่อร่วมกันและรูปคลื่น	12
รูปที่ 2.8 วงจรที่ใช้วิเคราะห์หาค่ารีแอกเตอร์ที่ต่อกับสายส่งไฟตรง	14
รูปที่ 2.9 แสดงแรงดันไฟตรงและกระแสไฟตรงที่ $\alpha = 30^\circ$	16
บทที่ 3 รูปที่ 3.1 วงจรระบบส่งพลังงานไฟฟ้ากระแสตรง	17
รูปที่ 3.2 ส่วนประกอบของอุปกรณ์ในระบบไฟฟ้ากระแสตรง	19
รูปที่ 3.3 สัญลักษณ์ของเอสซีอาร์	20
รูปที่ 3.4 โครงสร้างของเอสซีอาร์	20
รูปที่ 3.5 วงจรแสดงการนำกระแสของเอสซีอาร์	21
รูปที่ 3.6 วงจรบริดจ์คอนเวอร์เตอร์	23
รูปที่ 3.7 วงจรบริดจ์เรกติฟายเออร์	25
รูปที่ 3.8 รูปสัญญาณการทำงานของเรกติฟายเออร์เมื่อมุมจุดชนวน $\alpha=30^\circ$	26
รูปที่ 3.9 รูปสัญญาณการทำงานของเรกติฟายเออร์เมื่อมุมจุดชนวน $\alpha=90^\circ$	27
รูปที่ 3.10 วงจรบริดจ์คอนเวอร์เตอร์	31
รูปที่ 3.11 สัญญาณการทำงานของอินเวอร์เตอร์	33
บทที่ 4 รูปที่ 4.1 แสดงส่วนประกอบต่างๆของระบบส่งกำลังไฟฟ้ากระแสตรง	36
รูปที่ 4.2 แสดงการต่อหม้อแปลงแรงดันไฟฟ้า 1 เฟส 3 ตัว สตาร์/สตาร์	37
รูปที่ 4.3 ลักษณะการต่อวงจรคอนเวอร์เตอร์	38
รูปที่ 4.4 (ก) การวางแกนเหล็กของอินดัคเตอร์	38
รูปที่ 4.4 (ข) การกำหนดพื้นที่ของอินดัคเตอร์	38

เอกสารนี้เป็นเอกสารที่สงวนลิขสิทธิ์ไว้เพื่อการศึกษาเท่านั้น ไม่อนุญาตให้นำไปใช้ประโยชน์ทางการค้า
ไม่ว่ากรณีใดๆ ทั้งสิ้น อีกทั้งห้ามมิให้ตัดแปลงเนื้อหาและต้องอ้างอิงถึงเจ้าของเอกสารทุกครั้งที่มีการนำไปใช้

รูปที่ 4.5	แสดงชนิดของฟิลเตอร์	44
รูปที่ 4.6 (ก)	หม้อแปลงสัญญาณกระตุ้น	45
รูปที่ 4.6 (ข)	รูปสัญญาณกระตุ้นและสัญญาณค่าความหนาแน่น	45
รูปที่ 4.7 (ก)	แสดงวงจรสัญญาณกระตุ้น	48
รูปที่ 4.7 (ข)	รูปสัญญาณคิกคาไฟฟ้าที่ขาต่างๆ ของ IC	49
รูปที่ 4.8	วงจรสัญญาณกระตุ้นสามชุดให้เรียงลำดับเฟส	50
รูปที่ 4.9	แสดงลายทองแดงของวงจรจุดชนวน 3 ϕ บริดจ์คอนเวอร์เตอร์	51
บทที่ 5	รูปที่ 5.1 แสดงการต่อวงจรทดลองในโหมดเรกติไฟเออร์	52
รูปที่ 5.2	วงจรการทดลองส่งกำลังไฟฟ้ากระแสตรง	54
รูปที่ 5.3	แสดงรูปคลื่นแรงดันที่ขั้วคอนเวอร์เตอร์	59
รูปที่ 5.4	แสดงรูปคลื่นกระแสด้านส่งกำลังไฟฟ้า	59
รูปที่ 5.5	แสดงรูปคลื่นกระแสด้านรับกำลังไฟฟ้า	60
รูปที่ 5.6	แสดงชุดคอนเวอร์เตอร์แต่ละด้าน	60
รูปที่ 5.7	แสดงชุดฮาร์โมนิกฟิลเตอร์บนดีซี ไลน์	61
รูปที่ 5.8	แสดงระบบจำลองการส่งกำลังไฟฟ้ากระแสตรง	61

เอกสารนี้เป็นเอกสารที่สงวนไว้สำหรับการใช้งานเพื่อการศึกษาเท่านั้น ไม่อนุญาตให้นำไปใช้ประโยชน์ด้านการค้า
ไม่ว่ากรณีใดๆ ทั้งสิ้น อีกทั้งห้ามมิให้ตัดแปลงเนื้อหาและต้องอ้างอิงถึงเจ้าของเอกสารทุกครั้งที่มีการนำไปใช้

สารบัญตาราง

หน้า

1. ตารางบันทึกผลการทดลองหาประสิทธิภาพและรีปเปิด

53



เอกสารนี้เป็นเอกสารที่สงวนไว้สำหรับการใช้งานเพื่อการศึกษาเท่านั้น ไม่อนุญาตให้นำไปใช้ประโยชน์ด้านการค้า
ไม่ว่ากรณีใดๆ ทั้งสิ้น อีกทั้งห้ามมิให้ดัดแปลงเนื้อหาและต้องอ้างอิงถึงเจ้าของเอกสารทุกครั้งที่มีการนำไปใช้

บทที่ 1

บทนำ

การส่งจ่ายกำลังไฟฟ้าที่นิยมใช้ทั่วไปคือ การส่งจ่ายด้วยระบบไฟฟ้ากระแสสลับ การส่งจ่ายในระบบนี้ทำให้เกิดการแกว่ง (Oscillated) ในระบบ ซึ่งมีผลมาจากค่า L,C ที่เกิดขึ้น ที่สายส่งในระบบเนื่องจากกระยะทางในการส่งผ่านพลังงานไกลๆนอกจากนี้จะเกิดค่าการสูญเสียเนื่องจากผลของแรงดันไฟฟ้าตกสูญเสีย (Voltagedrop) ทำให้เกิดปัญหาทางด้านโวลต์เตจเรกกูเลชันของระบบ ทำให้โวลต์เตจที่ปลายสายมีค่าระดับแรงดันไฟฟ้าลดลง และระบบส่งผ่านกำลังไฟฟ้ากระแสสลับนี้ไม่สามารถทำการต่อเชื่อมโยงระบบจากแหล่งต้นพลังงานกระแสสลับที่มีความถี่แตกต่างกันได้

ดังนั้นจึงได้มีการนำการส่งจ่ายกำลังไฟฟ้ากระแสตรงเข้ามาช่วยในการส่งผ่าน พลังงานไฟฟ้า ระหว่างโครงข่ายไฟฟ้ากระแสสลับสองโครงข่าย ซึ่งปัญหาดังกล่าวข้างต้นนี้จะหมดไปถ้านำระบบการส่งจ่ายกำลังไฟฟ้ากระแสตรงมาใช้

คณะผู้จัดทำได้ทำการศึกษา ค้นคว้า และสร้างระบบส่งจ่ายกำลังไฟฟ้ากระแสตรงแบบจำลองขึ้น เพื่อศึกษาและพัฒนาระบบให้เหมือนระบบจริง ซึ่งการส่งจ่ายกำลังไฟฟ้ากระแสตรงนี้ในอนาคตอาจจะนำมาใช้ในประเทศไทยได้ เพราะดีกว่าการส่งจ่ายกำลังไฟฟ้ากระแสสลับอยู่หลายประการทั้งทางด้านคุณสมบัติทางไฟฟ้า และด้านเศรษฐศาสตร์ในเรื่องของราคากระบบโดยรวม

ดังนั้นคณะผู้จัดทำหวังอย่างยิ่งว่าเนื้อหาภายในปฏิญยานิพนธ์ฉบับนี้ จะมีประโยชน์สำหรับผู้ที่มีความสนใจ ในเรื่องระบบการส่งจ่ายกำลังไฟฟ้ากระแสตรง เพื่ออาจจะนำระบบนี้ไปพัฒนาให้มีประสิทธิภาพดียิ่งขึ้น

1.1 ขอบเขตของการทำโครงการ

- จะทำการศึกษา ค้นคว้า พัฒนา และสร้างแบบจำลอง การส่งผ่านกำลังไฟฟ้าโดยใช้ไฟฟ้ากระแสตรง เป็นตัวกลางในการส่งผ่าน โดยการเชื่อมโยงระบบไฟฟ้ากระแสสลับ สองระบบเข้าด้วยกัน ขนาด 3 ϕ 120 Volt 50 Hz

เอกสารนี้เป็นเอกสารที่สงวนไว้สำหรับการใช้งานเพื่อการศึกษาเท่านั้น ไม่อนุญาตให้นำไปใช้ประโยชน์ด้านการค้าไม่ว่ากรณีใดๆ ทั้งสิ้น อีกทั้งห้ามมิให้ตัดแปลงเนื้อหาและต้องอ้างอิงถึงเจ้าของเอกสารทุกครั้งที่มีการนำไปใช้

1.2 วัตถุประสงค์

- เพื่อศึกษาการทำงานของวงจรคอนเวอร์เตอร์ (converter) เพื่อใช้ในการส่งจ่ายกำลังโดยไฟฟ้ากระแสตรง
- เพื่อศึกษาการส่งถ่ายพลังงาน ระหว่าง สองแหล่งจ่ายที่มีความถี่แตกต่างกัน
- เพื่อศึกษา ประสิทธิภาพ ของระบบ การส่งจ่ายกำลังไฟฟ้ากระแสตรง

1.3 ประโยชน์ที่คาดว่าจะได้รับจากการวิจัยโครงการ

- 1) เป็นการนำเอาอิเล็กทรอนิกส์กำลัง(Power Electronics) มาประยุกต์ใช้งานกับระบบไฟฟ้ากำลัง
- 2) เนื่องจากข้อดีของระบบส่งกำลังไฟฟ้ากระแสตรงมีข้อดีอยู่หลายประการเมื่อเปรียบเทียบกับระบบส่งกำลังไฟฟ้ากระแสสลับ ฉะนั้นในอนาคตอาจจะนำมาใช้ในประเทศไทยได้
- 3) ทำให้ผู้ที่ได้พบเห็นแบบจำลองหรืออ่านปริญญาานิพนธ์ฉบับนี้มีความเข้าใจ ระบบนี้มากขึ้น

1.4 การพัฒนาใช้งานในอนาคต

ในอนาคตระบบส่งกำลังไฟฟ้ากระแสตรงอาจจะนำมาใช้ในประเทศไทย เพราะฉะนั้นถ้าศึกษาระบบนี้โดยละเอียดจะสามารถควบคุมระบบนี้โดยอัตโนมัติ โดยนำคอมพิวเตอร์เข้ามาช่วยในการควบคุมแบบป้อนกลับสามารถทำให้ การควบคุมมอดูลทริกเอสซีอาร์ (SCR) ให้นำกระแสเพื่อควบคุมระดับแรงดันไฟตรงที่ออกจากคอนเวอร์เตอร์ (converter) ทั้งสอง ทำให้สามารถจ่ายกำลังไฟฟ้าได้ถูกทิศทาง เมื่อมีโหลดเพิ่มขึ้นด้านใดด้านหนึ่งในทันทีทันใด

1.5 ขั้นตอนการดำเนินงาน

- 1). สร้างวงจรกำเนิดสัญญาณทริก โดยใช้ IC TCA 785
- 2). ออกแบบสร้างหม้อแปลงสัญญาณกระตุ้นเพื่อจุดชนวนให้เอสซีอาร์
- 3). ทดลองการทำงานของวงจรคอนเวอร์เตอร์แต่ละชุด
- 4). ต่อวงจรระบบส่งกำลังไฟฟ้ากระแสตรง
- 5). ทดลองจ่ายโหลดค่าต่าง ๆ กัน
- 6). สังเกตดู เภทท์พหุของแต่ละส่วน

เอกสารนี้เป็นเอกสารที่สงวนไว้สำหรับการใช้งานเพื่อการศึกษาเท่านั้น ไม่อนุญาตให้นำไปใช้ประโยชน์ด้านการค้า
ไม่ว่ากรณีใดๆ ทั้งสิ้น อีกทั้งห้ามมีเหตุดัดแปลงเนื้อหาและต้องอ้างอิงถึงเจ้าของเอกสารทุกครั้งที่มีการนำไปใช้

1.6 ข้อเปรียบเทียบการส่งจ่ายกำลังไฟฟ้า ระหว่างระบบไฟฟ้ากระแสตรง และระบบไฟฟ้ากระแสสลับ

ข้อดี

- 1) ในการใช้สายตัวนำรวมเท่ากัน การส่งผ่านกำลังไฟฟ้ากระแสตรง จะสามารถส่งผ่านพิกัดพลังงานไฟฟ้าได้สูงกว่าระบบไฟฟ้ากระแสสลับ
- 2) ทำให้ค่าโวลต์เตจเรกูเลชันของระบบมีค่าน้อย เพราะมีผลของแรงดันไฟฟ้าตกสูญเสียในสายส่งที่มีผลจากค่าความต้านทาน (IR) เพียงอย่างเดียว เนื่องจาก $\omega = 0$ จึงไม่มีผลจากค่าความเหนี่ยวนำ (X_L) เข้ามาเกี่ยวข้อง
- 3) สายตัวนำที่ใช้จะมีสองเส้น โดยสายตัวนำเส้นหนึ่งจะมีขั้วศักดาเป็นบวก (+) เทียบกับกราวด์ และอีกเส้นหนึ่งมีศักดาไฟฟ้าเท่ากันแต่มีขั้วศักดาเป็น (-) เรียกว่าระบบสองขั้ว (bipolar) ทำให้มีค่าระดับแรงดันไฟฟ้าเป็น $\pm V_{dc}$ และนอกจากนั้นการใช้งานส่งจ่ายกำลังไฟฟ้าของระบบยังสามารถใช้สายตัวนำเพียงเส้นเดียว โดยมีทางเดินกลับโดยพื้นดิน (earth) ได้ เป็นผลให้ค่าความต้านทานของระบบกระแสตรงต่ำกว่าของระบบกระแสสลับ ซึ่งเรียกระบบนี้ว่า ระบบขั้วเดียว (monopolar) โดยมีค่าแรงดันไฟฟ้าเป็น $+V_{dc}$ หรือ $-V_{dc}$
- 4) เนื่องจากระบบสายส่งไฟฟ้ากระแสตรงสายเดียว (ขั้วเดียว) จะสามารถ ใช้ส่งผ่านพลังงานไฟฟ้าได้ ซึ่งถ้าเกิดฟอลต์ขึ้นในระบบสองขั้ว สายตัวนำหนึ่งในสองของระบบสองขั้วถูกต่อลงกราวด์ ระบบสามารถส่งผ่านกำลังไฟฟ้าได้ โดยระบบขั้วเดียวอย่างต่อเนื่องทำให้ระบบมีความน่าเชื่อถือ ทางด้านความมั่นคงของพลังงานดีมากยิ่งขึ้น
- 5) ในการส่งจ่ายไฟฟ้าใต้ดินโดยใช้สายตัวนำที่มีฉนวนหุ้ม (underground cable) ของระบบไฟฟ้ากระแสสลับ จะส่งจ่ายระยะทางไม่เกิน 50 Km เนื่องจากผลของค่า

เอกสารนี้เป็นเอกสารที่สงวนไว้สำหรับการใช้งานเพื่อการศึกษาเท่านั้น ไม่อนุญาตให้นำไปใช้ประโยชน์ด้านการค้าไม่ว่ากรณีใดๆ ทั้งสิ้น อีกทั้งห้ามมิให้ตัดแปลงเนื้อหาและต้องอ้างอิงถึงเจ้าของเอกสารทุกครั้งที่มีการนำไปใช้

ความจุไฟฟ้าและค่ากระแสอัดประจุ (charging current) ที่จะมีค่าเพิ่มมากขึ้นตามระยะทางที่ไกลขึ้น ซึ่งเมื่อใช้ระบบไฟฟ้ากระแสตรงจะสามารถช่วยแก้ปัญหานี้ได้

- 6) ระบบสายส่งไฟฟ้ากระแสตรง ไม่มีระบบการซิงโครนัส (asynchronous) ดังนั้นสามารถที่จะต่อเชื่อมโยงระบบ ที่มีความถี่แตกต่างกันเข้าด้วยกันได้ เช่น ระหว่างประเทศอังกฤษกับฝรั่งเศส

ข้อเสีย

- 1) ชุดคอนเวอร์เตอร์ (AC/DC หรือ DC/AC) อุปกรณ์ที่ใช้จะมีราคาแพงมากรวมทั้งพวกอุปกรณ์ป้องกันในระบบ (switchgear) ยังมีราคาสูงมาก
- 2) การพัฒนาทางด้านเทคโนโลยีของอุปกรณ์ทางด้านกระแสตรงยังสู้กระแสสลับไม่ได้ดังนั้น ระบบสายส่งที่ไม่ยาวมากนัก จึงไม่นิยมใช้ระบบสายส่งกระแสตรง
- 3) ยังไม่มีเซมิคอนดักเตอร์ กระแสตรงกำลังสูง ที่พัฒนาจะมีขีดความสามารถน่าเชื่อถือได้สูงเหมือนดังเช่นระบบไฟฟ้ากระแสสลับที่ใช้กันอยู่ เพราะระบบไฟฟ้ากระแสสลับ จะมีค่ากระแสเป็นศูนย์ (zero current) ถึงสองครั้งต่อหนึ่งไซเคิลของไฟ จึงไม่ค่อยมีปัญหาเรื่อง อาร์ค (arc) แต่ในระบบไฟฟ้ากระแสตรง จะมีกระแสไหลต่อเนื่องตลอดเวลาทำให้เกิดอาร์คได้ง่าย ขณะเมื่อมีการจากกันของหน้าสัมผัส ขณะที่มิไหลดภาาระต่ออยู่ซึ่งในปัจจุบันได้พัฒนานำเอาสารกึ่งตัวนำมาใช้เป็นสวิตช์ เช่น เอสซีอาร์
- 4) ผลจากไม่มีอุปกรณ์ตัดตอนที่มีคุณภาพดีพอสำหรับระบบไฟฟ้ากระแสตรงแรงดันสูงทำให้ไม่สามารถที่จะแยกจุดต่อแรงดันไฟฟ้าออกไปใช้งานหลาย ๆ ตำแหน่งได้ ดังนั้น ระบบสายส่งไฟฟ้ากระแสตรง จะเป็นเพียงชุดสายส่งที่ทำหน้าที่ส่งผ่านพลังงานโดยตรง ระหว่างโครงข่ายกระแสสลับสองชุดเข้าด้วยกันโดยตรงเท่านั้นไม่สามารถให้มีจุดแยกย่อยออกไปได้

เอกสารนี้เป็นเอกสารที่สงวนไว้สำหรับการใช้งานเพื่อการศึกษาเท่านั้น ไม่อนุญาตให้นำไปใช้ประโยชน์ด้านการค้าไม่ว่ากรณีใดๆ ทั้งสิ้น อีกทั้งห้ามมิให้ตัดแปลงเนื้อหาและต้องอ้างอิงถึงเจ้าของเอกสารทุกครั้งที่มีการนำไปใช้

- 5) ระบบส่งจ่ายกำลังไฟฟ้ากระแสตรง ยังไม่มีอุปกรณ์ที่สามารถเปลี่ยนแปลงค่าระดับแรงดันไฟฟ้ากระแสตรง โดยสูญเสียพลังงานไม่มากนักได้ ซึ่งแตกต่างกับระบบไฟฟ้ากระแสสลับที่มีหม้อแปลงไฟฟ้ากำลัง (power transformer) ที่เป็นอุปกรณ์เปลี่ยนแปลงระดับแรงดันไฟฟ้าได้หลายระดับโดยมีค่าพลังงานไฟฟ้าสูญเสียในหม้อแปลงน้อยมาก

1.7 บทสรุป

ในบทนี้ได้กล่าวนำเรื่องการส่งจ่ายกำลังไฟฟ้ากระแสตรง ขอบเขตของการทำโครงการ วัตถุประสงค์ ประโยชน์ที่คาดว่าจะได้รับจากการวิจัยโครงการ การพัฒนาใช้งานในอนาคต ขั้นตอนการดำเนินงาน ข้อดีและข้อเสียของระบบไฟฟ้ากระแสตรง ที่สามารถนำมาพิจารณาในการเลือกใช้ว่าเหมาะสมหรือไม่ที่จะใช้ระบบนี้ เมื่อเทียบกับระบบไฟฟ้ากระแสสลับ ซึ่งจะมีข้อดี ข้อเสียแตกต่างกันในด้านการใช้งาน และทางด้านเศรษฐศาสตร์ ซึ่งจะเห็นว่าในระบบสายส่งที่มีพิกัดสูง ๆ และส่งระยะทางไกล ๆ แล้วระบบไฟฟ้ากระแสตรง น่าจะมีความเหมาะสมที่จะนำมาใช้มากยิ่งขึ้น เพราะราคาเฉลี่ยโดยรวมจะลดลง และยังสามารถแก้ปัญหาข้อจำกัดต่าง ๆ ทางไฟฟ้าของระบบไฟฟ้ากระแสสลับที่มีระยะทางไกล ๆ ได้อีกด้วย

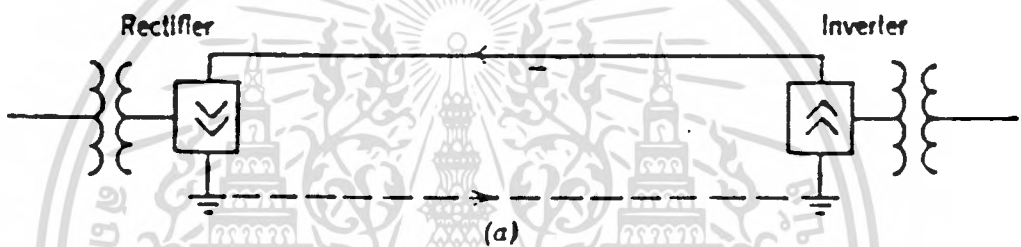
บทที่ 2

รูปแบบระบบการส่งจ่ายกำลังไฟฟ้ากระแสตรงและการวิเคราะห์ Configuration of DC Transmission System and analysis

2.1 ลักษณะของการส่งจ่ายกำลังไฟฟ้ากระแสตรง (KIND OF DC LINKS)

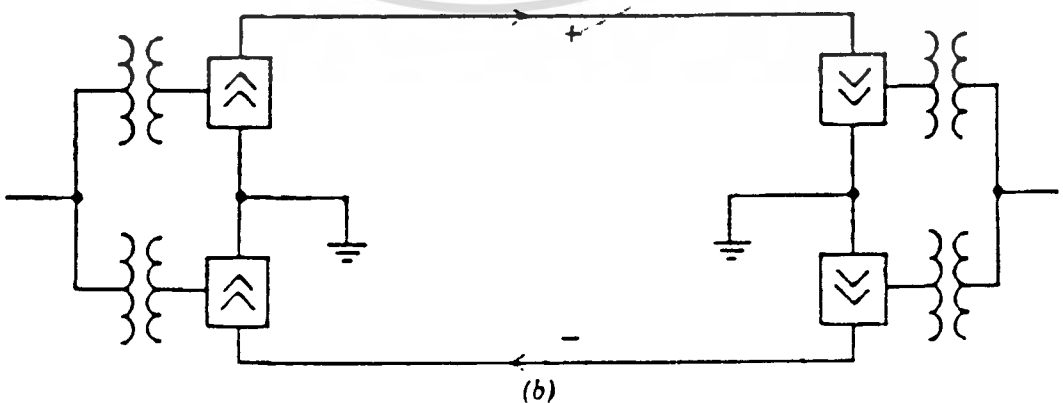
ลักษณะของการส่งจ่ายกำลังไฟฟ้ากระแสตรงแบ่งได้เป็น 3 แบบ คือ

2.1.1 ระบบขั้วเดียว (Monopolar Link) ระบบนี้จะมีสายตัวนำ 1 เส้น ซึ่งมีศักดาไฟฟ้าเป็นลบและใช้พื้นดินหรือทะเลในการส่งกลับ ดังรูปที่ 2.1



รูปที่ 2.1 วงจรส่งกำลังไฟฟ้าแบบขั้วเดียว

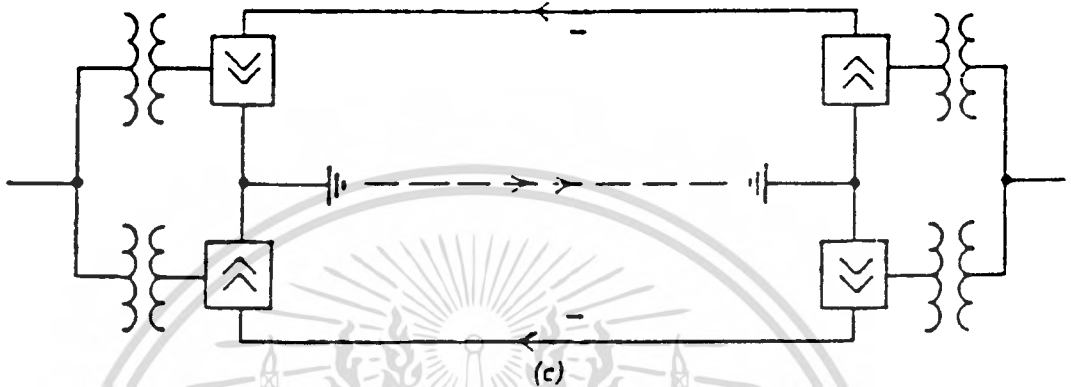
2.1.2 ระบบสองขั้ว (Bipolar Link) ระบบนี้จะมี 2 ตัวนำโดยแต่ละตัวนำมีศักดาไฟฟ้าเป็นบวกและลบ ซึ่งแต่ละขั้วจะมี คอนเวอร์เตอร์ 2 ชุดโดยใช้ระบบกราวน์ร่วมกัน คอนเวอร์เตอร์ แต่ละชุดทำงานเป็นอิสระต่อกันถ้าเกิดฟอลต์ (fault) บนตัวนำใดตัวนำหนึ่งตัวนำที่เหลือจะจ่ายโหลดเป็นครึ่งหนึ่งของพิกัด ดังรูปที่ 2.2



รูปที่ 2.2 วงจรส่งกำลังไฟฟ้าแบบสองขั้ว

เอกสารนี้เป็นเอกสารที่สงวนไว้สำหรับ...
ไม่ว่ากรณีใดๆ ทั้งสิ้น อีกทั้งห้ามมิให้ตัดแปลงเนื้อหาและต้องอ้างอิงถึงเจ้าของเอกสารทุกครั้งที่มีการนำไปใช้

2.1.3 ระบบขั้วเดียวร่วมกัน (Homopolar link) จะมี 2 ตัวนำ และตัวนำทั้ง 2 มี ศักดา เป็นลบและใช้พื้นดินเป็นทางเดินกลับถ้าเกิด ฟอลต์ บนตัวนำใด ตัวนำที่เหลือจะ จ่ายโหลดเต็มพิกัด ดังรูปที่ 2.3

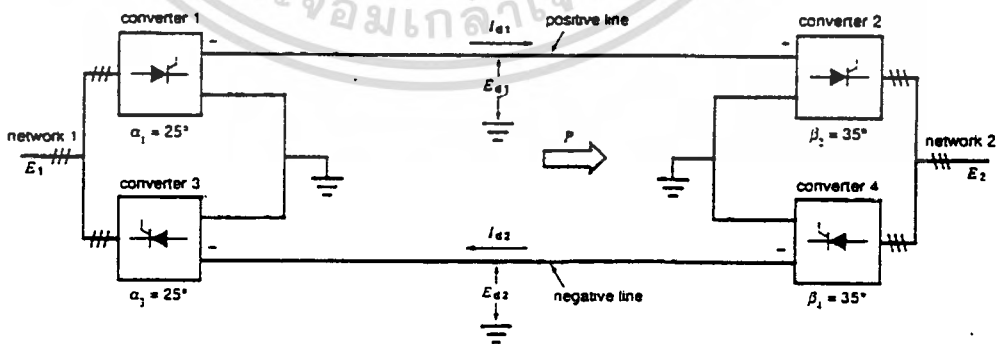


รูปที่ 2.3 วงจรส่งกำลังไฟฟ้าแบบขั้วเดียวร่วมกัน

2.2 หลักการทำงานของคอนเวอร์เตอร์

การทำงานของ คอนเวอร์เตอร์ จะมี 2 ลักษณะ คือ

2.2.1 โหมดเรกติไฟเออร์ (Rectifier mode)การทำงานในโหมดนี้ จะเป็นการส่ง กำลังไฟฟ้าจากกระแสสลับไปกระแสดตรง

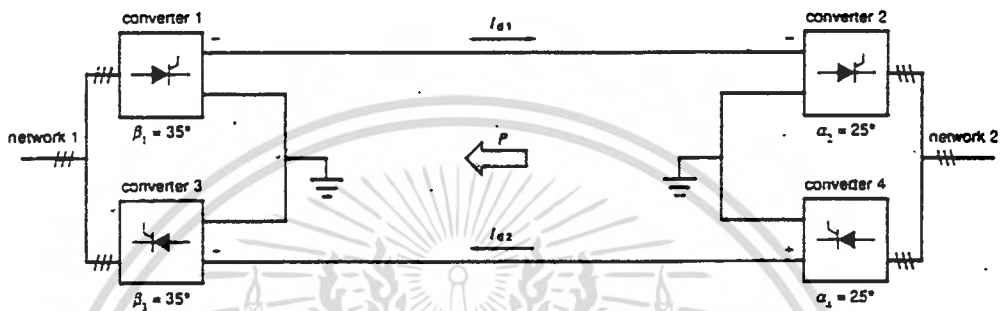


รูปที่ 2.4 แสดงการจ่ายพลังงานในโหมดเรกติไฟเออร์

เอกสารนี้เป็นเอกสารที่สงวนไว้สำหรับการใช้งานเพื่อการศึกษาเท่านั้น เมื่อนุญาตเห็นาไปใช้ประโยชน์ด้านการค้า ไม่ว่าจะกรณีใดๆ ทั้งสิ้น อีกทั้งห้ามมิให้ดัดแปลงเนื้อหาและต้องอ้างอิงถึงเจ้าของเอกสารทุกครั้งที่มีการนำไปใช้

มุมจุดชนวนให้เอสซีอาร์นำกระแส จะอยู่ในช่วง $\alpha = 0 \rightarrow 90^\circ$ โดยมีทิศทางการไหลกระแส I_d การส่งผ่านกำลังไฟฟ้า P, Q และขั้วของ E_{d1}, E_{d2} เป็นดังรูปที่ 2.4

2.2.2 โหมดอินเวอร์เตอร์ (Inverter mode) การทำงานในโหมดนี้จะเป็นการส่งกำลังไฟฟ้าจากกระแสตรงไปกระแสสลับ



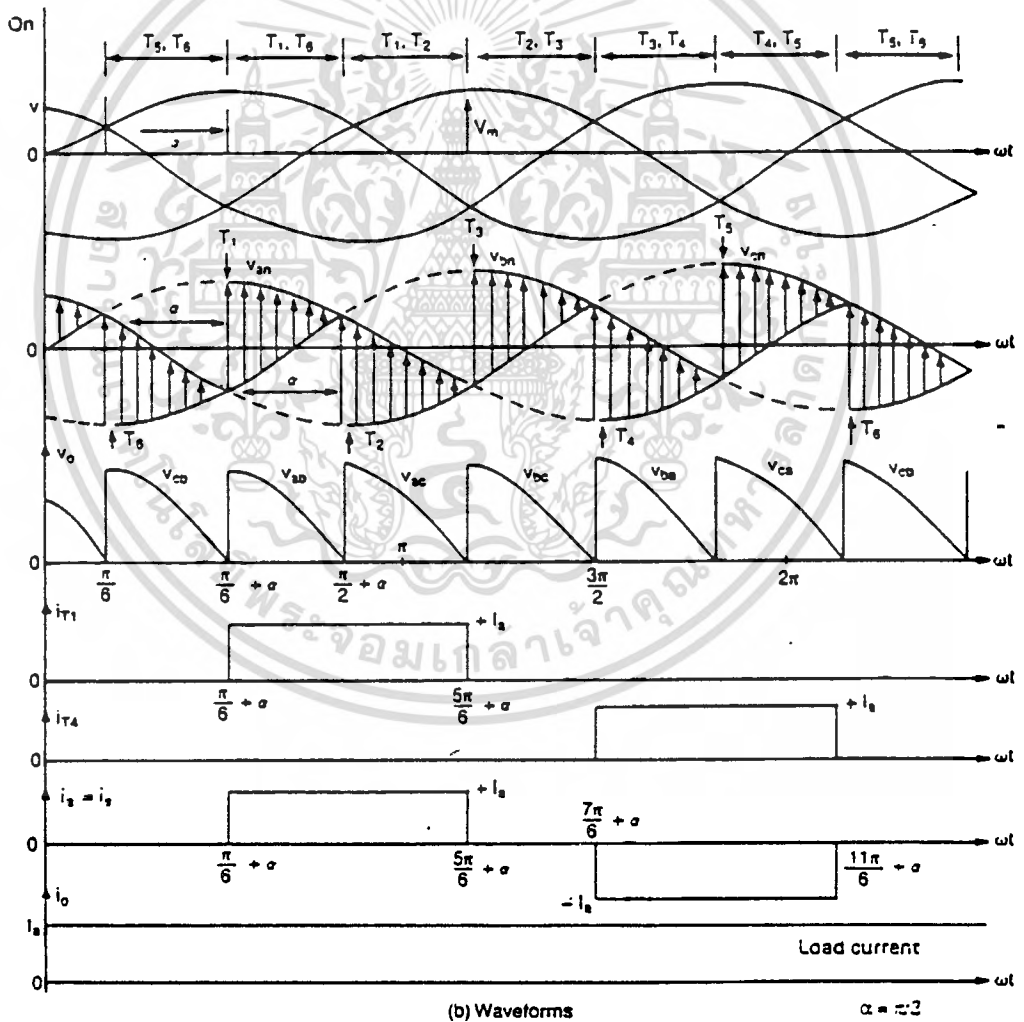
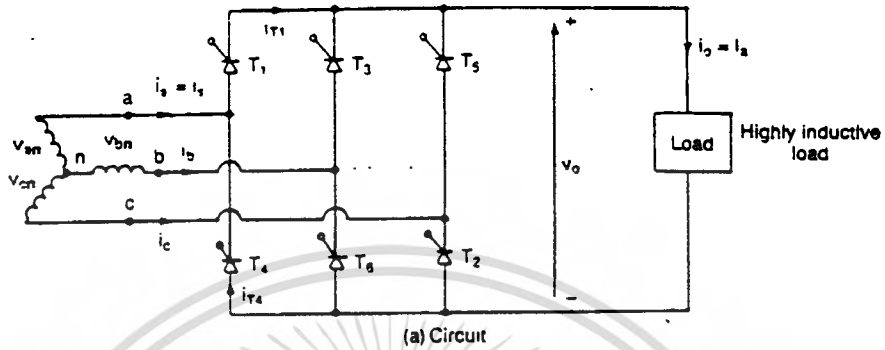
รูปที่ 2.5 แสดงการจ่ายพลังงานในโหมดอินเวอร์เตอร์

มุมจุดชนวนให้เอสซีอาร์นำกระแส จะอยู่ในช่วง $\alpha = 90^\circ \rightarrow 180^\circ$ โดยมีทิศทางการไหลของกระแส I_d การส่งผ่านกำลังไฟฟ้า P, Q และขั้วของ E_{d1}, E_{d2} เป็นดังรูปที่ 2.5

จากรูปที่ 2.5 จะเห็นว่าทิศทางการส่งผ่านพลังงานไฟฟ้า อาจจะกลับทางกันได้กับรูปที่ 2.4 โดยเปลี่ยนลักษณะการควบคุมหรือมุมจุดชนวนให้เอสซีอาร์ซึ่งการเปลี่ยนมุมการจุดชนวนเช่นนี้จะทำให้ขั้ว (polarity) ของสายส่งตัวนำจะกลับสลับกันไป (จาก $(+) \rightarrow (-)$ และ $(-) \rightarrow (+)$) โดยทิศทางการไหลของกระแสจะยังคงมีทิศทางเดิม เพราะว่าเอสซีอาร์ สามารถนำกระแสได้ทางเดียว

2.3 การวิเคราะห์คอนเวอร์เตอร์

2.3.1 คอนเวอร์เตอร์สามเฟสควบคุมเต็มคลื่น (Three-phase full converter)



เอกสารนี้เป็นเอกสารที่สงวนลิขสิทธิ์รูปที่ 2.6 วงจรคอนเวอร์เตอร์สามเฟสควบคุมเต็มคลื่นและรูปคลื่นในการค้า
ไม่ว่ากรณีใดๆ ทั้งสิ้น อีกทั้งห้ามมิให้ตัดแปลงเนื้อหาและต้องอ้างอิงถึงเจ้าของเอกสารทุกครั้งที่มีการนำไปใช้

รูปที่ 2.6 a แสดงวงจรคอนเวอร์เตอร์สามเฟสควบคุมเต็มคลื่นที่มีโหลดเป็นอินดักทีฟโหลดมีค่ามากโดยไทรสเตอร์จะต่อแบบสามเฟสบริดจ์ โดย ไทรสเตอร์แต่ละตัวจะโดนทริกที่มุมต่างกัน $\frac{\pi}{3}$ ค่าความถี่ของเอาต์พุตโวลต์เดจจะมีค่าเป็น 6 fs

ที่ $\omega t = \frac{\pi}{6} + \alpha$, ไทรสเตอร์ T6 จะนำกระแสอยู่ก่อนแล้ว และ ไทรสเตอร์ T1 จะนำกระแส ช่วงระหว่าง $\left(\frac{\pi}{6} + \alpha\right) \leq \omega t \leq \left(\frac{\pi}{2} + \alpha\right)$ ไทรสเตอร์ T1 และ T6 จะนำกระแส และค่าแรงดันระหว่างสาย $V_{ab} = (V_{an} - V_{bn})$ จะปรากฏคร่อมโหลด

ที่ $\omega t = \frac{\pi}{2} + \alpha$, ไทรสเตอร์ T2 จะโดนทริกให้นำกระแส และไทรสเตอร์ T6 จะโดนรีเวิร์ดไบอัส (Reverse bias) โดยทันที T6 จะหยุดนำกระแสโดยอัตโนมัติ (natural commutation) ช่วงระหว่าง $\left(\frac{\pi}{2} + \alpha\right) \leq \omega t \leq \left(\frac{5\pi}{6} + \alpha\right)$ ไทรสเตอร์ T1 และ T2 จะนำกระแส และแรงดันระหว่างสาย V_{ac} จะปรากฏคร่อมโหลด (load) และไทรสเตอร์จะทำงานเป็นลำดับ คือ 12,23,34,45,56,61 รูปที่ 2.6 b แสดงรูปคลื่นแรงดัน อินพุต , เอาต์พุต , รูปคลื่น กระแสอินพุต และกระแสที่ไหลผ่านไทรสเตอร์

ถ้าแรงดันระหว่างไลน์ (line) กับ นิวทรัล (neutral) มีสมการเป็น

$$V_{an} = V_m \sin \omega t$$

$$V_{bn} = V_m \sin\left(\omega t - \frac{2\pi}{3}\right)$$

$$V_{cn} = V_m \sin\left(\omega t + \frac{2\pi}{3}\right)$$

ดังนั้นแรงดันระหว่างสาย ไลน์ กับ ไลน์ จะมีสมการเป็น

$$V_{ab} = V_{an} - V_{bn} = \sqrt{3}V_m \sin\left(\omega t + \frac{\pi}{6}\right)$$

$$V_{bc} = V_{bn} - V_{cn} = \sqrt{3}V_m \sin\left(\omega t - \frac{\pi}{2}\right)$$

$$V_{ca} = V_{cn} - V_{an} = \sqrt{3}V_m \sin\left(\omega t + \frac{5\pi}{6}\right)$$

เอกสารนี้เป็นเอกสารที่สงวนไว้สำหรับการใช้งานเพื่อการศึกษาเท่านั้น ไม่อนุญาตให้นำไปใช้ประโยชน์ด้านการค้า
ไม่ว่ากรณีใดๆ ทั้งสิ้น อีกทั้งห้ามมิให้ตัดแปลงเนื้อหาและต้องอ้างอิงถึงเจ้าของเอกสารทุกครั้งที่มีการนำไปใช้

ค่าแรงดันเฉลี่ยเอาท์พุทหาได้จะเป็น

$$\begin{aligned}
 V_{dc} &= \frac{3}{\pi} \int_{\frac{\pi}{6}+\alpha}^{\frac{\pi}{2}+\alpha} V_{ab} d\omega t \\
 V_{dc} &= \frac{3}{\pi} \int_{\frac{\pi}{6}+\alpha}^{\frac{\pi}{2}+\alpha} \sqrt{3} V_m \sin\left(\omega t + \frac{\pi}{6}\right) d(\omega t) \\
 V_{dc} &= \frac{3\sqrt{3} V_m}{\pi} \cos \alpha
 \end{aligned} \tag{2-1}$$

ค่าแรงดันเฉลี่ยเอาท์พุทสูงสุด จะเกิดขึ้นเมื่อ $\alpha = 0$ คือ

$$V_{dm} = \frac{3\sqrt{3}}{\pi} V_m \tag{2-2}$$

ค่าแรงเฉลี่ยปกติ คือ

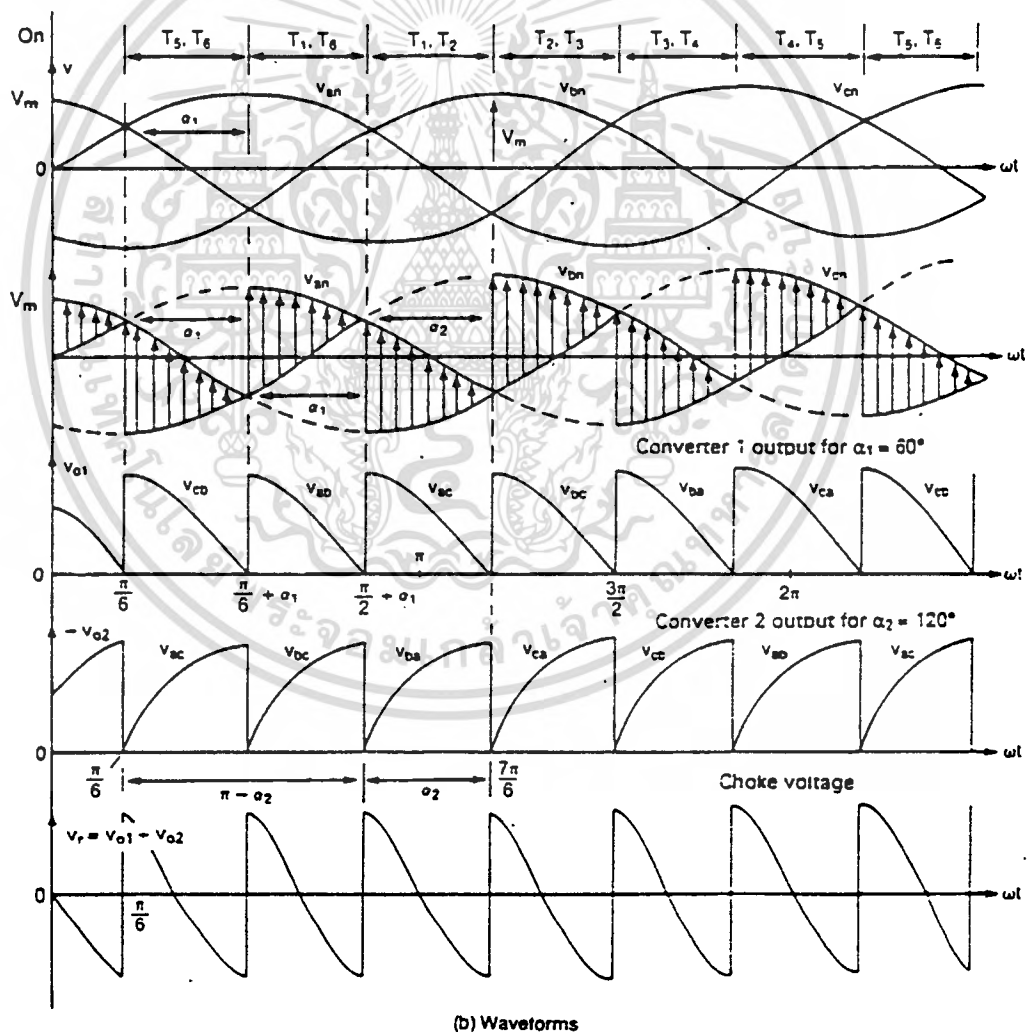
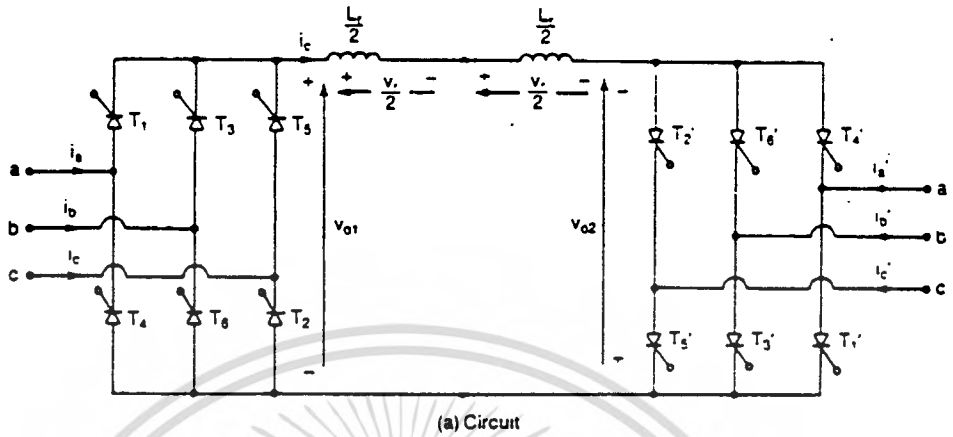
$$V_n = \frac{V_{dc}}{V_{dm}} = \cos \alpha \tag{2-3}$$

ค่าแรงดัน rms (root mean square) เอาท์พุท จะหาได้จาก

$$\begin{aligned}
 V_{rms} &= \left[\frac{3}{\pi} \int_{\frac{\pi}{6}+\alpha}^{\frac{\pi}{2}+\alpha} 3V_m^2 \sin^2\left(\omega t + \frac{\pi}{6}\right) d(\omega t) \right]^{\frac{1}{2}} \\
 V_{rms} &= \sqrt{3} V_m \sqrt{\frac{1}{2} + \frac{3\sqrt{3}}{4\pi} \cos 2\alpha}
 \end{aligned} \tag{2-4}$$

รูปที่ 2.6 b แสดงรูปคลื่น เมื่อ $\alpha = \frac{\pi}{3}$ ถ้า $\alpha > \frac{\pi}{3}$ เอาท์พุทโวลต์เตจ V_o จะมีส่วนที่เป็นซีกลบด้วยแต่ค่ากระแสที่ไหลผ่านไทรสเตอร์ไม่เป็นลบ เพราะว่าไทรสเตอร์สามารถนำกระแสได้ทางเดียว เพราะฉะนั้น กระแสไหลจะเป็นบวก (+) เสมอแต่ถ้าเป็นโหลดที่เป็นความต้านทานล้วน เอกสารนี้เอาท์พุทโวลต์เตจจะไม่มีส่วนที่เป็นซีกลบปรากฏออกมา ไม่นิยามให้นำไปใช้ประโยชน์ด้านการค้าไม่ว่ากรณีใดๆ ทั้งสิ้น อีกทั้งห้ามมิให้ตัดแปลงเนื้อหาและต้องอ้างอิงถึงเจ้าของเอกสารทุกครั้งที่มีการนำไปใช้

2.3.2 คอนเวอร์เตอร์สามเฟสต่อรวมกัน (Three-phase dual converters)



เอกสารนี้เป็นเอกสารที่สงวนลิขสิทธิ์หรือการขงนเพื่อการค้าโดยมิชอบ ผู้ที่เห็นชอบหรือใช้เอกสารนี้เป็นการค้า
ไม่ว่ากรณีใดๆ ทั้งสิ้น อีกทั้งห้ามมิให้ดัดแปลงเนื้อหาและต้องอ้างอิงถึงเจ้าของเอกสารทุกครั้งที่มีการนำไปใช้

รูปที่ 2.7 a แสดงวงจร คอนเวอร์เตอร์สามเฟสต่อรวมกัน คือ วงจรคอนเวอร์เตอร์สามเฟส 2 วงจรนำมาต่อรวมกันแบบ เบ็คทูเบ็ค (back to back) วงจรคอนเวอร์เตอร์ทั้งสองจะควบคุมโดยใช้สัญญาณทริก ที่มีมุม α_1, α_2 ตามลำดับ โดย $\alpha_2 = \pi - \alpha_1$

รูปที่ 2.7 b แสดงรูปคลื่น อินพุทโวลต์เตจ ,เอาท์พุทโวลต์เตจ และโวลต์เตจตกคร่อม อินดักเตอร์ การทำงานของวงจรคอนเวอร์เตอร์แต่ละตัว จะเหมือนกันกับวงจรคอนเวอร์เตอร์สามเฟสควบคุมเต็มคลื่น ช่วงระหว่าง $\left(\frac{\pi}{6} + \alpha_1\right) \leq \omega t \leq \left(\frac{\pi}{2} + \alpha_1\right)$ ค่า แรงดันระหว่างสาย V_{ab} จะตกคร่อมที่เอาท์พุทของคอนเวอร์เตอร์ 1 และ V_{bc} จะตกคร่อมที่เอาท์พุทของคอนเวอร์เตอร์ 2

ถ้าแรงดันระหว่าง ไลน์ กับ นิวทรัล มีสมการเป็น

$$V_{an} = V_m \sin \omega t$$

$$V_{bn} = V_m \sin\left(\omega t - \frac{2\pi}{3}\right)$$

$$V_{cn} = V_m \sin\left(\omega t + \frac{2\pi}{3}\right)$$

ดังนั้นแรงดันระหว่างสาย ไลน์ กับ ไลน์ จะมีสมการเป็น

$$V_{ab} = V_{an} - V_{bn} = \sqrt{3}V_m \sin\left(\omega t + \frac{\pi}{6}\right)$$

$$V_{bc} = V_{bn} - V_{cn} = \sqrt{3}V_m \sin\left(\omega t - \frac{\pi}{2}\right)$$

$$V_{ca} = V_{cn} - V_{an} = \sqrt{3}V_m \sin\left(\omega t + \frac{5\pi}{6}\right)$$

ถ้า V_{o1} และ V_{o2} คือ แรงดันเอาท์พุทของ คอนเวอร์เตอร์ 1 และ คอนเวอร์เตอร์ 2 ตามลำดับค่า โวลต์เตจตกคร่อมตัวอินดักเตอร์ จะอยู่ในช่วงระหว่าง $\left(\frac{\pi}{6} + \alpha_1\right) \leq \omega t \leq \left(\frac{\pi}{2} + \alpha_1\right)$ คือ

$$V_r = V_{o1} + V_{o2} = V_{ab} - V_{bc}$$

$$V_r = \sqrt{3}V_m \left[\sin\left(\omega t + \frac{\pi}{6}\right) - \sin\left(\omega t - \frac{\pi}{2}\right) \right] \quad (2-5)$$

เอกสารนี้เป็นเอกสารที่สงวนลิขสิทธิ์ การศึกษาเท่านั้น ไม่อนุญาตให้นำไปใช้ประโยชน์ด้านการค้า ไม่ว่ากรณีใดๆ ทั้งสิ้น อีกทั้งห้ามมิให้ตัดแปลงเนื้อหาและต้องอ้างอิงถึงเจ้าของเอกสารทุกครั้งที่มีการนำไปใช้

ค่ากระแส i_r จะสามารถหาได้จาก

$$i_r(t) = \frac{1}{\omega Lr} \int_{\frac{\pi+\alpha_1}{6}}^{\omega t} V_r d\omega t$$

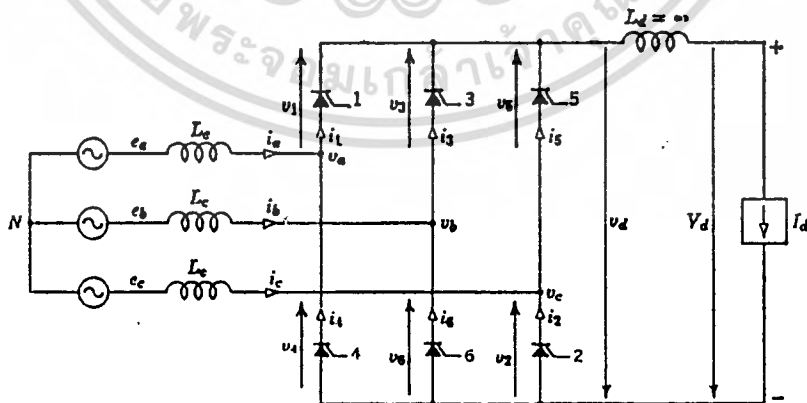
$$i_r(t) = \frac{1}{\omega Lr} \int_{\frac{\pi+\alpha_1}{6}}^{\omega t} 3Vm \cos\left(\omega t - \frac{\pi}{6}\right) d\omega t \tag{2-6}$$

$$i_r(t) = \frac{3Vm}{\omega Lr} \left[\sin\left(\omega t - \frac{\pi}{6}\right) - \sin \alpha_1 \right]$$

ค่ากระแส i_r จะขึ้นอยู่กับ มุมทริก α_1 และค่าอินดักเตอร์ L ค่ากระแส i_r จะมีค่ามากที่สุด เมื่อ $\omega t = \frac{2\pi}{3}$ และ $\alpha_1 = 0$ ตัว อินดักเตอร์ L ที่ต่อในวงจรนั้น จะเป็นตัวเก็บคลื่นแรงดันระลอก (ripple) ที่ขึ้นอยู่กับแรงดันไฟตรง V_{o1}, V_{o2}

2.4 รีแอคเตอร์ (Reactors)

รีแอคเตอร์ จำเป็นที่จะต้องต่อไว้ในสายส่งไฟฟ้ากระแสตรง เพื่อให้กระแสในสายส่งไหลได้ต่อเนื่องและยังมีหน้าที่เก็บแรงดันคลื่นระลอกที่อยู่บนสายส่งให้มีระดับที่ยอมรับได้ โดยการออกแบบรีแอคเตอร์พิจารณาจากรูปที่ 2.8



รูปที่ 2.8 วงจรที่ใช้วิเคราะห์หาค่ารีแอคเตอร์ที่ต่อกับสายส่งไฟฟ้ากระแสตรง

เอกสารนี้เป็นเอกสารที่สงวนลิขสิทธิ์หรือการขังลิขสิทธิ์ของสถาบันนี้ เมื่อผู้รู้เห็นหนังสือฉบับนี้หรือการนำ
ไม่ว่ากรณีใดๆ ทั้งสิ้น อีกทั้งห้ามมิให้ตัดแปลงเนื้อหาและต้องอ้างอิงถึงเจ้าของเอกสารทุกครั้งที่มีการนำไปใช้

เมื่อ $L_d \frac{di_d}{dt} = v_d - V_d$ (2-7)

ดังนั้น $i_d = \frac{1}{L_d} \int (v_d - V_d) dt$ (2-8)

$v_d = \sqrt{3}V_m \cos(\omega t - 30^\circ)$ เมื่อ $\leq \omega t \leq \alpha + 60^\circ$ (2-9)

จากสมการ (2-1)

$$.V_d = \frac{3\sqrt{3}V_m}{\pi} \cos \alpha$$

$$.V_d = V_{do} \cos \alpha$$
 (2-10)

เมื่อ V_m = ค่าแรงดันไฟสลับสูงสุดระหว่างไลน์ - นิวทรัล

V_{do} = ค่าแรงดันไฟตรงเมื่อไม่มีโหลด

โดยที่

$$.V_{do} = \frac{3\sqrt{6}}{\pi} V_{LN} = 2.34 V_{LN}$$
 (2-11)

$$.V_{do} = \frac{3\sqrt{2}}{\pi} V_{LL} = 1.35 V_{LL}$$
 (2-12)

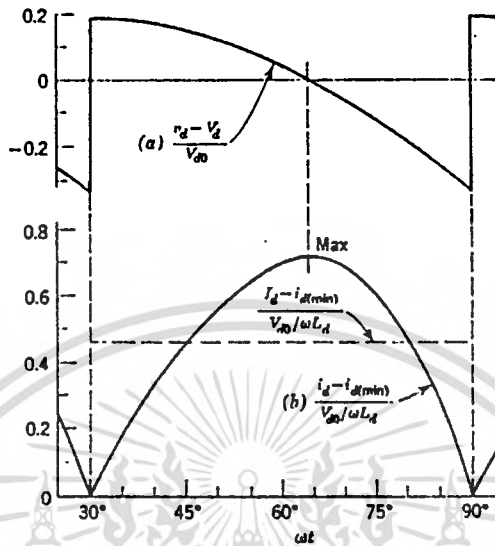
ดังนั้นแรงดันตกคร่อมรีแอคเตอร์ คือ

$$v_d - V_d = V_{do} \left[\frac{\pi}{3} \cos(\omega t - 30^\circ) - \cos \alpha \right]$$
 (2-13)

นำค่าต่างๆแทนในสมการ (2-8) จะได้

$$i_d = \frac{V_{do}}{\omega L_d} \left\{ \frac{\pi}{3} [\sin(\omega t - 30^\circ) - \sin(\alpha - 30^\circ)] - (\omega t - \alpha) \cos \alpha \right\}$$
 (2-14)

เอกสารนี้เป็นเอกสารที่สงวนไว้สำหรับการใช้งานเพื่อการศึกษาเท่านั้น ไม่อนุญาตให้นำไปใช้ประโยชน์ด้านการค้า
ไม่ว่ากรณีใดๆ ทั้งสิ้น อีกทั้งห้ามมิให้ตัดแปลงเนื้อหาและต้องอ้างอิงถึงเจ้าของเอกสารทุกครั้งที่มีการนำไปใช้



รูปที่ 2.9 แสดงแรงดันไฟตรงและกระแสไฟตรงที่ $\alpha = 30^\circ$

ดังนั้นค่ากระแสไฟตรงบนสายส่งจะได้

$$I_d = \frac{3}{\pi} \int_{\alpha}^{\alpha + \frac{\pi}{3}} i_d d(\omega t)$$

$$I_d = \frac{V_{d0}}{\omega L_d} \left[\sin \alpha - \frac{\pi}{3} \sin(\alpha - 30^\circ) - \frac{\pi}{6} \cos \alpha \right]$$

$$I_d = \frac{V_{d0}}{\omega L_d} (0.0931 \sin \alpha)$$

(2-15)

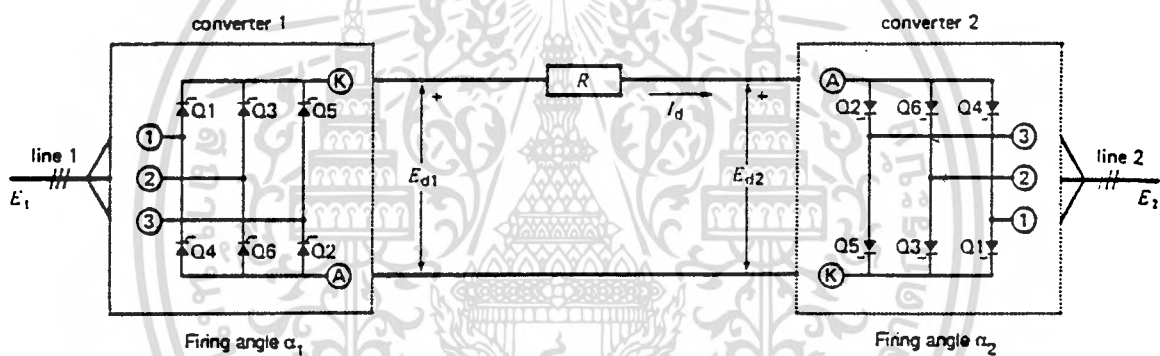
เอกสารนี้เป็นเอกสารที่สงวนไว้สำหรับการใช้งานเพื่อการศึกษาเท่านั้น ไม่อนุญาตให้นำไปใช้ประโยชน์ด้านการค้า
ไม่ว่ากรณีใดๆ ทั้งสิ้น อีกทั้งห้ามมิให้ตัดแปลงเนื้อหาและต้องอ้างอิงถึงเจ้าของเอกสารทุกครั้งที่มีการนำไปใช้

บทที่ 3

ระบบส่งจ่ายกำลังไฟฟ้ากระแสตรง

3.1 หลักการทำงานทั่วไปของระบบ

ระบบส่งจ่ายไฟฟ้ากระแสตรงจะเป็นระบบส่งไฟฟ้ากระแสตรงที่ต่อระหว่างระบบไฟฟ้ากระแสสลับสองระบบโดยมีชุดของคอนเวอร์เตอร์ที่ปลายด้านหนึ่งของสายส่งทำหน้าที่เปลี่ยนกำลังไฟฟ้ากระแสสลับให้เป็นไฟฟ้ากระแสตรง (AC/DC converter) เรียกว่า เรกติไฟเออร์ (rectifier) ในขณะที่มี คอนเวอร์เตอร์ อีกชุดที่ต่ออยู่อีกทางด้านปลายสายส่งอีกด้านหนึ่งทำหน้าที่แปลงกระแสไฟฟ้าตรงกลับไปเป็นไฟฟ้ากระแสสลับ (DC/AC converter) เรียกว่าอินเวอร์เตอร์ (inverter)



รูปที่ 3.1 วงจรระบบส่งพลังงานไฟฟ้ากระแสตรง

รูปที่ 3.1 แสดงให้เห็นถึงลักษณะของระบบจ่ายกำลังไฟฟ้ากระแสตรงโดยที่ชุดคอนเวอร์เตอร์ 1 จะเป็นชุดเรกติไฟเออร์ ที่ทำหน้าที่เปลี่ยนกำลังไฟฟ้ากระแสสลับของสายส่งไลน์ 1 ไปเป็นกำลังไฟฟ้ากระแสตรง และกำลังไฟฟ้ากระแสตรง จะถูกส่งผ่านไปโดยระบบสายส่งสองเส้น จากนั้นคอนเวอร์เตอร์ 2 จะทำการเปลี่ยนกลับไปเป็นไฟฟ้ากระแสสลับสามเฟสใหม่ ซึ่งก็คือทำหน้าที่เป็นอินเวอร์เตอร์ จะเห็นได้ว่าระบบไฟฟ้ากระแสสลับทั้งสองข้างสามารถมีความถี่ที่แตกต่างกันได้ทิศทางการส่งผ่านพลังงานไฟฟ้าอาจจะกลับทางกันได้ โดยเปลี่ยนลักษณะการควบคุมวาล์วที่ควบคุมโดย มุมทริก α_1 และ α_2 เพื่อให้ คอนเวอร์เตอร์ 1 เป็นอินเวอร์เตอร์ ในขณะที่คอนเวอร์เตอร์ 2 เป็นเรกติไฟเออร์ ซึ่งการเปลี่ยนมุมการทำงานเช่นนี้จะทำให้ ขั้ว(polarity) ของสายส่งตัวนำ จะสลับกันไปจาก [จาก (+) \rightarrow (-)] โดยทิศทางการไหลของกระแสจะยังคงมีทิศทางเดิม ที่เป็นเช่นนี้เพราะวาล์ว สามารถนำกระแสได้เพียงทิศทางเดียวเท่านั้น

3.2 ส่วนประกอบของระบบไฟฟ้ากระแสตรง

ส่วนประกอบของระบบไฟฟ้าแรงสูงกระแสตรง ดังแสดงไว้ในรูปที่ 3.2 เริ่มจากทางด้านซ้ายเป็น เอชี บัส (Bus) ของวงจรคอนเวอร์เตอร์ในกรณีที่เป็นระบบ ที่ต้องส่งพลังงานในระยะทางไกล (long-distance point-to-point) เรกติฟายเออร์จะเป็นอุปกรณ์อิเล็กทรอนิกส์ต่ออยู่ใกล้กับ เยนเนอร์เรชั่น (generation source) จะมีค่าน้อยมาก ส่วน อินเวอร์เตอร์ซึ่งมักจะอยู่ใกล้กับพื้นที่ โหลด (load) ซึ่งมีเยนเนอร์เรชั่นน้อย อิมพีแดนซ์ระหว่าง บัส กับ วงจรสมมูลย์ของแหล่งจ่าย กระแสสลับ (AC source) มีความสัมพันธ์ที่จะต้องพิจารณา ซึ่งในอิมพีแดนซ์จะมีความต้านทานเป็นส่วนประกอบอยู่ซึ่งมีประโยชน์และเป็นข้อเสียของคอนเวอร์เตอร์ โดยจะมีอิทธิพลต่อเอชีบัส โวลท์เตจ

ส่วนที่ต่อจาก เอชีบัส คือ เอชี ฟิลเตอร์ ซึ่งเป็นส่วนที่ป้องกันตัวคอนเวอร์เตอร์ สร้างฮาร์โมนิคของกระแสสลับ (AC current harmonics) ผ่านเข้าไปในระบบเอชี (AC system) โดย ตัวฟิลเตอร์ จะสามารถปรับให้กรอง ความถี่ฮาร์โมนิค (harmonic frequencies) หลัก ๆ ได้ทั้ง ความถี่เดี่ยว (single tune) สองความถี่ (double tuned) หรือแถบความถี่ (capacitive) และเป็น ส่วนหนึ่งของ รีแอกทีฟ คอนเพนเซชัน (reactive compensation) และยังสามารทำให้เป็นส่วน ชันคาปาซิเตอร์แบงค์ (shunt capacitor bank) ได้ด้วย

อุปกรณ์หลักอีกอย่างที่สำคัญใน สถานีไฟฟ้ากระแสตรง (converter station) คือ คอนเวอร์เตอร์บริดจ์ (converter bridge) ซึ่งจะมีอยู่ใน เอชี-ดีซี เรกติฟิเคชันหรือ ดีซี-เอชี อินเวอร์ชัน เทคโนโลยีปัจจุบันนี้จะใช้ ไทริสเตอร์ เป็นอุปกรณ์ สวิตชิง แต่ระบบเก่า ๆ จะใช้ เมอร์คิวรี-อาร์ก วาล์ว (mercury-arc valves) แทนไทริสเตอร์จะมีข้อจำกัดในด้านขนาดของ บล็อกกิง โวลท์เตจ (blocking voltage) ซึ่งมีค่าประมาณ 5-7 กิโลโวลท์จึงจำเป็นต้องนำไทริสเตอร์มาต่ออนุกรมกัน เพื่อให้ทนโวลท์เตจที่ค่าอย่างน้อยประมาณ 600 กิโลโวลท์หรือมากกว่าเมื่อต้องนำมาใช้ในระบบ ระยะทางไกลต่อไปเป็นอุปกรณ์ที่ต่ออนุกรมอยู่กับ บริดจ์ของคอนเวอร์เตอร์ ทางด้านดีซี คือ สมูทติง รีแอกเตอร์ (smoothing reactor) ซึ่งทำหน้าที่หลายอย่างดังนี้

ข้อแรกทำงานร่วมกับดีซีฟิเตอร์ในการลดแอมพิจูดของฮาร์โมนิคโวลท์เตจใน

ดีซี ทรานสมิสชันไลน์

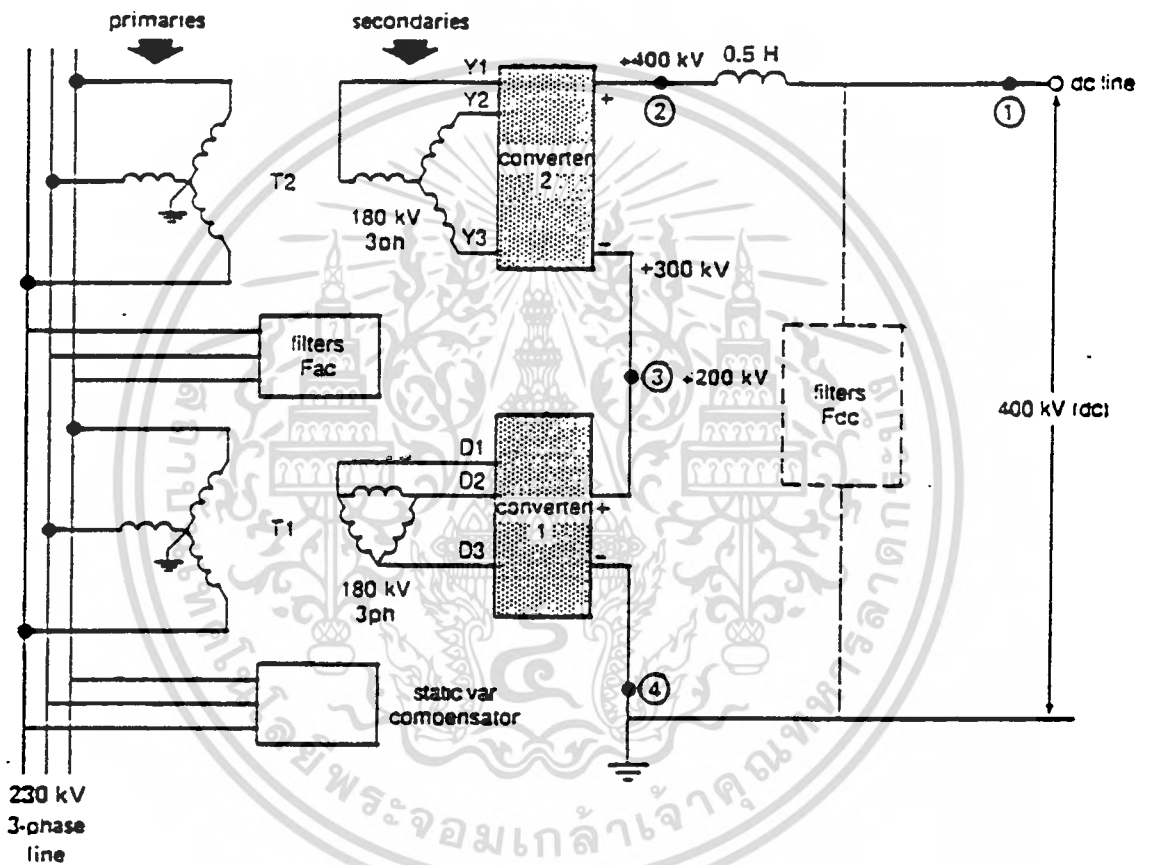
ข้อสอง บล็อกโวลท์เตจที่เกิดจากฟ้าผ่าและสวิตชิงเชิงที่ผ่านคอนเวอร์เตอร์ บริดจ์มา

ข้อสาม จำกัดอัตราการผลิตเพิ่มของกระแสตรง เมื่อเกิดฟอลต์ขึ้นในไลน์ ส่วนดีซีฟิเตอร์ จะมีการจุลไปที่ความถี่ของฮาร์โมนิคที่ 6 (ในกรณีที่เป็นระบบ 6 พัลส์) เป็นความถี่ระลอกที่เป็น ความถี่หลักของดีซีโวลท์เตจ และอาจจะมีการใช้ ไฮท์พาร์ท ฟิเตอร์ร่วมด้วยในการกรอง

เอกสารนี้เป็นเอกสารสงวนไว้สำหรับบริการเชิงงานเพื่อการศึกษาเท่านั้น ไม่อนุญาตให้นำไปเผยแพร่โดยไม่ได้รับอนุญาต
ไม่ว่ากรณีใดๆ ทั้งสิ้น อีกทั้งห้ามมิให้ตัดแปลงเนื้อหาและต้องอ้างอิงถึงเจ้าของเอกสารทุกครั้งที่มีการนำไปใช้



อุปกรณ์ส่วนที่เหลือจากรูปที่ 3.1 คือส่วนควบคุมระบบมีหน้าที่สร้าง พัลส์เพื่อใช้ในการจุดชนวนวาล์วของคอนเวอร์เตอร์เพื่อที่จะได้ควบคุมระบบได้

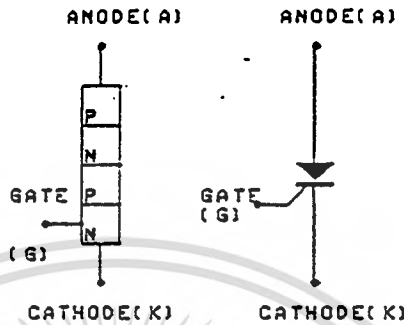


รูปที่ 3.2 ส่วนประกอบของอุปกรณ์ในระบบไฟฟ้ากระแสตรง

เอกสารนี้เป็นเอกสารที่สงวนไว้สำหรับการใช้งานเพื่อการศึกษาเท่านั้น ไม่อนุญาตให้นำไปใช้ประโยชน์ด้านการค้า
ไม่ว่ากรณีใดๆ ทั้งสิ้น อีกทั้งห้ามมิให้ตัดแปลงเนื้อหาและต้องอ้างอิงถึงเจ้าของเอกสารทุกครั้งที่มีการนำไปใช้

3.3 เอสซีอาร์ (SCR)

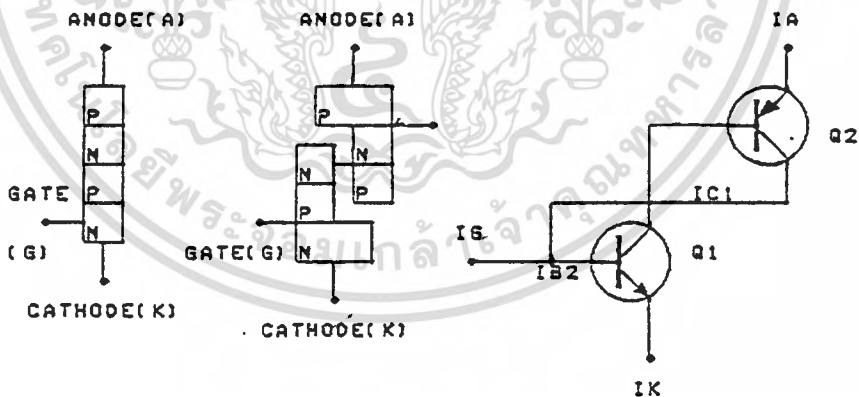
เอสซีอาร์เป็นสารกึ่งตัวนำ 4 ชั้น P N P N ต่อกันดังรูป แต่มีขั้วออกมาเพียง 3 ขั้ว คือ แอนโอด แคโทด และเกท สัญลักษณ์ของเอสซีอาร์จะเป็นดังรูปที่ 3.3



รูปที่ 3.3 สัญลักษณ์ของเอสซีอาร์

การทำงานของเอสซีอาร์

พิจารณาโครงสร้างของเอสซีอาร์เป็นทรานซิสเตอร์ NPN และ PNP ต่อกันดังแสดงในรูปที่ 3.4 ขาอิมิตเตอร์ทรานซิสเตอร์ Q1 (PNP) จะต่อร่วมกับขาเบสของทรานซิสเตอร์ Q2 (NPN) เป็นขั้วเกท

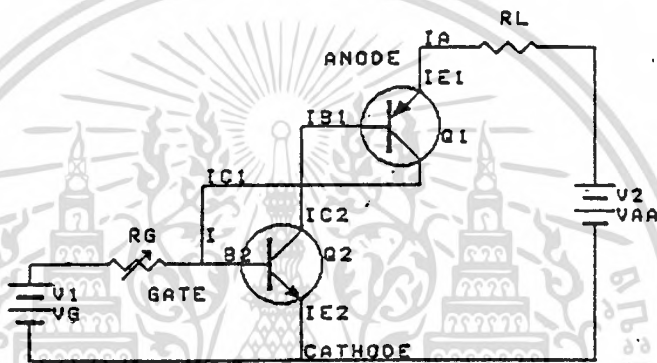


รูปที่ 3.4 โครงสร้างของเอสซีอาร์

การทำงานของเอสซีอาร์คือ ขณะที่ไม่มีกระแสไหลเข้าสู่เกตสุแคโทด แรงดันแคโทดเมื่อเทียบกับแอนโอดจะเป็นบวกหรือลบก็ตาม เอสซีอาร์จะไม่นำกระแส แต่เมื่อแรงดันที่แอนโอดเทียบกับแคโทดเป็นบวก และมีกระแสไหลเข้าสู่เกตแคโทดตามที่ได้ต่อวงจรดังแสดงในรูปที่ 3.5 ด้านการนำไม่ว่ากรณีใดๆ ทั้งสิ้น อีกทั้งห้ามมิให้ตัดแปลงเนื้อหาและต้องอ้างอิงถึงเจ้าของเอกสารทุกครั้งที่มีการนำไปใช้

เอสซีอาร์จะนำกระแส การจ่ายกระแสไหลเข้าสู่แคโทด เพื่อให้เอสซีอาร์นำกระแสเรียกกันว่า การทริกเอสซีอาร์ให้นำกระแส

พิจารณาตามวงจรที่แสดงในรูปที่ 3.5 เมื่อมีกระแส I_g ไหลเข้าสู่อิมิตเตอร์ของทรานซิสเตอร์ Q2 (NPN) หรือมีกระแสไหลเข้าเกต เข้าสู่แคโทดเอสซีอาร์ จะมีกระแสไหลเข้าคอลเลคเตอร์ (I_{c2}) ของทรานซิสเตอร์ Q2 (NPN) เท่ากับ $B2$ เท่ากับ I_g จะเท่ากับ I_{b2} จะทำให้มีกระแสไหลจาก ขั้วบวกของ V_{aa} และกระแสเบส (I_{b1}) จะทำให้มีการไหลของกระแส I_{c1} ไหลจากอิมิตเตอร์เข้าสู่ คอลเลคเตอร์ของทรานซิสเตอร์ Q1 เท่ากับ $B2$ เท่ากับ I_{b1} และกระแส I_{b2} .



รูปที่ 3.5 วงจรแสดงการนำกระแสของเอสซีอาร์

จะเท่ากับ I_{c1} รวมกับ I_g จนในที่สุดทรานซิสเตอร์ทั้งสองนำกระแสหรือเรียกว่าเอสซีอาร์นำกระแส คือ ความต้านทานระหว่างขั้วแอโนด และที่แคโทดของเอสซีอาร์มีค่าต่ำมาก แรงดันไฟฟ้าเกือบทั้งหมดจะไปคร่อมโหลด R_L โดยมีแรงตกคร่อมเอสซีอาร์น้อยมาก จะเห็นได้ว่าสามารถใช้กระแสจ่ายเข้าเกตเพียงเล็กน้อยก็สามารถจะทำให้เอสซีอาร์นำกระแสได้ และเมื่อจ่ายกระแสเข้าเกตเพียงชั่วครู่แล้วหยุดจ่ายกระแสเข้าเกต กระแส I_{b2} จะเท่ากับ I_{c1} เอสซีอาร์ก็ยังนำกระแสอยู่ กล่าวสรุปได้ว่าเมื่อทำการทริกให้เอสซีอาร์นำกระแสแล้วเอสซีอาร์จะยังคงนำกระแสต่อไป แม้จะนำกระแสทริกออก

วิธีการทำให้เอสซีอาร์หยุดนำกระแส

ทรานซิสเตอร์สามารถทำให้หยุดนำกระแส โดยการหยุดจ่ายกระแสเข้าเบส แต่สำหรับเอสซีอาร์จะไม่หยุดนำกระแสเมื่อลดกระแสที่ไหลผ่านเอสซีอาร์ลงต่ำกว่ากระแสยึด

(Holding current) เป็นเวลานานกว่าเทรินออฟไทม์ (t_g) ซึ่งเป็นคุณสมบัติของเอสซีอาร์

เอกสารนี้เป็นเอกสารที่สงวนไว้สำหรับการใช้งานเพื่อการศึกษาเท่านั้น ไม่อนุญาตให้นำไปใช้ประโยชน์ด้านการค้า ไม่ว่าจะกรณีใดๆ ทั้งสิ้น อีกทั้งห้ามมิให้ตัดแปลงเนื้อหาและต้องอ้างอิงถึงเจ้าของเอกสารทุกครั้งที่มีการนำไปใช้

วิธีการทำให้กระแสไหลผ่านเอสซีอาร์ลดลงต่ำกว่ากระแสยึด โดยแหล่งจ่ายไฟที่เป็นกระแสสลับซึ่งเรียกกันว่า วิธีหยุดนำกระแสโดยใช้แรงดันระหว่างไลน์ (Line commutation) หรือหยุดนำกระแสโดยแหล่งจ่าย (Natural commutation) คือ แหล่งจ่ายไฟฟ้ากระแสสลับแรงดันไฟฟ้าจะตกลงเป็นศูนย์ และมีแรงดันกลับทิศทาง ซึ่งจะเป็นการจ่ายรีเวิร์ดไบอัสแก่เอสซีอาร์ ในทุก ๆ ไชเคิล และกระแสที่ไหลผ่านเอสซีอาร์จะตกสู่ศูนย์ซึ่งถ้าเป็นเวลานานกว่า เทรินออฟไทม์ ก่อนที่จะจ่าย แรงดันฟอร์เวิร์ดไบอัสอีกครั้ง ซึ่งเป็นวิธีการทำให้เอสซีอาร์ หยุดนำกระแสในการเปลี่ยนไฟฟ้ากระแสสลับเป็นกระแสตรง และการเปลี่ยนแปลงแรงดันไฟฟ้า กระแสสลับโดยการควบคุมเฟส

3.4 คอนเวอร์เตอร์

ในหัวข้อนี้จะแสดงรายละเอียดของการทำงานในขบวนการคอนเวอร์ชัน (conversion) ซึ่งเป็นอุปกรณ์หลักในการส่งพลังงานกระแสตรงแรงดันสูงโดยขบวนการเรกติไฟเคชัน(Rectification) เป็นขบวนการเปลี่ยนเอซีเพาเวอร์ (AC power) เป็นดีซีเพาเวอร์ (DC power) ซึ่งเป็นขบวนการแรกในระบบการส่งพลังงานแบบ ระบบไฟฟ้าแรงสูงแบบกระแสตรง (HVDC) และอินเวอร์ชัน (Inversion) เป็นขบวนการเปลี่ยนดีซีเพาเวอร์ เป็น เอซีเพาเวอร์ และเป็นขบวนการสุดท้ายในระบบไฟฟ้าแรงสูงแบบกระแสตรงโดยทั้งสองขบวนการคือ เรกติไฟเคชันหรืออินเวอร์ชัน จะเรียกรวมกันว่าขบวนการคอนเวอร์ชันและวงจรที่แสดงขบวนการดังกล่าวจะเรียกว่าคอนเวอร์เตอร์ (converter)

ขบวนการคอนเวอร์ชันทั้ง เอซี/ดีซี หรือ ดีซี/เอซี เป็นขบวนการที่ใช้อุปกรณ์อิเล็กทรอนิกส์ควบคุม โดยวงจรคอนเวอร์เตอร์ จะประกอบด้วย วาล์ว (valves) ซึ่งเป็นเพาเวอร์เซมิคอนดักเตอร์ ไทริสเตอร์ (power semiconductor thyistor) หลายตัวมาต่อกันเป็นหนึ่งวาล์วโดยการควบคุมจังหวะการทริก (firing) สัญญาณ เกทพัลส์ (gate pulses) ซึ่งทำให้สามารถควบคุมระดับ เอาท์พุทโวลต์เตจ (output voltage) ของวงจรคอนเวอร์เตอร์ได้ ซึ่งหมายความว่าทั้งกระแสและพลังงานของวงจรคอนเวอร์เตอร์ในระบบไฟฟ้าแรงสูงแบบกระแสตรงสามารถที่จะควบคุมให้คงที่อยู่ได้ (statically) หรือให้เปลี่ยนแปลงได้ (dynamically) และถือว่าเป็นคุณสมบัติที่สำคัญที่ทำให้ระบบดีซีแตกต่างจากระบบเอซี

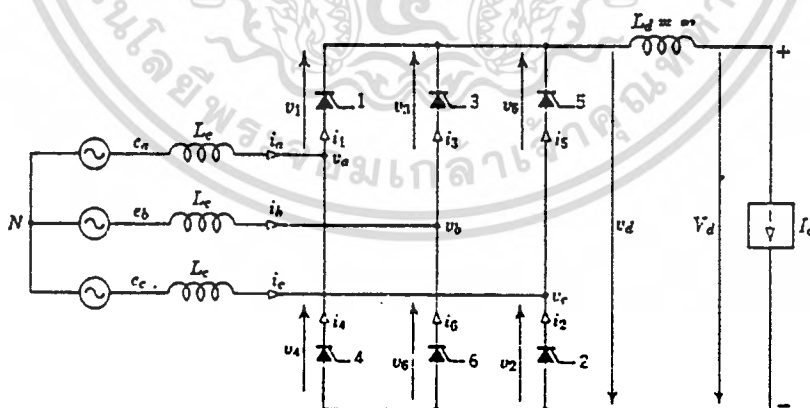
ในขบวนการคอนเวอร์ชัน มีข้อเสียของวงจรคอนเวอร์เตอร์ 2 ข้อ คือกระแสและโวลต์เตจจะมีฮาร์โมนิค และ วงจรคอนเวอร์เตอร์ต้องการ การชดเชย(compensation) รีแอกทีฟฮาร์โมนิค (reactive harmonic) ที่เกิดขึ้นนั้น เกิดเพราะขบวนการ คอนเวอร์ชัน ที่สร้าง ดีซี จากเอซี

เอกสารนี้เป็นเอกสารที่สงวนไว้สำหรับการใช้งานเพื่อการศึกษาเท่านั้น ไม่อนุญาตให้นำไปใช้ประโยชน์ด้านการค้าไม่ว่ากรณีใดๆ ทั้งสิ้น อีกทั้งห้ามมิให้ตัดแปลงเนื้อหาและต้องอ้างอิงถึงเจ้าของเอกสารทุกครั้งที่มีการนำไปใช้

และสร้างเอซีจากดีซีจากการทำการสวิตชิง (switching) ซึ่งจะทำการตัดต่อคลื่น (chop waveforms) ซึ่งจะสร้างส่วนประกอบซึ่งเป็น ฮาร์โมนิคขึ้นใน กระแสเอซี (AC current) และ ในดีซี โวลต์เตจ (DC voltage) ดังนั้นจึงต้องทำการกรอง (filtering) ในวงจร คอนเวอร์เตอร์ และ ที่มีความต้องการ รีแอกทีฟ เพาเวอร์ (reactive power) เพราะมีการหน่วงสัญญาณทริก (firing angle delay) และมีการต่อวงจร คอมมิวเตชัน (commutation) ผ่านหม้อแปลงทำให้เกิดมี รีแอกแตนซ์ (reactance) เกิดขึ้นในเฟส (phase) ซึ่งเป็นผลทำให้กระแสเอซี หน่วงไป จาก เอซี โวลต์เตจ

3.5 บริดจ์ คอนเวอร์เตอร์

ในวงจรบริดจ์ แบบ 6 พัลส์ ดังรูปที่ 3.6 ซึ่งเป็นวงจรคอนเวอร์เตอร์ ประกอบด้วยวาล์ว 6 ชุด แต่ละชุดประกอบด้วยไทรสเตอร์หลายตัวต่อกันอยู่ แต่ในวงจรวาล์วจะถูกแทนด้วยไทรสเตอร์เพียงตัวเดียว ขั้วแคโทดของวาล์ว 1, 3 และ 5 จะถูกต่ออยู่กับส่วนบนของวงจร บริดจ์ และขั้วแอโนดจะต่ออยู่กับเฟส A, B และ C ตามลำดับ ส่วนวาล์ว 2, 4 และ 6 ขั้วแอโนดจะต่ออยู่กับส่วนล่างของบริดจ์ และขั้วแคโทดต่ออยู่กับเฟส A, B และ C ตามลำดับ โดยที่กลุ่มของวาล์ว 1, 3 และ 5 จะมีการต่อเหมือนกับกลุ่มวาล์ว 2, 4 และ 6 เมื่อให้โวลต์เตจกระแสสลับเป็น U_a , U_b และ U_c จะทำการไบอัสวาล์วของคอนเวอร์เตอร์ให้ ออนและออฟ ในแต่ละไซเคิลซึ่งถ้ากำหนดลำดับของการจุดชนวนเป็น 1,2,3,4,5 และ 6 ก็จะทำให้กระแสที่ไหลออกมาจากบริดจ์เป็นกระแสตรง



รูปที่ 3.6 วงจร บริดจ์คอนเวอร์เตอร์

จากวงจรบริดจ์คอนเวอร์เตอร์ ที่มี L ต่ออยู่ ซึ่งคือ อินดักแตนซ์ของหม้อแปลงรวมไปถึงอินดักเตียนซ์ของระบบไฟฟ้ากระแสสลับ โดยค่าแรงดันเฉลี่ย เมื่อเราทำการจุดชนวนที่มุม α ที่ต่างกัน ไม่ว่าจะกรณีใด ๆ พลังงาน อีกหนึ่งที่มีเหตุเปลี่ยนแปลงเนื้อหา และต้องใจ ึ่งองตงใจ ของเนื้อหาที่วางทบทวนไปเซ

โดยแรงดันเฉลี่ย เมื่อ $\alpha = 0$ คือ V_d

$$V_{do} = \frac{n}{2\pi} \int_{\frac{\pi}{2} - \frac{\pi}{n}}^{\frac{\pi}{2} + \frac{\pi}{n}} V \sin \omega t d\omega t \quad (3-1)$$

$$V_{do} = V \cdot \left(\sin \frac{\pi}{n} \right) \left(\frac{\pi}{n} \right) \quad (3-2)$$

เมื่อ $n = 6$ $V_{do} = \frac{3V}{\pi}$ (3-3)

เมื่อเราทำการรูดขนวนที่มุม α ค่าแรงดันเฉลี่ย V_d คือ

$$V_d = \frac{n}{2\pi} \int_{\frac{\pi}{2} - \frac{\pi}{n} + \alpha}^{\frac{\pi}{2} + \frac{\pi}{n} + \alpha} V \sin \omega t d\omega t \quad (3-4)$$

$$V_d = \frac{nV \times \sin \frac{\pi}{n} \times \cos \alpha}{\pi} \quad (3-5)$$

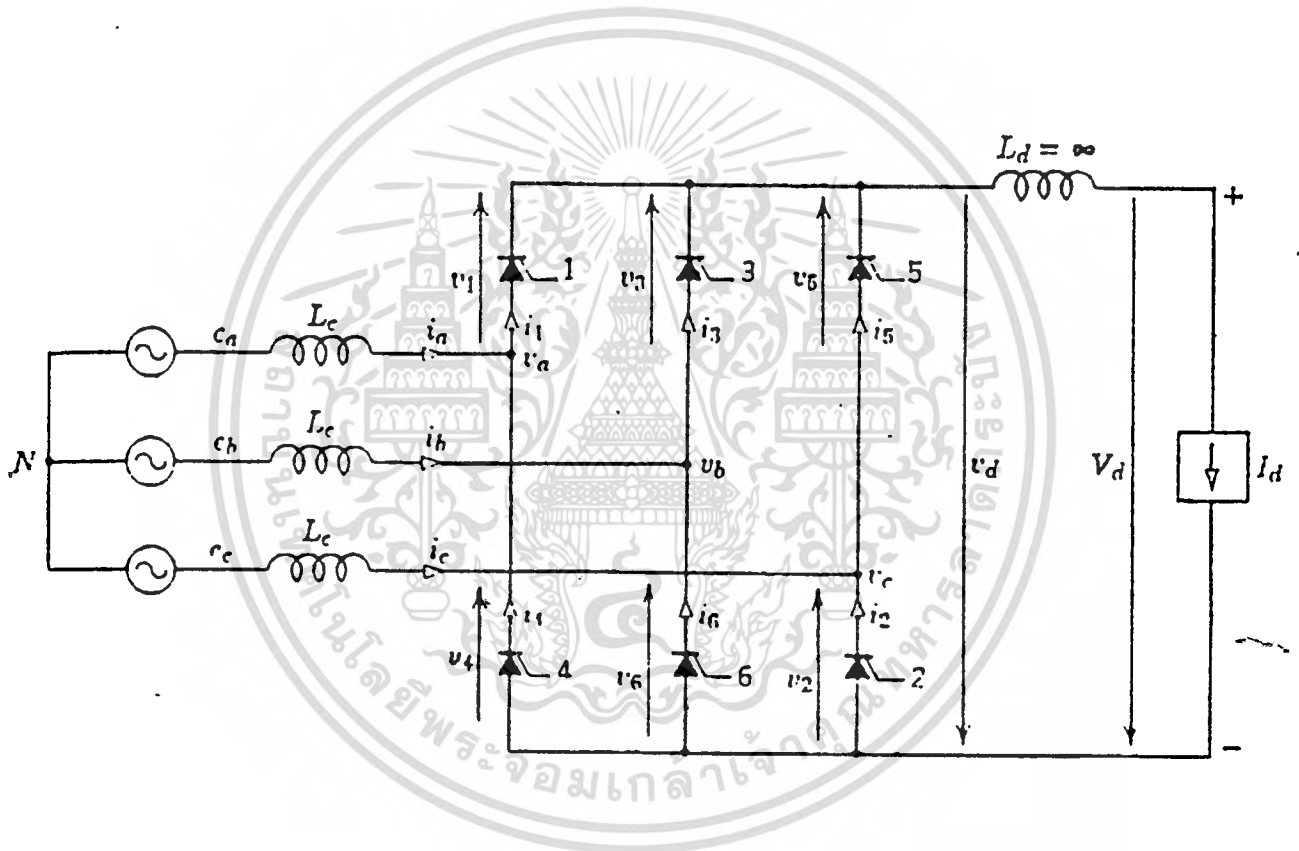
เมื่อ $n = 6$ $V_d = V_{do} \times \cos \alpha$ (3-6)

3.5.1 เรคติฟายเออร์ (Rectifier)

วงจร บริดจ์คอนเวอร์เตอร์ ขณะทำงานเป็น เรคติฟายเออร์ จะเริ่มต้นที่การทำงานขึ้นพื้นฐานก่อนโดยให้ วาล์วทั้ง 6 เป็นวาล์วที่มีจุดขนวนเป็นศูนย์ ซึ่งเราก็จะแทน วาล์วเหล่านั้นด้วย ไดโอดซึ่งมันจะเกิดสภาวะ“บล็อก”เมื่อเกิดรีเวิร์สไบอัสแต่นำกระแส เมื่อให้ฟอร์เวิร์ดไบอัสให้ เอชี่ โวลท์เตจเป็นรูปซายน์ และระบบคงที่อยู่ตลอดเวลา ไม่มีคอมมิวเตตติ้งรีแอกแตนซ์ นั่นคือไม่มี ทั้ง ลีคเกจ รีแอกแตนซ์ (leakage reactance)ของหม้อแปลงและรีแอกแตนซ์ ของระบบเอชี่

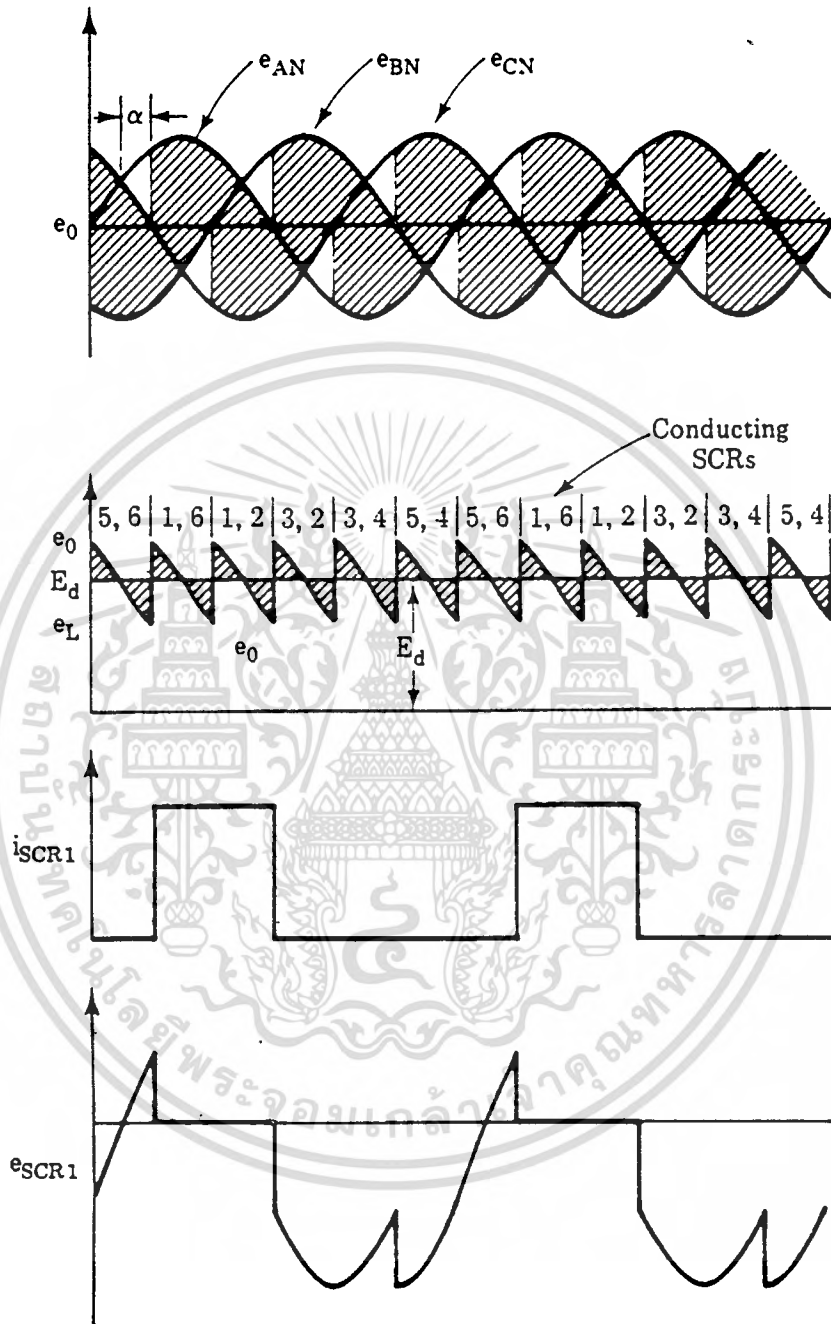
การทำงานของวงจร บริดจ์คอนเวอร์เตอร์ ซึ่งมีมุมจุดขนวนเป็นศูนย์จะมีโวลท์เตจ 3 ค่า คือ UR, US และ UT วาล์ว 1 จะเริ่มนำกระแสเมื่อได้รับ ฟอร์เวิร์ดไบอัส ซึ่งจะเกิดขึ้นเมื่อ โวลท์เตจที่ขั้ว อาโนดมีค่ามากกว่า โวลท์เตจที่ขั้วคาโธดของมัน การที่จะหาโวลท์เตจที่คาโธดได้นั้นต้อง กำหนดให้ บริดจ์ที่วัฏจักรการทำงานที่คงที่ตลอดเวลา นั่นก็หมายความว่าวาล์ว 5 ได้นำกระแส ไม่วาล์วกรณีใดๆ ทั้งสิ้น อีกทั้งห้ามให้ตัดแปลงเนื้อหาและต้องอ้างอิงถึงเจ้าของเอกสารทุกครั้งที่มีการนำไปใช้

มาก่อนและจากนั้น การนำกระแสก็เปลี่ยนมาเป็น วาล์ว 1 ถ้าวาล์ว 5 ทำงานก่อนนั้นหมายความว่า คาโรด โวลต์เตจของวาล์ว 1 จะเป็น UT ยกตัวอย่างว่า UR มากกว่า UT วาล์ว 1 จะมีการฟอร์เวิร์ดไบอัสและเริ่มนำกระแส ดังแสดงให้เห็นทางด้านซ้ายของแกนเวลาของกราฟรูปที่ 3.8 และจะนำอีกครั้งที่ 360 องศาต่อมา



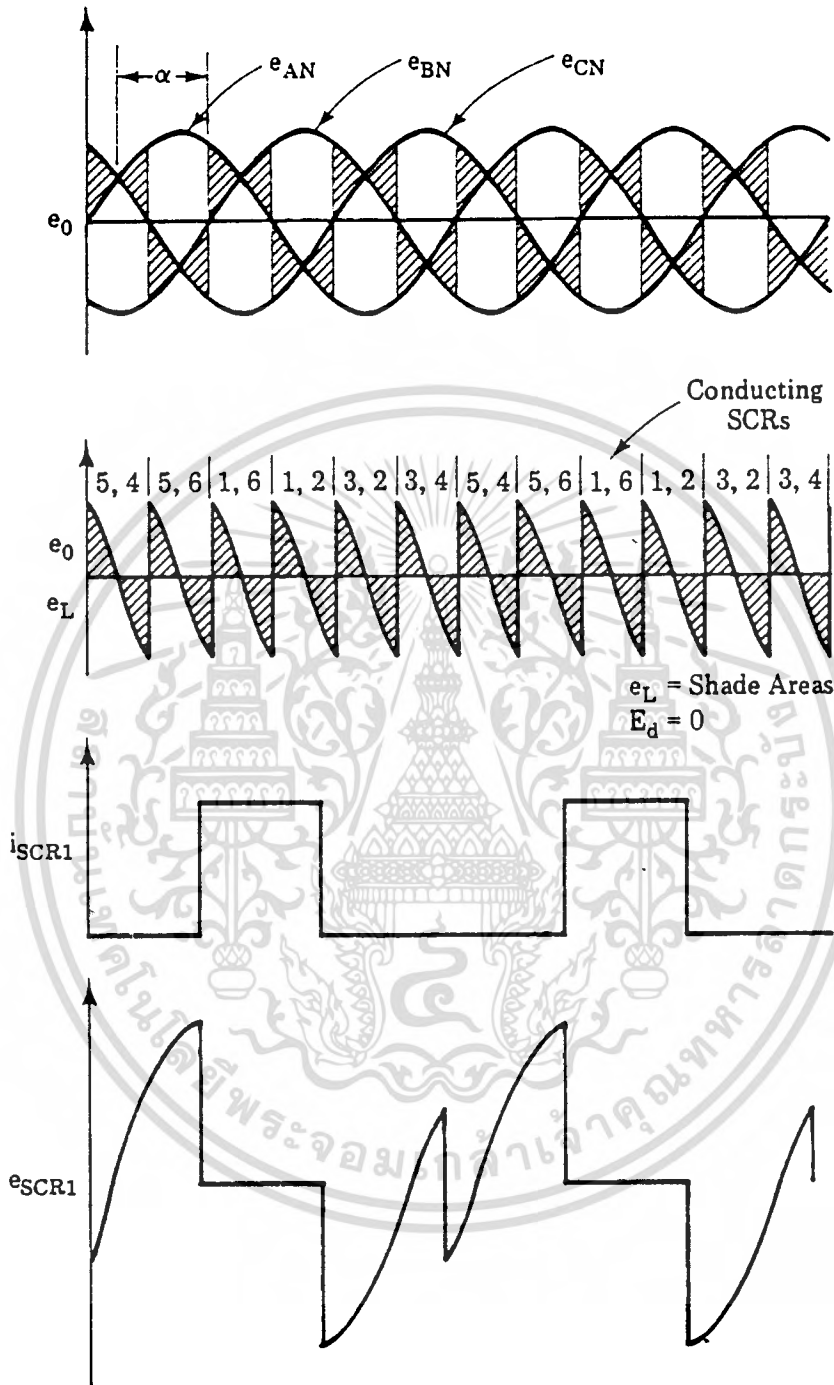
รูปที่ 3.7 วงจรบริดจ์เรกติฟายเออร์

เอกสารนี้เป็นเอกสารที่สงวนไว้สำหรับการใช้งานเพื่อการศึกษาเท่านั้น ไม่อนุญาตให้นำไปใช้ประโยชน์ด้านการค้า ไม่ว่าจะกรณีใดๆ ทั้งสิ้น อีกทั้งห้ามมิให้ตัดแปลงเนื้อหาและต้องอ้างอิงถึงเจ้าของเอกสารทุกครั้งที่มีการนำไปใช้



รูปที่ 3.8 รูปสัญญาณการทำงานของเรกติฟายเออร์เมื่อมุมจุดชนวน $\alpha = 30^\circ$

เอกสารนี้เป็นเอกสารที่สงวนไว้สำหรับการใช้งานเพื่อการศึกษาเท่านั้น ไม่อนุญาตให้นำไปใช้ประโยชน์ด้านการค้า ไม่ว่าจะกรณีใดๆ ทั้งสิ้น อีกทั้งห้ามมิให้ดัดแปลงเนื้อหาและต้องอ้างอิงถึงเจ้าของเอกสารทุกครั้งที่มีการนำไปใช้



รูปที่ 3.9 รูปสัญญาณการทำงานของเรกติฟายเออร์เมื่อมีมุมจุดชนวน $\alpha = 90^\circ$

เอกสารนี้เป็นเอกสารที่สงวนไว้สำหรับการใช้งานเพื่อการศึกษาเท่านั้น ไม่อนุญาตให้นำไปใช้ประโยชน์ด้านการค้า ไม่ว่าจะกรณีใดๆ ทั้งสิ้น อีกทั้งห้ามมิให้ตัดแปลงเนื้อหาและต้องอ้างอิงถึงเจ้าของเอกสารทุกครั้งที่มีการนำไปใช้

เมื่อมีการนำกระแส วาล์ว 1 ก็ยังคงนำกระแส Id ไปจนกว่า วาล์ว 3 จะฟอร์เวิร์ดไบอัส ซึ่งเกิดขึ้นเมื่อ US มีค่ามากกว่า UR ซึ่งจะนำอยู่ 120 องศา หลังจากจุดที่ $\alpha = 0$ และในระหว่างที่วาล์ว 1 นำกระแส วาล์ว 6 และ 2 ก็นำกระแสตามลำดับ และวาล์ว 2 ยังคงนำกระแส ในขณะที่วาล์ว 1 หยุดนำกระแสและวาล์ว 3 เริ่มนำกระแส ดังนั้น ลำดับการทำงานซึ่งเป็น 1,2,3,4,5,6 โดยอัตโนมัติ

รูปที่ 3.9 ได้แสดงกระแสเฟสเดียวทางด้าน ทฤษฎีของหม้อแปลง คอนเวอร์เตอร์ ที่มีการต่อหม้อแปลงแบบสตาร์ กระแส IR จะประกอบด้วย กระแสในวาล์ว 1 และ วาล์ว 4 ซึ่งเป็นวาล์วที่อยู่กับ เฟส R จะสังเกตได้ว่าขณะที่วาล์ว 1 นำกระแส วาล์ว 6 และ 2 ที่อยู่ทางด้านล่างของบริดจ์ก็จะนำกระแสด้วย ในทำนองเดียวกันขณะที่วาล์ว 4 นำกระแส วาล์ว 3 และ 5 ก็จะผลัดกันนำกระแส ขั้วคาโธดของวาล์ว 4 จะมีเนกาทีฟ ไบอัส (negative biased) หลังจาก UR ผ่านไปแล้ว 180 องศา นั่นคือหลังจากที่วาล์ว 1 เริ่มต้น ดังนั้นกระแสใน วาล์ว 4 ก็เท่า กับ Id ด้วย โดยไหลจากขั้วคาโธดไปสู่คาโธดจากนั้นก็ไหลเข้าเฟส R

ด้วยเหตุนี้กระแส IR จึงสมดุล (balanced) โดย วาล์ว 1 จะนำกระแส $IR = Id$ 120 องศาและวาล์ว 4 จะนำกระแส $IR = -Id$ อีก 120 องศา และจะอยู่ในสภาวะออฟ 60 องศาในช่วงระหว่าง พัลซของกระแส โดยที่วาล์วมี ดิวตี้ ไซเคิล (duty cycle) เป็น $\frac{1}{3}$ คือ 120 องศา ในสภาวะ “ออน” และในสภาวะ “ออฟ” 240 องศา โดยที่กระแสเฟสนี้ไม่ใช่องค์ประกอบกระแสตรง (DC component) แต่เป็นผลรวมของกระแสหลักกับฮาร์มอนิกจำนวนมาก ถ้าใช้อนุกรมฟูเรียร์ (Fourier series) วิเคราะห์จะพบว่ามี เฉพาะ ฮาร์มอนิก พจน์คู่เท่านั้น และไม่มีฮาร์มอนิกที่สาม โดย กระแสฮาร์มอนิก จะมีลำดับที่ 5,7,11,13,17,19

เอาท์พุทโวลท์เตจ ของบริดจ์คอนเวอร์เตอร์ที่มีมุมจุดชนวนเป็นศูนย์ สามารถหาได้จากรูปที่ 3.8 ซึ่งรูปแบบจะเหมือนเดิมทุก ๆ 60 องศา ดังนั้นเราจึงจำเป็นต้องพิจารณา เฉพาะส่วนที่เป็นรูปคลื่น (waveform) ค่าเฉลี่ยรูปคลื่นนี้หาได้โดยการอินทิเกรต โลว์-ทู-โวลท์เตจ (URT) บนช่วงคาบ 60 องศา (จะได้พื้นที่ใต้กราฟ) จากนั้นหารด้วย 60 องศาซึ่งเป็นคาบของ การอินทิเกรตจากการทำเช่นนั้นเราจะได้โวลท์เตจกระแสตรงขณะไม่มีโหลด(no-load direction voltage, U_{dio}) ซึ่งเท่ากับ $\frac{3\sqrt{2}}{\pi} U_{vo} = 1.35 U_{vo}$ (U_{vo} คือ โลว์-ทู-โวลท์เตจ อาร์เอ็มเอส โวลท์เตจ) ทางด้านทฤษฎีของหม้อแปลงคอนเวอร์เตอร์ซึ่งเป็นเอาท์พุทโวลท์เตจเฉลี่ยมากที่สุดเท่าที่จะได้จากวงจรบริดจ์นี้ เมื่อเรารู้จักการควบคุมเฟสเราจะพบว่า เอาท์พุทโวลท์เตจ เฉลี่ยของบริดจ์(U_d)

จะมีค่าลดลง

เอกสารนี้เป็นเอกสารที่สงวนไว้สำหรับการใช้งานเพื่อการศึกษาเท่านั้น ไม่อนุญาตให้นำไปใช้ประโยชน์ด้านการค้า ไม่ว่าจะกรณีใดๆ ทั้งสิ้น อีกทั้งห้ามมิให้ตัดแปลงเนื้อหาและต้องอ้างอิงถึงเจ้าของเอกสารทุกครั้งที่มีการนำไปใช้

กระแสตรงของวงจรบริดจ์คือ I_d ซึ่ง กระแสอาร์เอ็มเอส ทูติยภูมิ (rms secondary current) นี้สามารถทำได้ด้วยการใส่รากที่สอง ให้กับค่าอาร์เอ็มเอสของกระแสจาก วาล์ว 1 และ 4 เมื่อกระแสไหล $\frac{2}{3}$ ของเวลากระแสอาร์เอ็มเอสจะเป็น $\frac{\sqrt{2}}{\sqrt{3}} I_d = 0.816 I_d$ ถ้าจะหาค่ากระแสหลัก ก็จำเป็นที่จะต้องใช้เทคนิคของอนุกรมฟูเรียร์ซึ่งก็จะได้ว่า ค่าอาร์เอ็มเอสของกระแสหลัก คือ I_d ซึ่งหาได้เป็น $\frac{\sqrt{3}}{\sqrt{\pi}} I_d = 0.78 + I_d$ ในกรณีนี้ ฮาร์โมนิคตัวที่ n ก็จะมีแอมป์จูดลดลงมาจาก กระแสหลักด้วยอัตรา $\frac{1}{n}$

ดังนั้น เอาร์ทพุท เพาเวอร์ของบริดจ์ จะเป็น

$$Pd = U_{dio} \times I_d \quad (3-7)$$

ในกรณีเป็นพจน์ของ เอซี (AC terms) จะเป็น

$$Pd = \frac{3\sqrt{2}}{\pi} \times U_{vo} \times \frac{\pi}{\sqrt{6}} \times I_d \quad (3-8)$$

$$Pd = \sqrt{3} \times U_v$$

ในวงจรบริดจ์คอนเวอร์เตอร์ที่มีมุมจุดชนวนไม่เป็นศูนย์ วาล์ว 1 จะเริ่มต้นนำกระแสเมื่อโวลท์เดจ (URT) ที่คร่อมระหว่าง อาโนดกับ คาโทด เปลี่ยนจากค่าลบ เป็นค่าบวก แต่ในวงจร บริดจ์ควบคุม โวลท์เดจ จะคร่อมอยู่ชั่วขณะจนกระทั่งได้รับสัญญาณจุดชนวน จึงจะเริ่มการนำกระแส ถ้าเรา เริ่มวัดตั้งแต่จุดที่เริ่มมีการ ฟอร์เวิร์ดไบอัส ไปจนถึง จุดที่มีการนำกระแส ช่วงนี้เรียกว่า มุมจุด ชนวน หรือใช้สัญลักษณ์อัลฟา (alpha , α) หรือเรียกว่ามุมหน่วงในทางทฤษฎีของคอนเวอร์เตอร์ ควรจะมีค่าอยู่ระหว่าง 0 ถึง 180 องศาแต่ในทางปฏิบัติจะหลีกเลี่ยงการทำงาน ที่จะต้องใช้ค่า บริเวณรอบช่วงดังกล่าว ถ้าวาล์วไม่ได้รับสัญญาณจุดชนวนที่ $\alpha = 0$ กระแสในวาล์วก็จะไม่เกิดขึ้น โดยฟอร์เวิร์ดโวลท์เดจจะตกคร่อมอยู่ จนกว่าจะได้รับสัญญาณจุดชนวน

กราฟของสัญญาณที่เกี่ยวข้องกับการทำงานในรูปที่ 3.9 ได้แสดงรูปกราฟต่าง ๆ ที่ เกี่ยวกับการทำงานของเรกติฟายเออร์ที่ $\alpha = 15$ องศา และ $X_c = 0$ ซึ่งกราฟทั้งหมดจะมีความแตกต่างจากรูปที่ 3.8 เพียงเล็กน้อย แต่ความแตกต่างนี้ก็มีความสำคัญ ซึ่งจะต้องทำการ พิจารณาดูการที่กระแสของวาล์ว 1 ได้หน่วงจากจุดเริ่มต้นของการนำไป 15 องศา นั้นเพราะว่า

เอกสารนี้เป็นเอกสารลิขสิทธิ์สงวนไว้สำหรับใช้ในงานเพื่อการศึกษาเท่านั้น ไม่อนุญาตให้นำไปเผยแพร่โดยไม่ได้รับอนุญาต
ไม่ว่ากรณีใดๆ ทั้งสิ้น อีกทั้งห้ามมิให้ตัดแปลงเนื้อหาและต้องอ้างอิงถึงเจ้าของเอกสารทุกครั้งที่มีการนำไปใช้

มีการให้มุมจุดชนวนซึ่งวาล์วทั้งหมดในบริดจ์ก็จะได้รับการหน่วงเหมือนกันหมดดังนั้น วาล์วทุกวาล์วก็จะหน่วงไป 15 องศาทั้งหมด กระแสหลังจากวาล์ว 1 เริ่มนำไปแล้ว 120 องศา นั่นคือกระแสของวาล์ว 3 ก็จะหน่วงไป 15 องศาจากจุดเดิมที่ไม่มีการให้มุมหน่วง โดยที่การอน-ออฟของวาล์ว 1 และ 4 ยังคงเป็น 120 องศา 60 องศา 120 องศา 60 องศา นั่นคือกระแสได้ถูกเคลื่อน (shifted) ไปเป็นระยะเท่ากับมุมหน่วง แต่แอมป์จูดของกระแส ค่าอาร์เอ็มเอส และแอมป์จูดของฮาโมนิคทั้งหลายยังคงเหมือนเดิมอยู่

การเปลี่ยนแปลงที่เกิดขึ้นกับโวลต์เตจของบริดจ์ เมื่อวาล์ว 1 ไม่ได้นำกระแสต่อจากวาล์ว 5 ในทันทีเหมือนใน กรณีที่บริดจ์ที่ไม่ควบคุม จึงทำให้วาล์ว 5 ยังคงต่ออยู่กับด้านโพลีทีฟของบริดจ์ ซึ่งมีโวลต์เตจเป็น UT และระดับโวลต์เตจก็จะลดลงตามรูปขายนั่น จนกระทั่งวาล์ว 1 เริ่มนำกระแส โวลต์เตจด้านโพลีทีฟของบริดจ์ก็เปลี่ยนเป็น US ในระหว่างที่เกิดเวลาหน่วง (delay time) นั้น ปกติ UR จะมีค่ามากกว่า UT นั่นก็หมายความว่าระหว่างที่เกิดเวลาหน่วงจะมีการสูญเสียโวลต์-เซกันต์ไปส่วนหนึ่ง

การคำนวณหาเอ๊าท์พุท โวลต์เตจของบริดจ์ ก็มีวิธีเหมือนกับที่ผ่านมา คือหาพื้นที่ใต้กราฟด้วยการอินทิเกรชัน (integration) จากนั้นก็หารด้วยค่าเฉลี่ย แต่มีข้อแตกต่างก็คือ รูปร่างของกราฟได้เปลี่ยนไปบ้าง ทำให้ต้องเปลี่ยนขอบเขตของการอินทิเกรชันเป็น $\alpha \rightarrow \frac{\pi}{3} + \alpha$ ก็จะได้ เอ๊าท์พุทโวลต์เตจเฉลี่ย

$$U_d = \frac{3\sqrt{2}}{\pi} \times U_{vo} \times \cos \alpha \quad (3-9)$$

หรือ

$$U_d = U_{dio} \times \cos \alpha \quad (3-10)$$

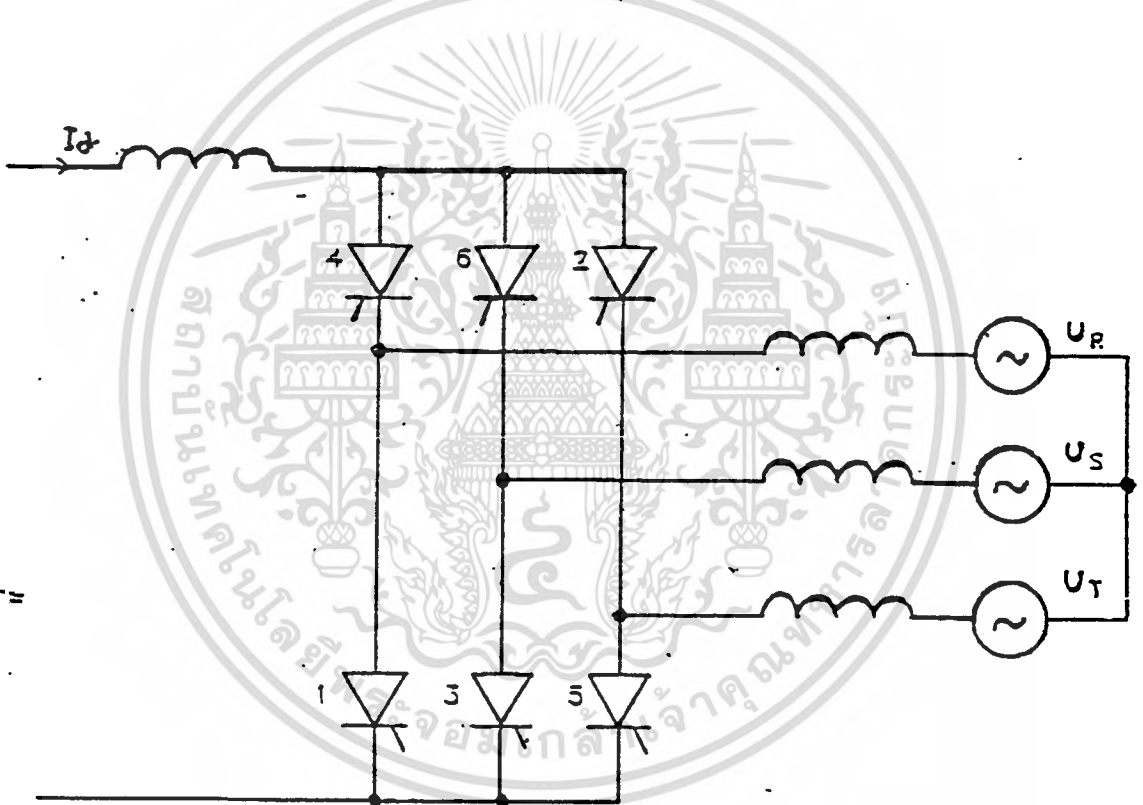
นั่นก็คือ เอ๊าท์พุทโวลต์เตจ ภายใต้เงื่อนไขของการหน่วงจะมีค่าเท่ากับ เอ๊าท์พุทโวลต์เตจที่ไม่มีการหน่วงคูณกับค่า คอส (cos) ของมุมหน่วง 1 จัดเป็นว่ามุมหน่วงมีค่าเกิน 90 องศาเครื่องหมายของโวลต์เตจจะเปลี่ยน นั่นก็คือเราจะได้การอินเวอร์ชัน คือ ดีซี - เอซีคอนเวอร์ชัน

ในขณะที่มีความสัมพันธ์ระหว่าง แอมป์จูดของกระแสดีซี กับกระแสเอซีไม่ได้เปลี่ยนไป ทำให้ดีซีเพาเวอร์มีค่าเป็น $P_d = U_d \times I_d$ โดยการคำนวณหา เอซีเพาเวอร์ สามารถทำการคำนวณหาได้ดังหลักการที่เคยกล่าวมาแล้วและได้เป็น $\sqrt{3}U_{vo} \times I_d \times \cos \alpha$

เอกสารนี้เป็นเอกสารที่สงวนไว้สำหรับการใช้งานเพื่อการศึกษาเท่านั้น ไม่อนุญาตให้นำไปใช้ประโยชน์ด้านการค้า ไม่ว่ากรณีใดๆ ทั้งสิ้น อีกทั้งห้ามมิให้ตัดแปลงเนื้อหาและต้องอ้างอิงถึงเจ้าของเอกสารทุกครั้งที่มีการนำไปใช้

3.5.2 อินเวอร์เตอร์(Inverter)

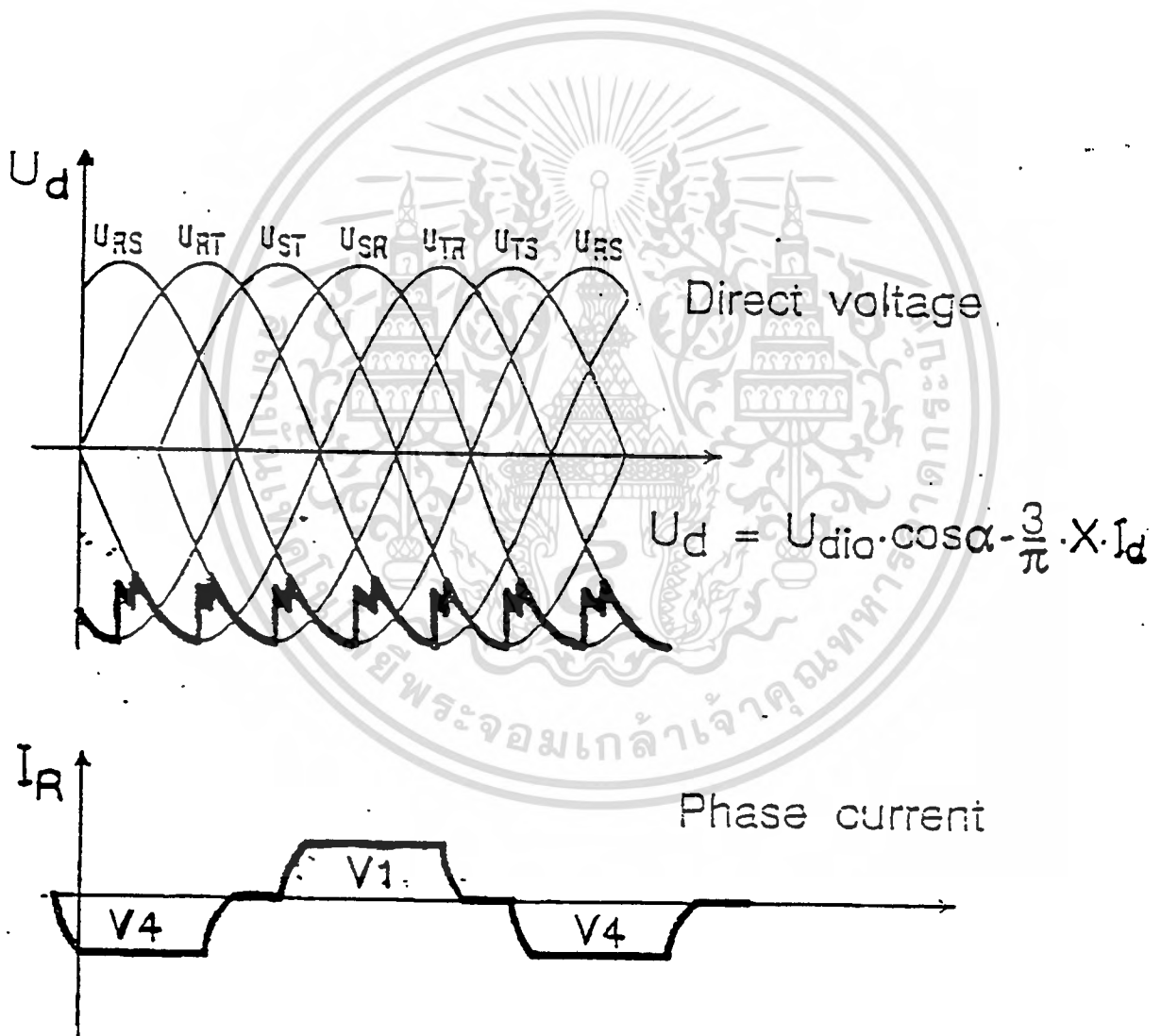
วงจรบริดจ์แบบ 6 พัลซ ของคอนเวอร์เตอร์สามารถทำหน้าที่เป็นได้ทั้งเรกติไฟายเออร์หรืออินเวอร์เตอร์ ก็ได้โดยขบวนการเรกติฟิเคชันเป็นการเปลี่ยนไฟกระแสสลับเป็นกระแสตรงโดยถือว่าเรกติไฟายเออร์เป็นโหลดของระบบไฟกระแสสลับในขณะที่อีกฝั่งหนึ่งของการเชื่อมกระแสตรงเป็นอินเวอร์เตอร์ซึ่งทำหน้าที่เปลี่ยนไฟกระแสตรงเป็นกระแสสลับ ถ้าพิจารณาเปรียบเทียบกับระบบกระแสสลับ ตัวอินเวอร์เตอร์จะเสมือนเป็น แหล่งจ่ายของระบบโดยในรูปที่ 3.10 ได้แสดงรูปแบบของการเปลี่ยนพลังงานจะสังเกตได้ว่า โวลต์เตจกระแสสลับจะทำงานทันทีถ้าตัวส่ง (sending) และตัวรับ (receiving) ของระบบไฟกระแสสลับได้รับจุดขนวน



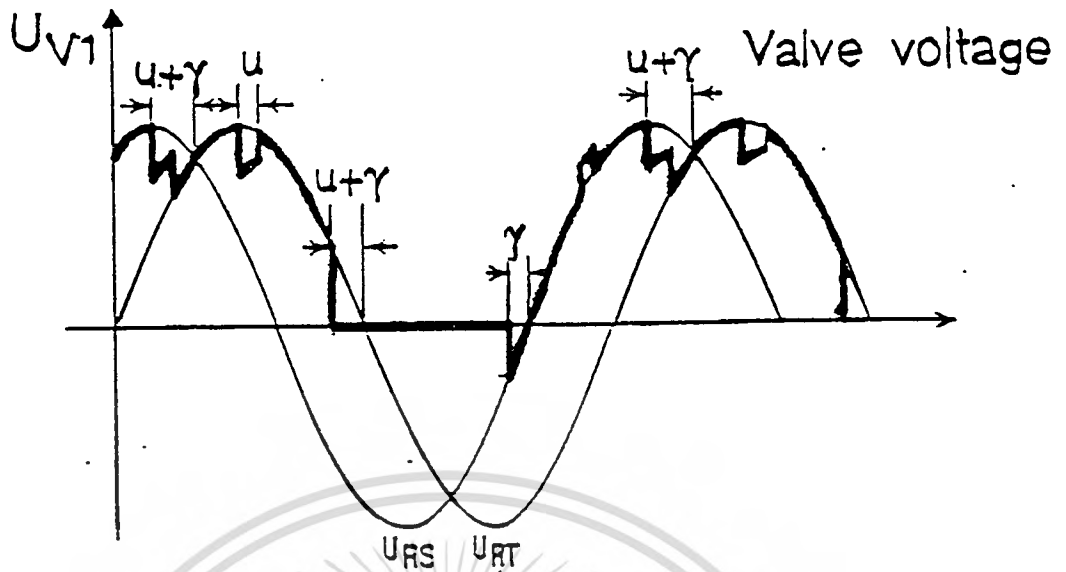
รูปที่ 3.10 วงจรบริดจ์อินเวอร์เตอร์

พิจารณาในรูปที่ 3.10 มีกระแสตรงที่สภาพคงที่ (steady-state) ในสายเชื่อม (ซึ่งได้จากตัว เรกติไฟายเออร์ที่มีตัวกรองร่วมด้วย) โดยสมมติให้กระแสไหลเข้าไปในวาล์ว 1 และ วาล์ว 2 เอกสารที่กระแสก็จะไหลในเฟส T ออกเฟส S เมื่อกระแส คอมมิวเตตจากวาล์ว 2 เป็นวาล์ว 4 ยืนยันการคำนวณว่ากรณีใดๆ ทั้งสิ้น อีกทั้งห้ามมิให้ตัดแปลงเนื้อหาและต้องอ้างอิงถึงเจ้าของเอกสารทุกครั้งที่มีการนำไปใช้

กระแสจะเข้าเฟส R และออกเฟส S ซึ่งเราจะได้รูปแบบของกระแสคล้ายกับที่ได้จากรูปแบบกระแสเรกติฟายเออร์ ดังรูปที่ 3.11 นั่นคือกระแสได้ไหลเข้าและไหลออกทั้ง 3 เฟสใน 1 วัฏจักร สมมติให้มีคอมมิวนิตีติง รีแอกแตนซ์ โดยจะมี กระแสไหลเข้า 120 องศาและจะหยุดนำกระแส อยู่ 60 องศา จากนั้นก็ไหลออก 120 องศา และหยุดนำกระแส 10 องศา โดยในแต่ละวาล์วจะนำกระแส 120 องศา และหยุดนำกระแส 240 องศา



เอกสารนี้เป็นเอกสารที่สงวนไว้สำหรับการใช้งานเพื่อการศึกษาเท่านั้น ไม่อนุญาตให้นำไปใช้ประโยชน์ด้านการค้า ไม่ว่าจะกรณีใดๆ ทั้งสิ้น อีกทั้งห้ามมิให้ตัดแปลงเนื้อหาและต้องอ้างอิงถึงเจ้าของเอกสารทุกครั้งที่มีการนำไปใช้



รูปที่ 3.11 สัญญาณการทำงานของอินเวอร์เตอร์

จากรูปที่ 3.11 ได้แสดงกราฟของขบวนการอินเวอร์ชัน เมื่อมีมุมหน่วง 150 องศา และมีคอมมิวเตตติ้ง รีแอกแตนซ์ต่ออยู่ด้วย เมื่อพิจารณาจากกราฟ กระแสในวาล์ว 1 ได้ถูกหน่วงไป 150 องศาจากจุดที่ไม่มีการหน่วงดังรูปที่ 3.11 ซึ่งขณะนี้วาล์ว 1 ยังมีการ ฟอสเวอร์สไบอัสอยู่ เมื่อได้รับสัญญาณจุดชนวนก็จะเริ่มนำกระแสทันที

จากมุมจุดชนวนที่ 150 องศาหมายความว่ามีการกระโดดจากคลื่นหนึ่งภายใน 30 องศา ก่อนที่จะถึงจุดไขว้กันของกราฟ เมื่อมีคอมมิวเตตติ้ง รีแอกแตนซ์ จะทำให้โวลต์เตจไม่สามารถกระโดดได้อย่างทันทีทันใดแต่จะเกิดการโอเวอร์แลป โดดไปเพียงครั้งหนึ่งเป็นมุม โอเวอร์แลปจึงจะกระโดดไปยังคลื่นใหม่

วาล์ว 1 จะเกิดมีโพสิทีฟ โวลต์เตจคร่อมจนกระทั่งถูกจุดชนวนโดยสัญญาณการจุดชนวนจะมาถึงก่อนที่ โวลต์เตจคร่อมวาล์วจะเปลี่ยนเป็นเนกาทีฟ และจะต้องอยู่ในระดับที่วาล์วจะนำกระแสได้ถ้าสมมติให้ หลังจากการนำกระแสแล้วโวลต์เตจเกิดลดลงจนใกล้จะเป็นศูนย์ โดยมีช่วงการนำกระแส $120 + \alpha$ เมื่ วาล์ว 1 คอมมิวเตจไปยังวาล์ว 3 โวลต์เตจคร่อมวาล์วจะเป็นลบ อยู่ชั่วขณะและก็จะเปลี่ยนเป็นบวก และจะเป็นอยู่อย่างนั้นจนกว่าจะได้รับการจุดชนวน โดยสามารถเห็นรอยบวกเนื่องจากการคอมมิวเตจจากกราฟของวาล์ว โวลต์เตจ

เอกสารนี้เป็นเอกสารที่สงวนไว้สำหรับการใช้งานเพื่อการศึกษาเท่านั้น ไม่อนุญาตให้นำไปใช้ประโยชน์ด้านการค้า ไม่ว่าจะกรณีใดๆ ทั้งสิ้น อีกทั้งห้ามมิให้ตัดแปลงเนื้อหาและต้องอ้างอิงถึงเจ้าของเอกสารทุกครั้งที่มีการนำไปใช้

มูมมารจิ้น

เป็นปรากฏการณ์ที่เกิดขึ้นขณะที่เริ่มมี โวลต์เตจเป็นลบ คร่อมวาล์วอยู่เพื่อที่จะทำการทำให้วาล์วหยุดนำกระแส ซึ่งมีความสำคัญที่จะต้องพิจารณา โดยช่วงเวลาที่ทำการเกิด โวลต์เตจอันนี้เรียกว่ามูม มารจิ้น (γ) โดยที่โวลต์เตจที่เป็นลบจะเกิดขึ้นหลังจากที่ไม่มีกระแสในวาล์วซึ่งจำเป็นต้องมีเพื่อใช้ในการ กำจัดพาหะไฟฟ้า ให้ออกไปจากบริเวณรอยต่อของ ไทริสเตอร์ นั่นคือ ช่วยป้องกันไม่ให้เกิด ฟอว์เวอร์สโวลต์เตจ ก่อนที่จะมีการจุดชนวนโดยปกติมูมมารจิ้นจะใช้งานอยู่ที่ 17-20 องศา

ยกตัวอย่างรูปกราฟของ วาล์วโวลต์เตจในรูปที่ 3.11 จะเห็นมูมมารจิ้นได้อย่างชัดเจน โดยโวลต์เตจที่เป็นลบจะเริ่มเกิดขึ้นเมื่อวาล์ว 1 มีกระแสเป็นศูนย์ ซึ่งจะยังคงเป็นโวลต์เตจลบจนกว่าโวลต์เตจ URS เริ่มเป็นบวกขึ้นมา ซึ่งการควบคุมมูมมารจิ้นจะควบคุมได้เฉพาะทางอ้อมเท่านั้นคือ มูมมารจิ้นจะเกิดในวาล์ว 1 เมื่อมีการจุดชนวนในวาล์ว 3 นั่นคือวาล์ว 3 จะถูกควบคุมให้มีการจุดชนวนก่อนที่โวลต์เตจจะคร่อมวาล์ว 1 จะเป็นศูนย์ โดยจะจุดชนวนก่อนเป็นมูมเท่ากับ มูมมารจิ้น บวกกับมูมโอเวอร์แลปซึ่งมูมที่จะทำการจุดชนวนคือ β โดย $\beta = \gamma + u$ และ $\alpha + \beta = 180$ องศา

สมการที่อธิบายการทำงานของอินเวอร์เตอร์จะคล้ายกับสมการของเรคตีฟายเออร์เมื่อโวลต์เตจที่ขั้วของอินเวอร์เตอร์คือ $.U_d$ ซึ่งจะมีค่าเท่ากับ เอ๊าท์พุทโวลต์เตจของเรคตีฟายเออร์ เมื่อพิจารณาจากแมกนิจูดโดยที่โวลต์เตจที่ขั้ว จะประกอบด้วย โวลต์เตจขณะไรโพลด $.U_{dio}$ และยังมี โวลต์เตจ ตกเนื่องจากคอมมิวเตตริ่งแอนด์แดนซ์ และโวลต์เตจ ตกเนื่องจากมีมูมหน่วง ดังนั้นเราจึงแทนค่า ริชีสแดนซ์เป็น $\frac{3}{\pi} X_c$ แต่ทิศทางของโวลต์เตจต่าง จะต่างกันดังรูปที่ 3.11 แทนที่จะเป็นบวก จะเป็นการลบออกจากโวลต์เตจขณะไรโพลด

จากที่ขั้วของโวลต์เตจยังคงเป็น $.U_{dio} \times \cos \alpha$ แต่แทน $\alpha = 180 - \beta$ ดังนั้นเราเขียน โวลต์เตจที่ได้ใหม่ในรูป β คือ $-.U_{dio} \times \cos \beta$ อย่างไรก็ตามเนื่องจากเป็นการทำงานเป็นอินเวอร์เตอร์ จึงเกิดการกลับขั้วของโวลต์เตจ จึงทำให้สามารถเขียนโวลต์เตจใหม่เป็น $.U_{dio} \times \cos \beta$ ดังนั้นเราจึงได้วงจรมูลุย์ ดังรูปที่ 3.11 ทางด้านซ้ายมือ และจะได้

$$.U_d = (U_{dio} \times \cos \beta) + \left(\frac{3}{\pi} I_d \times X_c \right) \quad (3-11)$$

เอกสารนี้เป็นเอกสารที่สงวนไว้สำหรับการใช้งานเพื่อการศึกษาเท่านั้น ไม่อนุญาตให้นำไปใช้ประโยชน์ด้านการค้าไม่ว่ากรณีใดๆ ทั้งสิ้น อีกทั้งห้ามมิให้ตัดแปลงเนื้อหาและต้องอ้างอิงถึงเจ้าของเอกสารทุกครั้งที่มีการนำไปใช้

บทที่ 4

การออกแบบและการสร้างส่วนประกอบต่างๆของ ระบบส่งกำลังไฟฟ้ากระแสตรง

ในระบบส่งกำลังไฟฟ้ากระแสตรง จะมีส่วนประกอบด้วยกันหลายส่วนซึ่งส่วนประกอบทุกส่วนนี้ จะมีความสำคัญด้วยกันทุกส่วน เพราะว่าถ้าขาดส่วนประกอบส่วนใดไป จะทำให้ระบบส่งกำลังไฟฟ้ากระแสตรงทำงานไม่ได้ และส่วนประกอบต่างๆของระบบส่งกำลังไฟฟ้ากระแสตรงได้แยกออกเป็นสองส่วนได้ดังนี้

ส่วนระบบส่งกำลังไฟฟ้า

- เครื่องกำเนิดไฟฟ้า
- หม้อแปลงแรงดันไฟฟ้า
- คอนเวอร์เตอร์
- รีแอคเตอร์
- ดีซี ฟิวเตอร์

ส่วนวงจรควบคุม

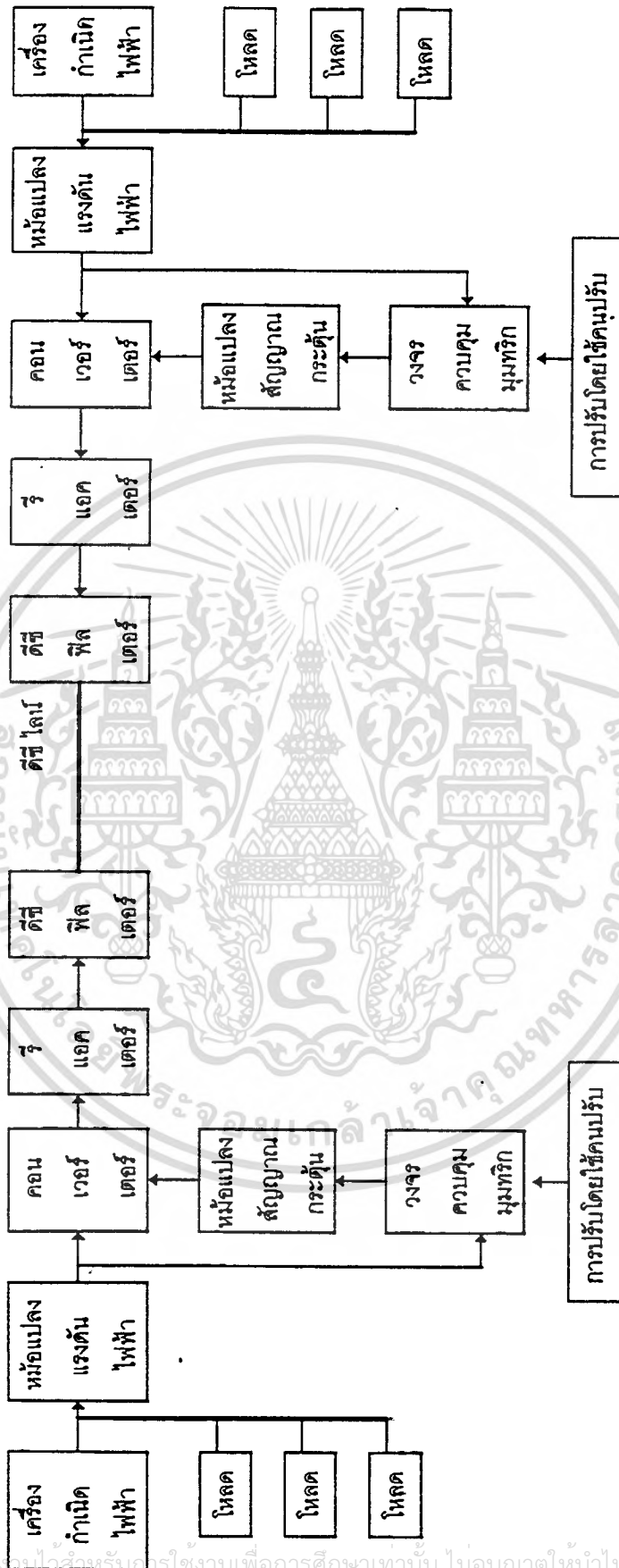
- หม้อแปลงสัญญาณกระตุ้น
- วงจรควบคุมมวมทริก

ซึ่งส่วนประกอบต่างๆของระบบส่งกำลังไฟฟ้ากระแสตรงทั้งหมดแสดงได้ดังรูปที่ 4.1

4.1 เครื่องกำเนิดไฟฟ้า

จะใช้ซิงโครนัสเจนเนอเรเตอร์ ที่มีอยู่ในภาควิศวกรรมไฟฟ้า 2 ตัว ซึ่งแต่ละตัวมีขนาดพิกัด 3 kVA 220 V 3 ϕ 50 Hz COS ϕ = 0.8 1500 rpm. ให้ทำงานเป็นเครื่องกำเนิดไฟฟ้าแต่ละฝั่งเพื่อจ่ายกำลังไฟฟ้าให้โหลด

เอกสารนี้เป็นเอกสารที่สงวนไว้สำหรับการใช้งานเพื่อการศึกษาเท่านั้น ไม่อนุญาตให้นำไปใช้ประโยชน์ด้านการค้าไม่ว่ากรณีใดๆ ทั้งสิ้น อีกทั้งห้ามมิให้ตัดแปลงเนื้อหาและต้องอ้างอิงถึงเจ้าของเอกสารทุกครั้งที่มีการนำไปใช้

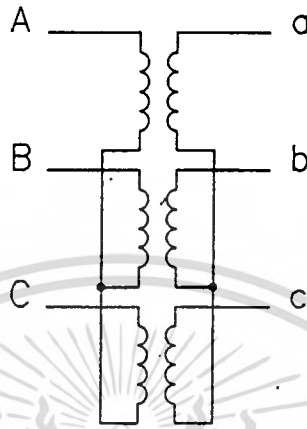


รูปที่ 4.1 แสดงส่วนประกอบต่างๆของระบบส่งกำลังไฟฟ้ากระแสตรง

เอกสารนี้เป็นเอกสารที่สงวนลิขสิทธิ์ไว้สำหรับใช้ในการเรียนการสอนเพื่อการศึกษาเท่านั้น ไม่อนุญาตให้นำไปใช้ประโยชน์ด้านการค้าไม่ว่ากรณีใดๆ ทั้งสิ้น อีกทั้งห้ามมิให้ดัดแปลงเนื้อหาและต้องอ้างอิงถึงเจ้าของเอกสารทุกครั้งที่มีการนำไปใช้

4.2 หม้อแปลงแรงดันไฟฟ้า

ใช้หม้อแปลง 1 เฟส 3 ตัว ต่อแบบ สตาร์ / สตาร์ โดยแต่ละตัวมีขนาดพิกัด 1 kVA 115/460 V โดยมีอัตราส่วนการแปลงแรงดันไฟฟ้าเป็น 1:4 ลักษณะการต่อดังรูปที่ 4.2



รูปที่ 4.2 แสดงการต่อหม้อแปลงแรงดันไฟฟ้า 1 เฟส 3 ตัว แบบสตาร์ / สตาร์

ได้ทำการทดสอบหม้อแปลงได้ค่าต่างๆคือ

ทดสอบลัดวงจร

ลัดวงจรด้านแรงดันต่ำ วัดทางด้านแรงดันสูง

$$V_{sc} = 9.14 \text{ V} , I_{sc} = 2.19 \text{ A} , P_{sc} = 20 \text{ W}$$

ทดสอบเปิดวงจร

เปิดวงจรด้านแรงดันสูง วัดทางด้านแรงดันต่ำ

$$V_{oc} = 115 \text{ V} , I_{oc} = 0.41 \text{ A} , P_{oc} = 15 \text{ W}$$

ทำการคำนวณหาค่าประสิทธิภาพและค่าแรงสูญเสียได้เท่ากับ

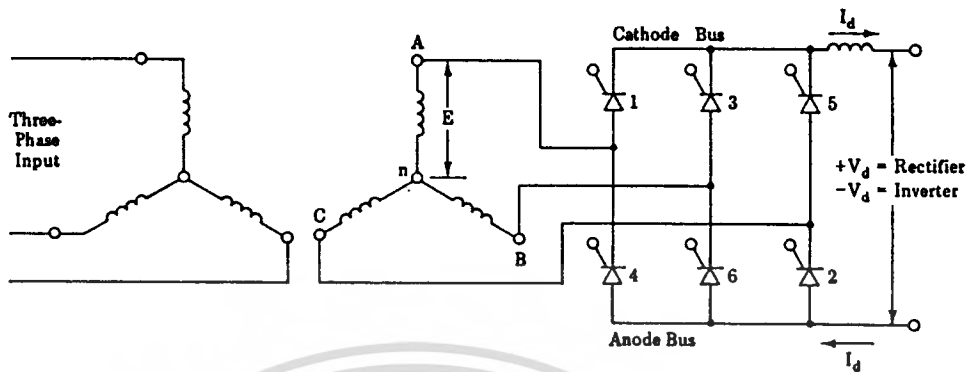
$$\eta = 98 \%$$

$$V_{reg} = 1.63 \%$$

4.3 คอนเวอร์เตอร์

ใช้ลักษณะการต่อคอนเวอร์เตอร์แบบ 3 เฟสควบคุมเต็มคลื่น โดยใช้เอสซีอาร์เป็นวาล์วโดยการทำงานในโหมดเรกติไฟเออร์ จะอยู่ในช่วง $0 \leq \alpha \leq 90^\circ$ และโหมดอินเวอร์เตอร์จะอยู่ในช่วง $90^\circ \leq \beta \leq 180^\circ$ โดยลักษณะการต่อดังรูปที่ 4.3

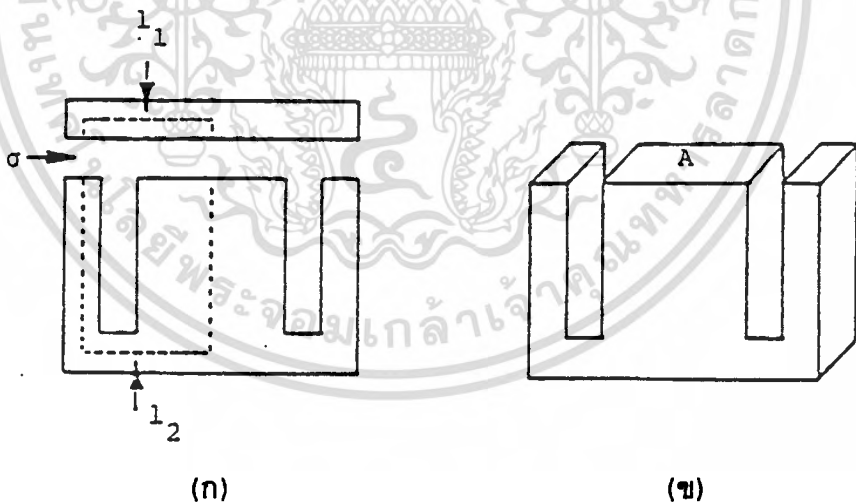
เอกสารนี้เป็นเอกสารที่สงวนไว้สำหรับการใช้งานเพื่อการศึกษาเท่านั้น ไม่อนุญาตให้นำไปใช้ประโยชน์ด้านการค้าไม่ว่ากรณีใดๆ ทั้งสิ้น อีกทั้งห้ามมิให้ตัดแปลงเนื้อหาและต้องอ้างอิงถึงเจ้าของเอกสารทุกครั้งที่มีการนำไปใช้



รูปที่ 4.3 ลักษณะการต่อวงจรคอนเวอร์เตอร์

4.4 การออกแบบและการสร้างตัวอินดักเตอร์ที่ใช้เป็นรีแอคเตอร์

อินดักเตอร์ที่สร้างขึ้นจะใช้แกนเหล็ก ชนิด EI ซึ่งใช้สำหรับพันหม้อแปลงศักดาไฟฟ้า การออกแบบ พิจารณาจากรูปการวางแกนเหล็ก EI ดังแสดงในรูปที่ 4.4 (ก)



รูปที่ 4.4 (ก) แสดงการวางของแกนเหล็ก EI ของตัวอินดักเตอร์

(ข) แสดงการกำหนดพื้นที่ A ของอินดักเตอร์

โดยเริ่มต้นจากสมการของค่าอินดักแตนซ์ คือ

$$L = \frac{W}{dt} d\phi \tag{4-1}$$

เอกสารนี้เป็นเอกสารที่สงวนไว้สำหรับการใช้งานเพื่อการศึกษาเท่านั้น ไม่อนุญาตให้นำไปใช้ประโยชน์ด้านการค้า ไม่ว่าจะกรณีใดๆ ทั้งสิ้น อีกทั้งห้ามมิให้ดัดแปลงเนื้อหาและต้องอ้างอิงถึงเจ้าของเอกสารทุกครั้งที่มีการนำไปใช้

สมการปริมาณสนามแม่เหล็กภายในแกนเหล็กคือ

$$\phi = AB \quad (4-2)$$

โดยที่ A เป็นพื้นที่ดังแสดงในรูปที่ 4.4 (ข) สมการ(4-1) และสมการ (4-2) สามารถจัดใหม่ได้คือ

$$L = WA \frac{d\phi}{dt} \quad (4-3)$$

และ
$$L = W^2 A \frac{dB}{dW} \quad (4-4)$$

และ
$$L = W^2 A \frac{dB}{d\theta} \quad (4-5)$$

เมื่อ θ เป็น mmf ของวงจรมแม่เหล็ก ซึ่งมีค่าเป็น

$$\theta = H_1 l_1 + H_2 l_2 + H_3 \sigma + H_3 \sigma = Wl \quad (4-6)$$

จาก

$$B = \mu_0 \mu_r H \quad (4-7)$$

สมการ (4-5) และ (4-6) สามารถจัดใหม่ได้เป็น

$$\theta = \frac{B_1 l_1}{\mu_0 \mu_{r1}} + \frac{B_2 l_2}{\mu_0 \mu_{r2}} + \frac{2\sigma B_3}{\mu_0} \quad (4-8)$$

สมมติให้ $B_1 \cong B_2 \cong B_3 \cong B$, $\mu_{r1} \gg \mu_0$, $\mu_{r2} \gg \mu_0$ ดังนั้นสมการ (4-7) สามารถจัดใหม่ คือ

$$\theta \cong \frac{2\sigma B}{\mu_0} \quad (4-9)$$

เอกสารนี้เป็นเอกสารที่สงวนไว้สำหรับการใช้งานเพื่อการศึกษาเท่านั้น ไม่อนุญาตให้นำไปใช้ประโยชน์ด้านการค้า
ไม่ว่ากรณีใดๆ ทั้งสิ้น อีกทั้งห้ามมิให้ตัดแปลงเนื้อหาและต้องอ้างอิงถึงเจ้าของเอกสารทุกครั้งที่มีการนำไปใช้

สมการ (4-5) และ (4-9) สามารถนำมาจัดใหม่จะได้สมการโดยประมาณของค่าอินดักแตนซ์ คือ

$$L \cong \frac{W^2 \mu_0}{2\sigma} \quad (4-10)$$

สมการ (4-10) จะถูกนำไปใช้ในการออกแบบอินดักเตอร์ แต่ในการออกแบบจริงจะต้องพิจารณา ระยะห่างของแกน EI (Air Gap) ต่ำสุดซึ่งจะทำให้อินดักเตอร์อิ่มตัว (Saturation) การพิจารณาเริ่มต้นโดยสมมติให้ mmf (Magnetomotive force) ที่เกิดขึ้นบนวงจรมแม่เหล็กจะปรากฏบนระยะห่างของแกน EI และปริมาณสนามแม่เหล็กสูงสุด (B_{max}) จะเกิดขึ้นเมื่อมีกระแสไฟฟ้าไหลสูงสุด (I_{max}) ซึ่งได้สมการของ mmf คือ

$$W I_{max} = H_{max} 2\sigma \quad (4-11)$$

และ

$$B_{max} = \mu_0 H_{max} \quad (4-12)$$

สมการ (4-10) และ (4-11) สามารถจัดใหม่ได้เป็น

$$\sigma_{mn} \geq \frac{W I_{max} \mu_0}{2B_{max}} \quad (4-13)$$

สมการ (4-13) แสดงค่าระยะห่างต่ำสุดของแกน EI

ดังนั้นสามารถสรุปวิธีการออกแบบอินดักเตอร์ได้คือ

- 1) ต้องทราบค่าอินดักเตอร์ที่ต้องการและกระแสไฟฟ้าสูงสุดที่จะใช้
- 2) เลือกแกนเหล็ก EI ซึ่งทราบค่า B_{max} , W
- 3) หาค่าระหว่างของแกน EI ต่ำสุด (σ_{mn}) จากสมการ (4-13)
- 4) นำค่าจาก ข้อ 2 และข้อ 3 ไปคำนวณค่าอินดักแตนซ์สูงสุด ซึ่งไม่ทำให้แกนเหล็กอิ่มตัว ดังในสมการ (4-10)
- 5) ถ้าค่าอินดักแตนซ์ที่ได้มากเกินไป ก็ปรับแต่งค่าอินดักแตนซ์โดยการเพิ่มค่าระยะห่างของแกน EI
- 6) ถ้าค่าอินดักแตนซ์ที่ได้น้อยไป ก็ปรับแต่งค่าอินดักแตนซ์ โดยการเพิ่มค่า A หรือ W

เอกสารนี้เป็นเอกสารที่สงวนไว้สำหรับการใช้งานเพื่อการศึกษาเท่านั้น ไม่อนุญาตให้นำไปใช้ประโยชน์ด้านการค้า ไม่ว่ากรณีใดๆ ทั้งสิ้น อีกทั้งห้ามมิให้ตัดแปลงเนื้อหาและต้องอ้างอิงถึงเจ้าของเอกสารทุกครั้งที่มีการนำไปใช้

ในโครงการนี้ค่าแรงดันระหว่างสาย (V_{LL}) = 120 V ผ่านหม้อแปลงแรงดันขึ้น 4 เท่า เท่ากับ 480 V จากสมการ (2-13) จะได้

$$V_{do} = 1.35 \times 480 = 648 \text{ V}$$

จากสมการ (2-15) จะได้

$$L_d = \frac{V_{do} \times 0.0931 \sin \alpha}{\omega I_d}$$

ค่ากระแสที่ต้องการคือ $I_d = 1 \text{ A}$ ที่ $\alpha = 90^\circ$ (เป็นมุมที่กระแสเฉลี่ยสามารถไหลได้ต่ำสุด)

$$L_d = \frac{648 \times 0.0931 \times \sin 90}{2 \times \pi \times 50 \times 1}$$

$$L_d = 0.192 \text{ H}$$

อินดักเตอร์ที่ต้องการใช้เป็นรีแอคเตอร์ประมาณ 0.2 H

พื้นที่หน้าตัดของแกนเหล็กเท่ากับ $5 \times 6 \text{ cm}^2$ จากสมการ (4-10)

$$L = \frac{W^2}{\mathcal{R}} = \frac{W^2 \mu A}{2\sigma}$$

โดยระยะช่องว่าง (Gap) $\approx 3 \text{ m.m.}$ จะได้จำนวนรอบที่ต้องพันคือ

$$W^2 = \frac{2\sigma L}{\mu_0 \mu_r A} = \frac{2 \times 3 \times 10^{-3} \times 0.2}{4 \times \pi \times 10^{-7} \times 0.05 \times 0.06} = 318310$$

$$W = 564 \text{ รอบ}$$

ใช้ลวดทองแดงอบน้ำยาเบอร์ 18 SWG

โดยระยะต่ำสุดที่ไม่ทำให้อินดักเตอร์อิ่มตัวสามารถหาได้จากสมการ (4-13)

เอกสารนี้เป็นเอกสารที่สงวนไว้สำหรับการใช้งานเพื่อการศึกษาเท่านั้น ไม่อนุญาตให้นำไปใช้ประโยชน์ด้านการค้า ไม่ว่าจะกรณีใดๆ ทั้งสิ้น อีกทั้งห้ามมิให้ตัดแปลงเนื้อหาและต้องอ้างอิงถึงเจ้าของเอกสารทุกครั้งที่มีการนำไปใช้

4.5 ดีซี ฟิลเตอร์

ฮาร์โมนิก(Harmonic) คือ สัญญาณที่เกิดขึ้นในระบบโดยที่อุปกรณ์ในระบบที่ต่ออยู่เป็นอุปกรณ์ไม่เชิงเส้น และเป็นจำนวนเท่า(จำนวนเต็ม)ของสัญญาณไซน์ที่ความถี่มูลฐานของระบบ เป็นผลให้สัญญาณขายนี้อาจไม่เป็นขายนี้อีกต่อไป

แหล่งกำเนิดฮาร์โมนิกมีมากมายหลายชนิด บางชนิดให้ฮาร์โมนิกขนาดใหญ่แต่ช่วงเวลาสั้น บางแหล่งให้ฮาร์โมนิกตลอดเวลา แต่ฮาร์โมนิกมีขนาดเล็ก แหล่งกำเนิดฮาร์โมนิกที่สำคัญและมีการใช้งานมากขึ้นทุกขณะคือ แหล่งกำเนิดชนิดโหลดไม่เป็นเชิงเส้นซึ่งนับวันจะก่อให้เกิดปัญหาในระบบไฟฟ้าเพิ่มขึ้น ทั้งนี้ยังเกิดจากลักษณะการทำงานของระบบซึ่งได้แก่การสวิตช์ (Switching)

เราจะมาพิจารณาคอนเวอร์เตอร์ในระบบส่งกำลังไฟฟ้ากระแสตรง ซึ่งคอนเวอร์เตอร์เป็นแหล่งกำเนิดฮาร์โมนิกชนิดหนึ่งซึ่งผลของฮาร์โมนิกของคอนเวอร์เตอร์ จะไปรบกวนระบบไฟฟ้ากระแสสลับและอุปกรณ์อื่นๆ เราจำเป็นต้องมีการลดฮาร์โมนิกซึ่งเกิดจากผลของคอนเวอร์เตอร์โดยทั่วไปแล้ววิธีการลดหรือกำจัดฮาร์โมนิกเราจะใช้ฮาร์โมนิก ฟิลเตอร์

ก่อนอื่นเราจะมาพูดถึงฮาร์โมนิกที่เกิดจากคอนเวอร์เตอร์ ซึ่งคอนเวอร์เตอร์จะทำให้เกิดฮาร์โมนิกทางด้านระบบไฟฟ้ากระแสสลับ ขึ้นอยู่กับจำนวน พัลซ ของคอนเวอร์เตอร์ โดยทั่วไปจะมีฮาร์โมนิกลำดับ(Order)ต่างๆที่เกิดจากคอนเวอร์เตอร์ตามสูตร

$$Kn \pm 1 \text{ โดยที่ } n = 1, 2, 3, \dots$$

$$K = \text{จำนวนพัลซ}$$

เช่น บริดจ์คอนเวอร์เตอร์ (Bridge convertor) จำนวน พัลซ คือ 6 พัลซ

$$\text{จะได้ } K = 6$$

บริดจ์คอนเวอร์เตอร์ทำให้เกิดฮาร์โมนิกทางด้านไฟฟ้ากระแสสลับ จะมีฮาร์โมนิกคือ 5, 7, 11, 13... โดยฮาร์โมนิกเหล่านี้จะไปรบกวนสัญญาณขายนี้อันในระบบไฟฟ้ากระแสสลับทำให้สัญญาณไซน์ผิดเพี้ยน ส่วนฮาร์โมนิกที่เกิดจากคอนเวอร์เตอร์ด้านไฟฟ้ากระแสตรง จะมีลำดับดังนี้

$$Kn \text{ โดยที่ } n = 1, 2, 3, \dots$$

$$K = \text{จำนวนพัลซ}$$

เช่น บริดจ์คอนเวอร์เตอร์ จะมีฮาร์โมนิกที่เกิดขึ้นด้านไฟฟ้ากระแสตรง คือ ฮาร์โมนิกที่ 6 ฮาร์โมนิกที่ 12

เอกสารนี้เป็นเอกสารที่สงวนไว้สำหรับการใช้งานเพื่อการศึกษาเท่านั้น ไม่อนุญาตให้นำไปใช้ประโยชน์ด้านการค้าไม่ว่ากรณีใดๆ ทั้งสิ้น อีกทั้งห้ามมิให้ตัดแปลงเนื้อหาและต้องอ้างอิงถึงเจ้าของเอกสารทุกครั้งที่มีการนำไปใช้

วัตถุประสงค์ของการติดตั้งฟิลเตอร์ เพื่อที่จะลดขนาดกระแสฮาร์โมนิก หรือแรงดันฮาร์โมนิก ออกจากระบบไฟฟ้าที่ความถี่เดียว หรือหลายๆความถี่ ซึ่งอาจมีผลกระทบต่ออุปกรณ์ต่างๆ เช่น หม้อแปลง, เครื่องจักรกล, คาปาซิเตอร์แรงครีเลย์, มอเตอร์ เป็นต้น

การออกแบบฟิลเตอร์

การที่เราใช้ฟิลเตอร์ในการก

ยากในทางปฏิบัติ ปัญหานี้จะถูกกำหนดโดยมีการตั้งมาตรฐานฮาร์โมนิกในระบบไฟฟ้าซึ่งพื้นฐานในการกำหนดมาตรฐานฮาร์โมนิก จะกำหนดมาตรฐานแรงดันฮาร์โมนิกให้อยู่ในเกณฑ์ที่จำกัด เพื่อต่อการออกแบบฟิลเตอร์ ส่วนใหญ่ฟิลเตอร์ที่ใช้ ในการกำจัดฮาร์โมนิกจะใช้แบบชัณฑ์ฟิลเตอร์(Shunt filter) ซึ่งมีหลายชนิด แต่ที่นิยมใช้กันคือ ฟิลเตอร์ ความถี่เดียว(Single tuned filter) และฟิลเตอร์หลายความถี่(High passed filter)

4.5.1 ฟิลเตอร์ความถี่เดียว (single tuned filter)

ลักษณะของซิงเกิลจูนฟิลเตอร์

- มีอิมพีแดนซ์ต่ำที่ความถี่จูน ทำให้กระแสฮาร์โมนิกที่ความถี่นี้ไหลผ่านฟิลเตอร์เกือบทั้งหมด
- อิมพีแดนซ์จะมีค่าเพิ่มขึ้นเมื่อความถี่นั้นมีค่ามากกว่าความถี่จูนอิมพีแดนซ์ของซิงเกิลจูนฟิลเตอร์จะเกิดเรโซแนนซ์อนุกรมขึ้นในตัว ฟิลเตอร์ดังกล่าว

$$Z = R + j\omega L - \frac{j}{\omega C}$$

สภาวะเรโซแนนซ์

$$\omega_r L = \frac{1}{\omega_r C}$$

เมื่อ

$$f_r = \frac{1}{2\pi\sqrt{LC}}$$

เมื่อ ω_r คือ ความถี่เชิงมุมที่เกิดเรโซแนนซ์ภายในตัวฟิลเตอร์ ค่า Quality factor(Q) คือค่าที่บอกรูปร่าง ความชันของผลตอบสนองความถี่จูนซึ่งค่า Q นิยามโดย

เอกสารนี้เป็นเอกสารที่สงวนไว้สำหรับการใช้ในเฉพาะการศึกษาเท่านั้น ไม่นอนุญาตให้นำไปใช้ประโยชน์ด้านการค้า
ไม่ว่ากรณีใดๆ ทั้งสิ้น อีกทั้งห้ามมิให้ตัดแปลงเนื้อหาและต้องอ้างอิงถึงเจ้าของเอกสารทุกครั้งที่มีการนำไปใช้

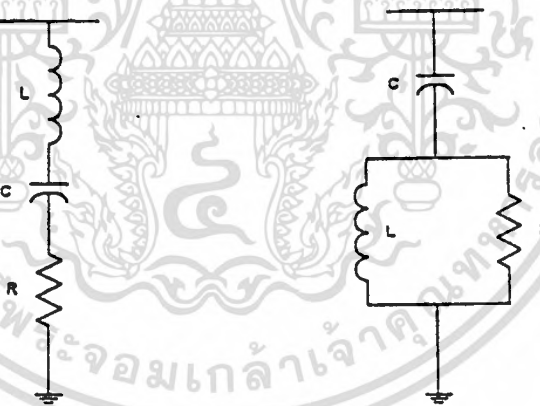
4.5.2 ฟิลเตอร์หลายความถี่ (High passed filter)

เป็นฟิลเตอร์ที่มีอิมพีแดนซ์สูงที่ความถี่ต่ำ และอิมพีแดนซ์ต่ำที่ความถี่สูง เพื่อลดจำนวนฟิลเตอร์ความถี่เดียวที่ต้องใช้ เนื่องจากอิมพีแดนซ์ต่ำที่ความถี่สูงจึงต้องรับกระแสที่เกิดขึ้นเกือบทั้งหมด ทำให้ฟิลเตอร์มีขนาดใหญ่มาก ในการออกแบบจะใช้แบบอันดับสอง (Second - order) ซึ่งเป็นแบบที่นิยมกันมาก เพราะสูญเสีย้น้อย และมีลักษณะของฟิลเตอร์ที่ดี อิมพีแดนซ์ของฟิลเตอร์แบบหลายความถี่อันดับสองคือ

$$Z = \frac{1}{j\omega C} + \frac{1}{\frac{1}{R} + \frac{1}{j\omega L}}$$

ค่า Q ของ ฟิลเตอร์ที่จะให้ได้

$$Q = \frac{R}{XL_r} = \frac{R}{XC_r}$$



รูปที่ 4.5 แสดงชนิดของฟิลเตอร์ ก. แบบความถี่เดียว ข. แบบหลายความถี่

ในแบบจำลองนี้เราจะจัดสร้าง ดิจิทัลฟิเตอร์ได้ดังนี้ คือในการกำจัด ฮาร์โมนิคบนดิจิตอลจะอาศัยหลักการเรโซแนนซ์ โดยการจูนความถี่ที่ไม่ต้องการออกไปจากระบบ โดยผ่านลงกราวนด์ ในระบบส่งกำลังไฟฟ้ากระแสตรง เอพาร์ทของคอนเวอร์เตอร์จะมีค่า ฮาร์โมนิคลำดับที่ 6,12,18...

เอกสารนี้เป็นเอกสารที่สงวนไว้สำหรับการใช้งานเพื่อการศึกษาเท่านั้น ไม่อนุญาตให้นำไปใช้ประโยชน์ด้านการค้า ไม่ว่าจะกรณีใดๆ ทั้งสิ้น อีกทั้งห้ามมิให้ตัดแปลงเนื้อหาและต้องอ้างอิงถึงเจ้าของเอกสารทุกครั้งที่มีการนำไปใช้

ในสถานะเรโซแนนซ์

$$XL = XC$$

$$2\pi f_r L = \frac{1}{2\pi f_r C}$$

แต่เราต้องการกำจัดฮาร์โมนิกที่ 6 $f_r = 6f$ เมื่อ $f = 50\text{Hz}$ $f_r = 300\text{Hz}$
 เลือกค่า $C_6 = 20 \mu\text{F}$

$$L_6 = \frac{1}{(2\pi f_r)^2 \times C}$$

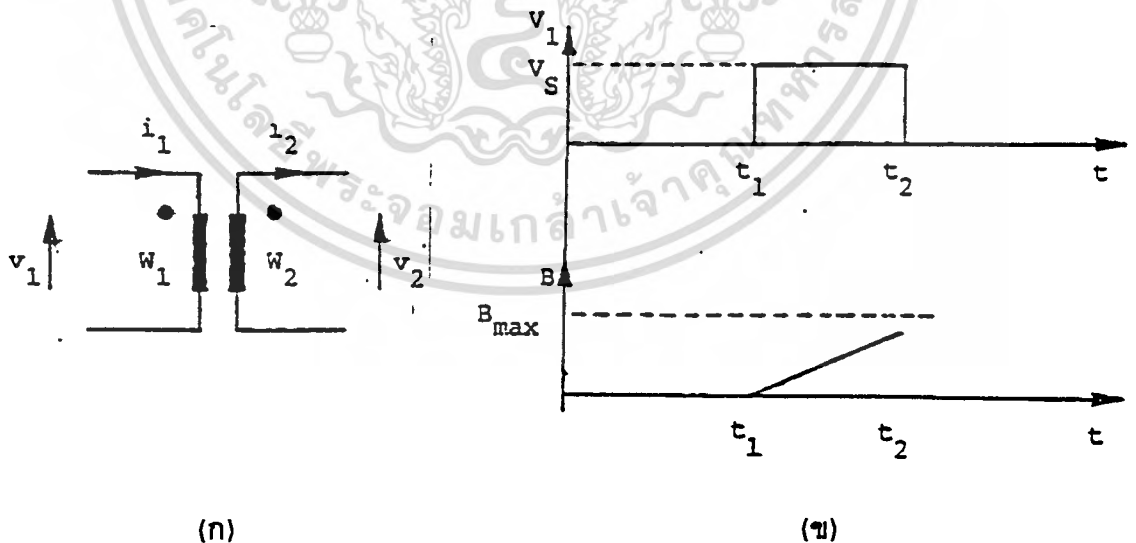
$$L_6 = \frac{1}{(2\pi \times 300)^2 \times 20 \times 10^{-6}}$$

$$L_6 = 14.07\text{mH}$$

ดังนั้นอินดักเตอร์ฮาร์โมนิกที่จะต้องสร้างมีค่าเท่ากับ 14.07mH

4.6 การออกแบบและการสร้างหม้อแปลงสัญญาณกระตุ้น

หม้อแปลงที่ใช้แปลงสัญญาณกระตุ้นจะเลือกใช้ หม้อแปลง EI แกนเฟอร์ไรต์ หม้อแปลงสัญญาณกระตุ้นที่สร้างขึ้นจะมี ลักษณะเดียวกันกับหม้อแปลงคักตาไฟฟ้าธรรมดาแสดงได้ดังรูปที่ 4.6 (ก)



รูปที่ 4.6 (ก) แสดงแผนผังหม้อแปลงสัญญาณกระตุ้น

(ข) แสดงรูปสัญญาณของสัญญาณกระตุ้นและรูปสัญญาณของค่าความหนาแน่นของสนามแม่เหล็ก

เอกสารนี้เป็นเอกสารที่สงวนไว้สำหรับการใช้งานเพื่อการศึกษาเท่านั้น มิอนุญาตให้拿去เผยแพร่ขายบนการค้านานาชาติ
 ไม่ว่ากรณีใดๆ ทั้งสิ้น อีกทั้งห้ามมีเหตุเปลี่ยนแปลงเนื้อหาและต้องอ้างอิงถึงเจ้าของเอกสารทุกครั้งที่มีการนำไปใช้

การคำนวณเริ่มต้นจากเงื่อนไขดังนี้คือ

ขดลวด W_1 ไม่มีกระแสไฟฟ้าไหลผ่านมาก่อน และ t_1 เป็นเวลานาน ดังนั้นความหนาแน่นของเส้นแรงแม่เหล็กภายในและหม้อแปลงจะเป็น

$$B = 0 \quad | \quad i_1 = 0, i_2 = 0, V_1 = 0, V_2 = 0 \quad (4-14)$$

และถ้าค่ากระแสไฟฟ้าแมกนีไทซิงค์ (Magnetising Current) มีค่าดังนี้

$$i_\mu \ll i_1, i_2 \quad (4-15)$$

สามารถประมาณได้ว่า

$$i_\mu \approx 0 \quad (4-16)$$

เมื่อมีสัญญาณกระตุ้นเข้ามา ศักดาไฟฟ้าที่ขดลวด W_1 จะเป็น

$$V_1 = V_s \quad | \quad t_1 \leq t \leq t_2 \quad (4-17)$$

ถ้ากำหนดให้ความต้านทานภายในของขดลวดมีค่าน้อยมาก

$$V_1 = V_s = W_1 \frac{d\phi}{dt} \quad (4-18)$$

$$V_1 = W_1 A \frac{dB}{dt} \quad (4-19)$$

ค่า A สามารถวัดได้จากพื้นที่หน้าตัดแกนเฟอร์ไรต์จริง

เอกสารนี้เป็นเอกสารที่สงวนไว้สำหรับการใช้งานเพื่อการศึกษาเท่านั้น ไม่อนุญาตให้นำไปใช้ประโยชน์ด้านการค้า ไม่ว่าจะกรณีใดๆ ทั้งสิ้น อีกทั้งห้ามมิให้ตัดแปลงเนื้อหาและต้องอ้างอิงถึงเจ้าของเอกสารทุกครั้งที่มีการนำไปใช้

จากสมการ (4-19) จะได้สมการใหม่คือ

$$B = B_0 + \frac{V_s (t_2 - t_1)}{W_1 A} \quad (4-20)$$

ถ้า B_0 ในสมการ (4-20) สามารถทำให้หมดไปโดยการทำให้แกนลดสภาพการเป็นแม่เหล็ก (Demagnetizing) ดังนั้นสามารถเขียนสมการใหม่ได้เป็น

$$B = \frac{V_s}{W_1 A} \Delta t \quad \Delta t = t_2 - t_1 \quad (4-21)$$

และสมการของจำนวนขดลวดทางปฐมภูมิ (Primary winding) คือ

$$W_1 = \frac{V_s \Delta t}{BA} \quad (4-22)$$

ข้อสำคัญอย่างหนึ่งซึ่งต้องพิจารณาคือ เมื่อพิจารณารูปสัญญาณของสมการ (4-22) ดังรูปที่ 4.6(ข) ค่า B ของสมการนี้จะต้องไม่เกินค่า B สูงสุด (B_{MAX}) มิฉะนั้นจะทำให้แกนของหม้อแปลงอิ่มตัว ดังนั้น สมการการคำนวณจำนวนขดลวดทางปฐมภูมิ คือ

$$W_1 \geq \frac{V_s \Delta t}{B_{MAX} A} \quad (4-23)$$

สมการ จำนวนขดลวดทุติยภูมิ คือ

$$W_2 = \frac{V_2}{V_1} W_1 \quad (4-24)$$

ในโครงงานนี้ ใช้ หม้อแปลงแกนเฟอร์ไรต์ มีค่าต่าง ๆ ดังนี้

$$B_{MAX} = 0.2 \text{ Wb/m}^2 \quad V_2 = 4 \text{ Volt}$$

$$A = 10 \times 10^{-4} \text{ m}^2 \quad \Delta t = 20 \text{ ms}$$

$$V_1 = 2 \text{ Volt}$$

เอกสารนี้เป็นเอกสารที่สงวนไว้สำหรับใช้งานเพื่อการศึกษาเท่านั้น ไม่อนุญาตให้นำไปใช้ประโยชน์ด้านการค้า ไม่ว่าจะกรณีใดๆ ทั้งสิ้น อีกทั้งห้ามมิให้ตัดแปลงเนื้อหาและต้องอ้างอิงถึงเจ้าของเอกสารทุกครั้งที่มีการนำไปใช้

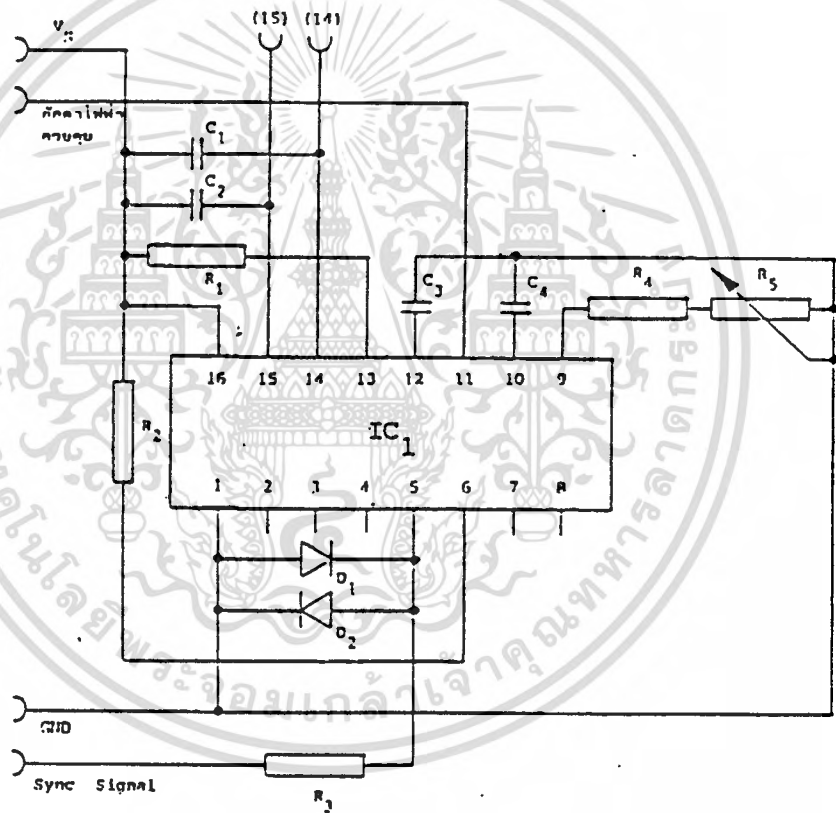
จะสามารถหาจำนวนรอบทางด้านปฐมภูมิของหม้อแปลงสัญญาณกระตุ้นได้จากสมการ (4-23)

$$W_1 = \frac{2 \times 20 \times 10^{-3}}{0.2 \times 10 \times 10^{-4}} = 200 \text{ รอบ}$$

และสามารถหาจำนวนรอบทางด้านทุติยภูมิของหม้อแปลงสัญญาณกระตุ้นได้จากสมการ(4-24)

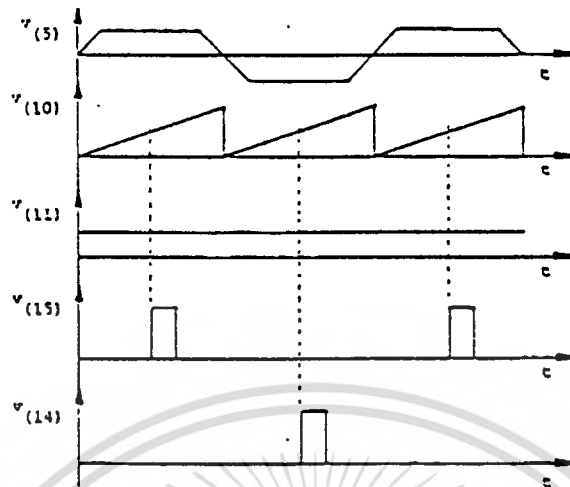
$$W_2 = \frac{4 \times 200}{2} = 400 \text{ รอบ}$$

4.7 วงจรส่วนสร้างสัญญาณกระตุ้น



(ก)

เอกสารนี้เป็นเอกสารที่สงวนไว้สำหรับการใช้งานเพื่อการศึกษาเท่านั้น ไม่อนุญาตให้นำไปใช้ประโยชน์ด้านการค้า ไม่ว่าจะกรณีใดๆ ทั้งสิ้น อีกทั้งห้ามมิให้ตัดแปลงเนื้อหาและต้องอ้างอิงถึงเจ้าของเอกสารทุกครั้งที่มีการนำไปใช้



(ข)

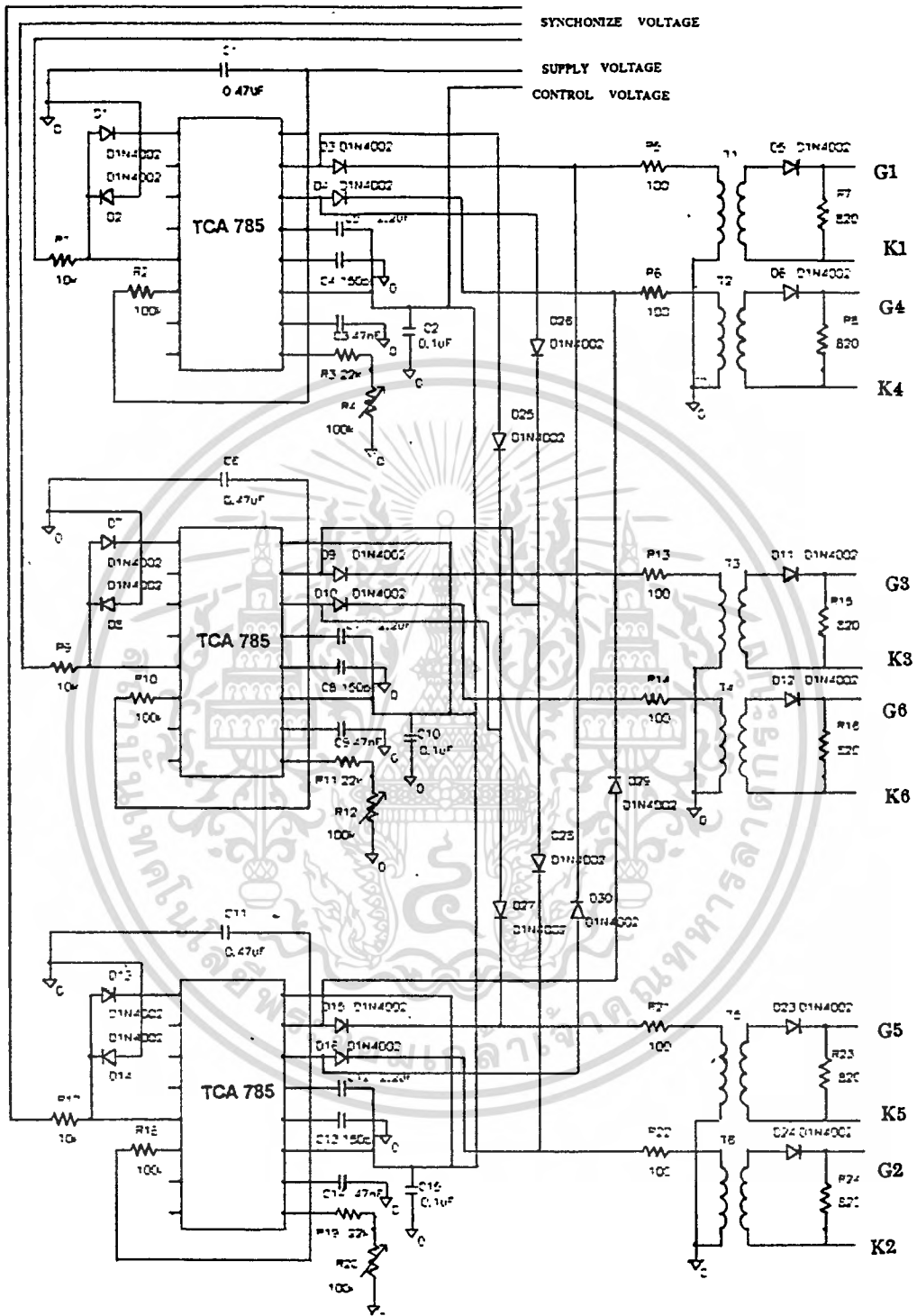
รูปที่ 4.7 (ก) แสดงวงจรสัญญาณกระตุ้น

(ข) แสดงรูปสัญญาณศักดาไฟฟ้าที่ขาต่าง ๆ ของ IC ในวงจร 4.7 (ก)

วงจรสร้างสัญญาณกระตุ้นดังแสดงในรูปที่ 4.7 (ก) มีการทำงานดังนี้คือ สัญญาณศักดาไฟฟ้าสลับ ซึ่งจะถูกป้อนเข้าที่ขา (5) ของ IC และ IC จะนำสัญญาณนี้มาสร้างเป็นสัญญาณแรมป์ (Ramp Signal) ซึ่งสัญญาณนี้จะแสดงออกมาที่ขา (10) ต่อมาสัญญาณนี้จะถูกนำไปเปรียบเทียบกับศักดาไฟฟ้าตรงที่ขา (11) ซึ่งศักดาไฟฟ้านี้จะถูกเรียกว่า ศักดาไฟฟ้าควบคุม จุดซึ่งศักดาไฟฟ้าควบคุมและสัญญาณแรมป์ตัดกันจะทำให้เกิดสัญญาณกระตุ้นออกมาที่ขา (15) และ (14) โดยที่ขา (15) นั้นสัญญาณกระตุ้นจะมีเฟสเดียวกับศักดาไฟฟ้าสลับที่ขา (5) แต่ที่ขา (14) จะเลื่อนเฟสไป 180 องศา ดังนั้นถ้าศักดาไฟฟ้าควบคุมเปลี่ยนแปลงไปมุมกระตุ้นก็จะเปลี่ยนแปลงไปด้วย ในโครงงานนี้กำหนดความสูงของสัญญาณแรมป์เป็น 10 โวลต์ ช่วงของมุมกระตุ้นก็จะเป็น 0 องศา ถึง 180 องศา โดยการปรับศักดาไฟฟ้าควบคุมที่ขา (11)

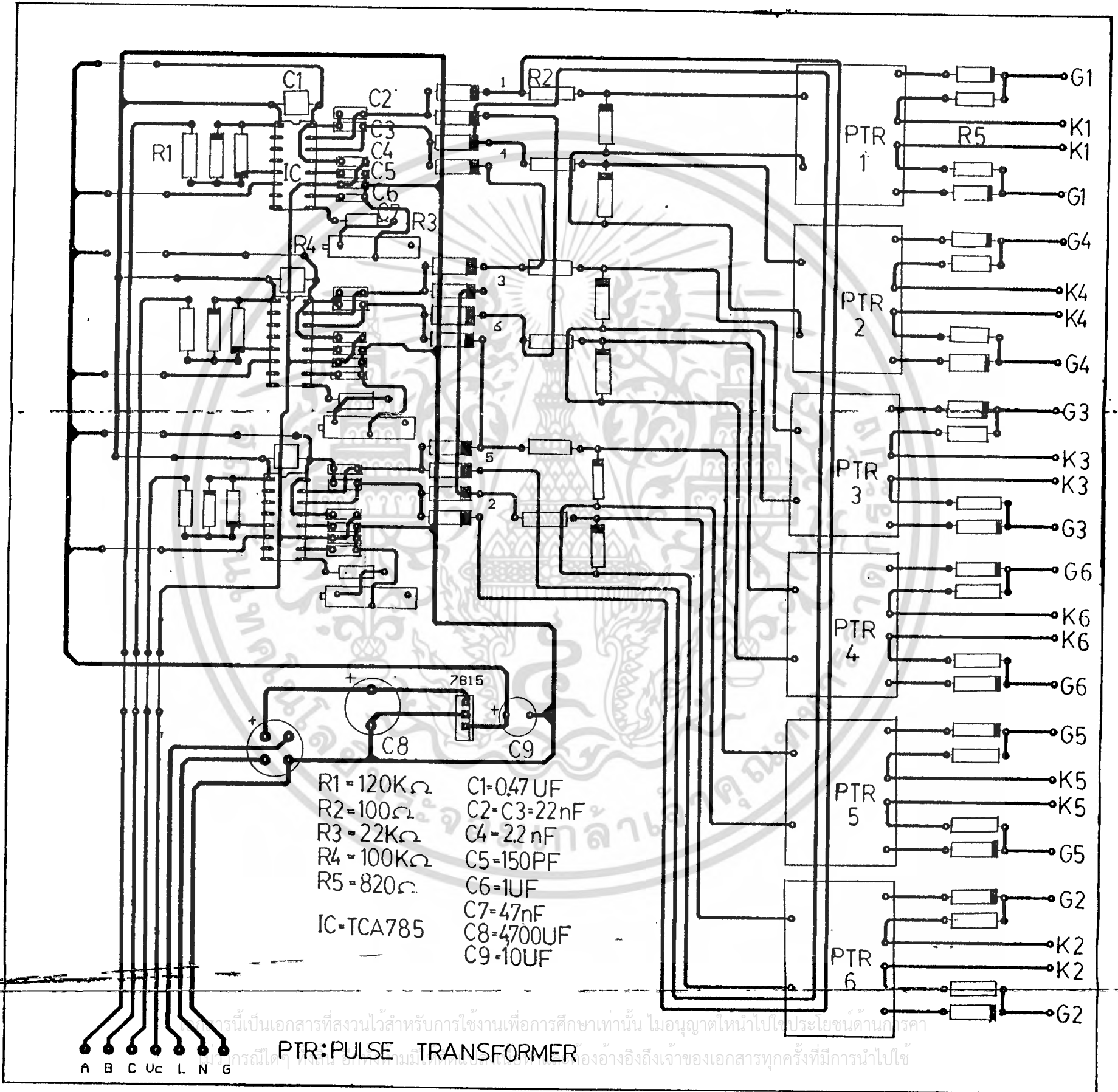
ในโครงงานนี้ต้องการใช้สัญญาณกระตุ้น 3 ชุด ที่มีเฟสต่างกัน 120 องศาในแต่ละชุด สามารถทำได้โดย เอาสัญญาณศักดาไฟฟ้าสลับของแต่ละเฟสป้อนเข้าที่ ขา (5) ของ IC แต่ละชุด โดยต่อผ่านความต้านทานค่าสูง ๆ เพื่อลดศักดาไฟฟ้าให้ป้อนเข้าที่ขา (5) ของ IC ให้มีค่าศักดาน้อยลงเมื่อปรับศักดาไฟฟ้าควบคุมที่ขา (11) จะได้มุมทริกเฮลเซียร์ที่มีการเลื่อนเฟสไปพร้อม ๆ กันทั้ง 3 ชุด โดยลักษณะการต่อวงจรตามรูปที่ 4.8

เอกสารนี้เป็นเอกสารที่สงวนไว้สำหรับการใช้งานเพื่อการศึกษาเท่านั้น ไม่อนุญาตให้นำไปใช้ประโยชน์ด้านการค้า ไม่ว่าจะกรณีใดๆ ทั้งสิ้น อีกทั้งห้ามมิให้ตัดแปลงเนื้อหาและต้องอ้างอิงถึงเจ้าของเอกสารทุกครั้งที่มีการนำไปใช้



รูปที่ 4.8 ลักษณะการต่อวงจรสัญญาณกระตุ้น 3 ชุด ให้เรียงลำดับเฟสกันตามสัญญาณป้อนเข้า

เอกสารนี้เป็นเอกสารที่สงวนไว้สำหรับการใช้งานเพื่อการศึกษาเท่านั้น ไม่อนุญาตให้นำไปใช้ประโยชน์ด้านการค้า ไม่ว่าจะกรณีใดๆ ทั้งสิ้น อีกทั้งห้ามมิให้ตัดแปลงเนื้อหาและต้องอ้างอิงถึงเจ้าของเอกสารทุกครั้งที่มีการนำไปใช้



รูปที่ 4.9 แสดงแผ่นลายทองแดงขนาดเท่าของจริงของวงจรจุดชนวน 3 ϕ บริดจ์คอนเวอร์เตอร์

บทที่ 5

การทดลองและผลการทดลอง

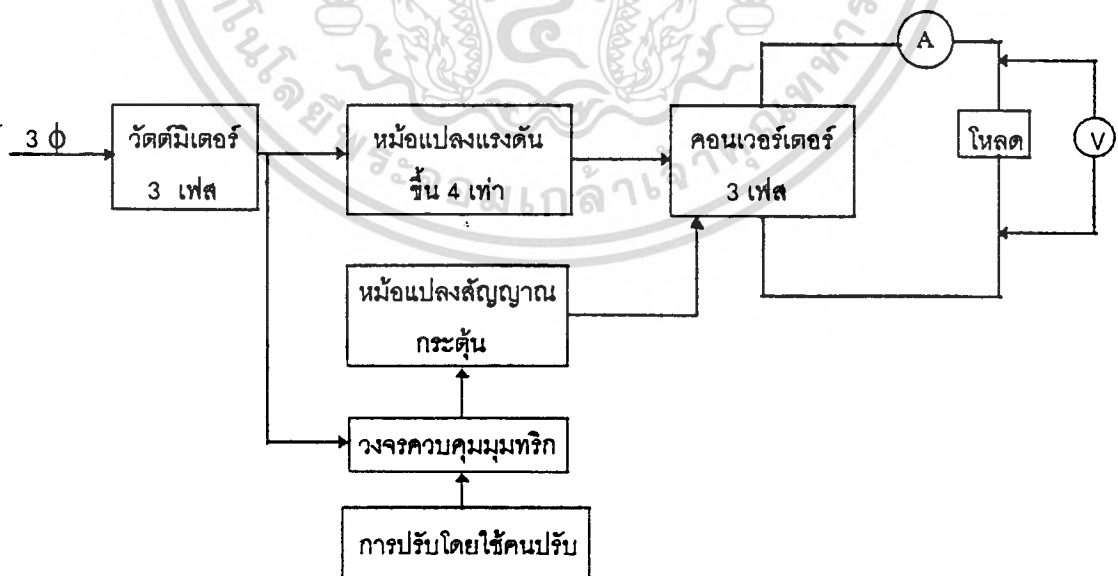
จากหลักการต่างๆทั้งหมดที่กล่าวมาตั้งแต่ต้น จะสามารถนำเอาคอนเวอร์เตอร์ทั้งสองมาต่อรวมกันเพื่อใช้ในการถ่ายเทพลังงานระหว่าง 2 สถานีใดๆได้ และได้ทำการทดลองคุณสมบัติและประสิทธิภาพ ของชุด คอนเวอร์เตอร์ดังนี้

5.1 การทดลองหาคุณสมบัติต่างๆของคอนเวอร์เตอร์

โดยทำงานในโหมดเรกติฟายเออร์เป็นการทดลองเพื่อหาคุณสมบัติต่างๆของชุดจำลองว่าจะได้ผลตามทฤษฎีที่ได้ศึกษามาหรือไม่

วิธีการทดลอง

1. ต่อดังรูปที่ 5.1 จ่ายไฟ 3 ϕ ที่พิคัดคักดา 200 โวลท์เข้าที่ชุดคอนเวอร์เตอร์
2. ใช้โหลดเป็นรีซิสเตอร์
3. ปรับมุมทริกที่ค่าต่างๆตามตาราง
4. บันทึกค่าโวลท์เดจและกระแสเอาต์พุต V_{∞} , I_{∞} ที่มุมทริกค่าต่างๆ
5. นำค่าต่างๆที่ได้จากการทดลอง คำนวณหาค่าประสิทธิภาพ และค่าริบเปิล



เอกสารนี้เป็นเอกสารที่สกรีนขึ้นสำหรับเอาไว้ใช้เพื่อการศึกษาเท่านั้น ไม่อนุญาตให้ไปใช้ประโยชน์ด้านการค้า
รูปที่ 5.1 แสดงการต่อวงจรทดลองในโหมดเรกติฟายเออร์
ไม่ว่ากรณีใดๆ ทั้งสิ้น อีกทั้งห้ามมิให้ดัดแปลงเนื้อหาและต้องอ้างอิงถึงเจ้าของเอกสารทุกครั้งที่มีการนำไปใช้

ค่าที่ได้จากการทดลองเมื่อโหลดเป็นความต้านทาน

โดยใช้โหลดไฟ 100 W อนุกรม 6 โหลด ต่อขนานกัน 2 ชุด

มุมทริก (องศา)	Vdc(mean) (โวลท์)	Idc (แอมป์)	Wdc (วัตต์)	Vdc(max) (โวลท์)	Vdc(min) (โวลท์)	Wac (วัตต์)	V _{L_r} (rms) (โวลท์)	I _{L_r} (rms) (แอมป์)	%Eff	%Ripple
27	1028	0.73	750.4	1100	1000	800	200	2.5	93.8	9.7
36	989	0.72	712.1	1100	850	760	200	2.49	93.6	25.3
45	943	0.7	660.1	1100	750	730	200	2.43	90.4	37.1
54	878	0.67	588.3	1100	600	660	200	2.36	89.1	56.9
63	798	0.64	510.7	1050	500	600	200	2.26	85.1	68.9
72	703	0.6	421.8	1000	400	500	200	2.14	84.4	85.3
81	597	0.55	328.4	950	250	440	200	1.96	74.6	117.3
90	470	0.47	220.9	900	100	350	200	1.76	63.1	170.2
99	236	0.31	73.2	680	0	240	200	1.52	30.5	288.1
108	182	0.29	52.8	620	0	180	200	1.29	29.3	340.6

ตารางบันทึกผลการทดลองหาประสิทธิภาพและริบเปิล

โดยที่

$$\%E_{ff} = \frac{W_{dc}}{W_{ac}}$$

$$\%Ripple = \frac{V_{dc(max)} - V_{dc(min)}}{V_{dc(mean)}}$$

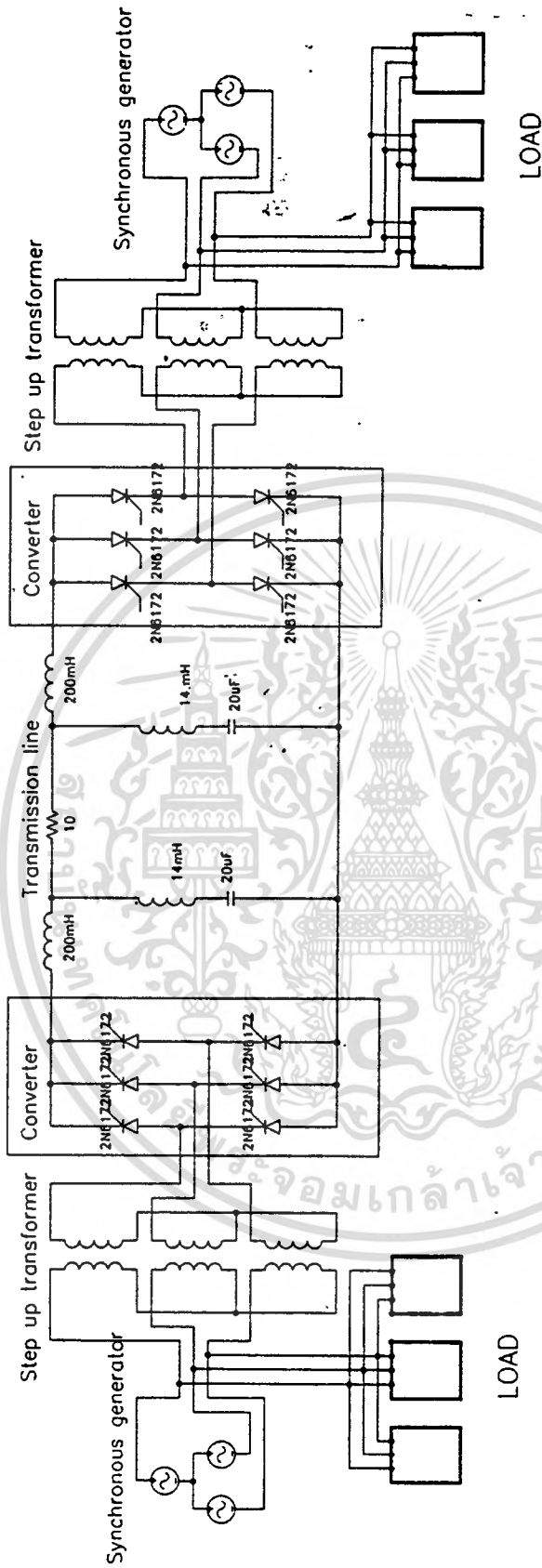
5.2 การทดลองทั้งระบบ

ลำดับขั้นตอนการทดลอง

1. เดินเครื่องกำเนิดไฟฟ้าตัวที่ 1 และ ตัวที่ 2 ให้มีพิกัดแรงดันที่ขั้วไลน์ทูไลน์ 120 V หลังจากนั้นกำหนดว่าจะให้ส่งกำลังไฟฟ้าไปตำแหน่งใด สมมติว่าจะให้ส่งกำลังไฟฟ้าจากเครื่องกำเนิดตัวที่ 1 ไปยังเครื่องกำเนิดตัวที่ 2

2. กดเซอร์กิตเบรกเกอร์ ต่อดวงจรหม้อแปลงด้านเครื่องกำเนิดไฟฟ้าตัวที่ 2 กำหนดให้คอนเวอร์เตอร์ด้านรับทำงานอยู่ในโหมดอินเวอร์ชัน ซึ่งมีย่านของมุมจุดชนวนอยู่ในช่วง $90^\circ \leq \alpha_2 \leq 180^\circ$

โดยการทดลองนี้จะกำหนดมุมจุดชนวนอยู่ประมาณ 180° ก่อน
ไม่ว่ากรณีใดๆ ทั้งสิ้น อีกทั้งห้ามมิให้ตัดแปลงเนื้อหาและต้องอ้างอิงถึงเจ้าของเอกสารทุกครั้งที่มีการนำไปใช้



รูปที่ 5.2 วงจรการทดลองส่งกำลังไฟฟ้ากระแสตรง

เอกสารนี้เป็นเอกสารที่สงวนไว้สำหรับการใช้งานเพื่อการศึกษาเท่านั้น ไม่อนุญาตให้นำไปใช้ประโยชน์ด้านการค้า
ไม่ว่ากรณีใดๆ ทั้งสิ้น อีกทั้งห้ามมิให้ดัดแปลงเนื้อหาและต้องอ้างอิงถึงเจ้าของเอกสารทุกครั้งที่มีการนำไปใช้

3. หลังจากนั้นกดเซอร์กิตเบรกเกอร์ ด้านเครื่องกำเนิดไฟฟ้าตัวที่ 1 และปรับมุมจุดชนวนของคอนเวอร์เตอร์ให้ทำงานอยู่ในโหมดเรกติฟายเออร์ โดยมีมุมจุดชนวนอยู่ในช่วง $0 \leq \alpha_2 \leq 90^\circ$ แต่ในการทดลองจะปรับให้มุมจุดชนวนอยู่ในช่วง $18^\circ - 20^\circ$ เนื่องจากถ้ามุมจุดชนวนต่ำกว่านี้จะทำให้อัตราเปลี่ยนแปลงของแรงดัน $\frac{dv}{dt}$ สูงมากส่งผลให้การจุดชนวนผิดพลาด (misfire)

4. หลังจากนั้นเริ่มปรับมุมจุดชนวนของคอนเวอร์เตอร์ด้านรับจากเดิม ที่ 180° ให้ลดลงเรื่อยๆ เมื่อคอนเวอร์เตอร์เริ่มนำกระแสการทดลองจะเริ่มถ่ายพลังงาน ในการปรับควรทำอย่างช้าๆ เพราะถ้าปรับลดลงอย่างรวดเร็วจะทำให้แรงดันที่ขั้วคอนเวอร์เตอร์บน ดี.ซี.ไลน์ ของคอนเวอร์เตอร์ทั้งสองต่างกันมากกระแสจะเพิ่มขึ้นอย่างรวดเร็วทำให้เครื่องกำเนิดสั้นได้

หลังจากปรับมุมจุดชนวนลงมาอย่างช้าๆ จะเห็นว่าความเร็วของเครื่องกำเนิดไฟฟ้าด้านรับมีความเร็วเพิ่มขึ้นในทางตรงกันข้ามความเร็วของเครื่องกำเนิดด้านส่งจะลดลง และผลที่ตามมาคือแรงดันที่ขั้วของเครื่องกำเนิดไฟฟ้าลดลง เมื่อปรับมาถึงค่าหนึ่งจะเห็นว่าความเร็วของเครื่องกำเนิดไฟฟ้าด้านรับกำลังไฟฟ้ามีความเร็วเพิ่มขึ้นมาก จึงทำการกดสวิตช์ต่อโหลดด้านรับกำลังไฟฟ้าที่ส่งมาให้กับเครื่องกำเนิดไฟฟ้าด้านรับจะถ่ายไปสู่อะไหล่ที่ ส่งผลให้ความเร็วของเครื่องกำเนิดไฟฟ้าด้านรับตกลงทันที แต่ถ้าโหลดกำลังไฟฟ้าที่ส่งมานั้นไม่พอจ่ายโหลดจะทำให้เครื่องกำเนิดไฟฟ้าด้านรับต้องจ่ายโหลดส่วนนั้นด้วย ซึ่งจะทำให้ความเร็วรอบของเครื่องกำเนิดไฟฟ้าด้านรับตกลงไปมาก ข้อควรระวังคือไม่ควรจ่ายโหลดที่มีขนาดใหญ่เกินไปเพราะจะทำให้ความเร็วรอบของเครื่องกำเนิดไฟฟ้าด้านรับตกลงไปมากผล คือ เกิดความแตกต่างของแรงดันที่ขั้ว และกระแสบนดีซีไลน์ไหลเพิ่มขึ้นอย่างรวดเร็ว ทำให้การทำงานของเครื่องกำเนิดไฟฟ้าด้านส่งสั้นได้

หลังจากนั้นก็เริ่มปรับมุมจุดชนวนของคอนเวอร์เตอร์ด้านรับลงอีก จนความเร็วของเครื่องกำเนิดไฟฟ้าด้านรับสูงขึ้นเกินปกติก็ทำการจ่ายโหลดให้กับเครื่องกำเนิดไฟฟ้าด้านรับ จะทำให้ความเร็วรอบตกลง จึงปรับมุมจุดชนวนให้เครื่องกำเนิดไฟฟ้าด้านส่งถ่ายพลังงานมาให้ จะเห็นว่าเครื่องกำเนิดไฟฟ้าด้านส่งพลังงานความเร็วรอบจะตกลง และเครื่องกำเนิดด้านรับพลังงานความเร็วรอบจะเพิ่มขึ้นอีกเช่นเดิม

ตัวอย่างการคำนวณการจ่ายโหลด โดยคิดที่ค่าโหลดค่านึงจากการทดลอง

ด้านส่งกำลังไฟฟ้า(sending)

v_1 = แรงดันไฟฟ้าไลน์ทูไลน์ที่ขั้วของเครื่องกำเนิดไฟฟ้าด้านส่ง

i_1 = กระแสไฟฟ้าในสายที่ออกจากเครื่องกำเนิดไฟฟ้าด้านส่ง

Pf_1 = ตัวประกอบกำลังของเครื่องกำเนิดไฟฟ้าด้านส่ง

P_1 = กำลังไฟฟ้าที่ขั้วของเครื่องกำเนิดไฟฟ้าด้านส่ง

จากการทดลอง

$$v_1 = 108.47 \text{ V}$$

$$i_1 = 1.28 \text{ A}$$

$$Pf_1 = 0.78 \text{ leading}$$

$$P_1 = \sqrt{3} v_1 i_1 \cos \theta$$

$$P_1 = \sqrt{3} \times 108.47 \times 1.28 \times 0.78$$

$$P_1 = 187.5 \text{ watt}$$

บนสายส่งไฟฟ้ากระแสตรง(DC line)

V_{dc} = แรงเคลื่อนไฟฟ้ากระแสตรง

I_{dc} = กระแสไฟตรง

P_{dc} = กำลังไฟฟ้าที่ส่งไปบนสายส่งไฟฟ้ากระแสตรง

จากการทดลอง

$$V_{dc} = 484 \text{ V}$$

$$I_{dc} = 0.34 \text{ A}$$

$$P_{dc} = V_{dc} \times I_{dc}$$

$$P_{dc} = 484 \times 0.34$$

$$P_d = 164.56 \text{ watt}$$

เอกสารนี้เป็นเอกสารที่สงวนไว้สำหรับการใช้งานเพื่อการศึกษาเท่านั้น ไม่อนุญาตให้นำไปใช้ประโยชน์ด้านการค้า
ไม่ว่ากรณีใดๆ ทั้งสิ้น อีกทั้งห้ามมิให้ตัดแปลงเนื้อหาและต้องอ้างอิงถึงเจ้าของเอกสารทุกครั้งที่มีการนำไปใช้

ด้านรับกำลังไฟฟ้า(receiver)

v_2 = แรงดันไฟฟ้าไลน์ทูไลน์ที่ขั้วของเครื่องกำเนิดไฟฟ้าด้านรับ

v_L = แรงดันไฟฟ้าไลน์ทูไลน์ที่ขั้วโหลด

v_{Tr} = แรงดันไฟฟ้าไลน์ทูไลน์ที่ขั้วหม้อแปลง

i_2 = กระแสในสายส่งที่ขั้วของเครื่องกำเนิดไฟฟ้าด้านรับ

i_L = กระแสไฟฟ้าจ่ายโหลด

i_{Tr} = กระแสในสายส่งที่ขั้วหม้อแปลง

P_2 = กำลังไฟฟ้าวัตต์ที่ขั้วของเครื่องกำเนิดไฟฟ้าด้านรับ

P_L = กำลังไฟฟ้าวัตต์ที่ขั้วของโหลด

P_{Tr} = กำลังไฟฟ้าวัตต์ที่ขั้วหม้อแปลง

Pf_2 = ตัวประกอบกำลังวัตต์ที่ขั้วของเครื่องกำเนิดไฟฟ้าด้านรับ

$Pf_{(LOAD)}$ = ตัวประกอบกำลังวัตต์ที่ขั้วโหลด

$Pf_{(Tr)}$ = ตัวประกอบกำลังวัตต์ที่ขั้วหม้อแปลง

จากการทดลอง

$$i_2 = 1.46 \text{ A}$$

$$i_L = 1.9 \text{ A}$$

$$i_{Tr} = 0.98 \text{ A}$$

$$Pf_2 = 0.84 \text{ lagging}$$

$$Pf_{(LOAD)} = 1$$

$$Pf_{(Tr)} = 0.75 \text{ lagging}$$

และค่า $v_2 = v_L = v_{Tr} = 107 \text{ V}$

เอกสารนี้เป็นเอกสารที่สงวนไว้สำหรับการใช้งานเพื่อการศึกษาเท่านั้น ไม่อนุญาตให้นำไปใช้ประโยชน์ด้านการค้า
ไม่ว่ากรณีใดๆ ทั้งสิ้น อีกทั้งห้ามมิให้ตัดแปลงเนื้อหาและต้องอ้างอิงถึงเจ้าของเอกสารทุกครั้งที่มีการนำไปใช้

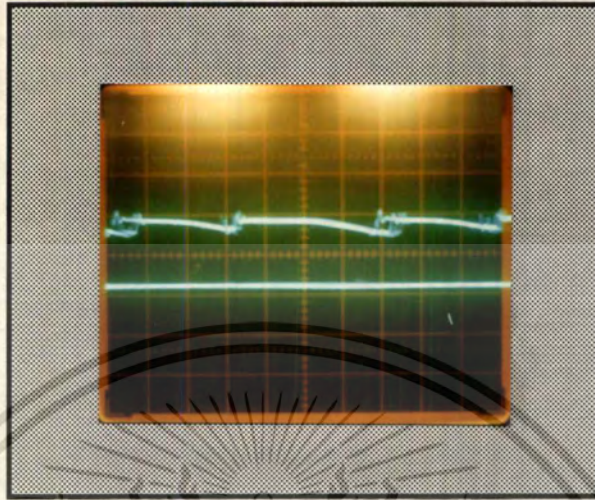
$$\begin{aligned}
 P_2 &= \sqrt{3} v_L i_L \cos\theta \\
 &= \sqrt{3} \times 107 \times 1.46 \times 0.84 \\
 &= 227.28 \text{ watt}
 \end{aligned}$$

$$\begin{aligned}
 P_L &= \sqrt{3} v_L i_L \cos\theta \\
 &= \sqrt{3} \times 107 \times 1.9 \times 1 \\
 &= 352 \text{ watt}
 \end{aligned}$$

$$\begin{aligned}
 P_{Tr} &= \sqrt{3} v_L i_L \cos\theta \\
 &= \sqrt{3} \times 107 \times 0.98 \times 0.75 \\
 &= 136.21 \text{ watt}
 \end{aligned}$$

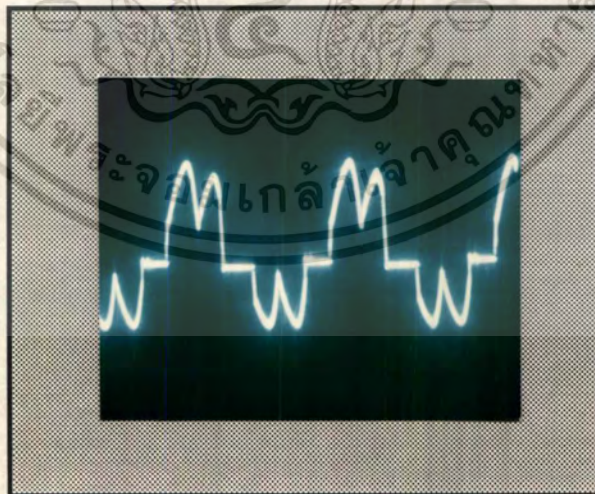
$$\begin{aligned}
 P_{Tr} + P_2 &\geq P_L \\
 136.21 + 227.28 &\geq 352 \\
 363.5 &> 352
 \end{aligned}$$

∴ จะเห็นว่ากำลังไฟฟ้าจากเครื่องกำเนิดด้านส่งรวมกับ กำลังไฟฟ้าจากเครื่องกำเนิดด้านรับ จะต้องมามีค่ามากกว่ากำลังไฟฟ้าที่จ่ายให้โหลด และกำลังไฟฟ้าส่วนที่หายไปจะสูญเสียไปในระบบ ดังนั้นพอจะสรุปได้ว่าการทดลองนี้สามารถส่งถ่ายกำลังไฟฟ้ามาช่วยจ่ายโหลดให้กับ เครื่องกำเนิดไฟฟ้าอีกฝั่งได้จริง



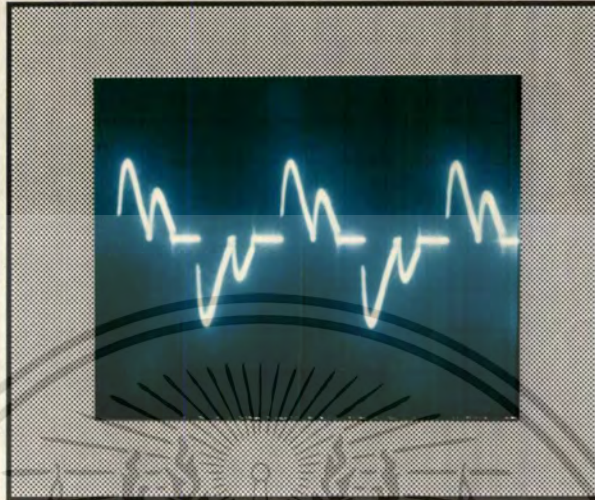
รูปที่ 5.3 แสดงรูปคลื่นแรงดันที่ขั้วคอนเวอเตอร์ขณะยังไม่ผ่านวงจรฟิลเตอร์(บน)
เปรียบเทียบกับแรงดันที่ขั้วคอนเวอเตอร์ขณะผ่านวงจรฟิลเตอร์(ล่าง)

โดยใช้สายโพรบ(Prob) $\times 100$; $\frac{5V}{div}$; $\frac{10ms}{div}$

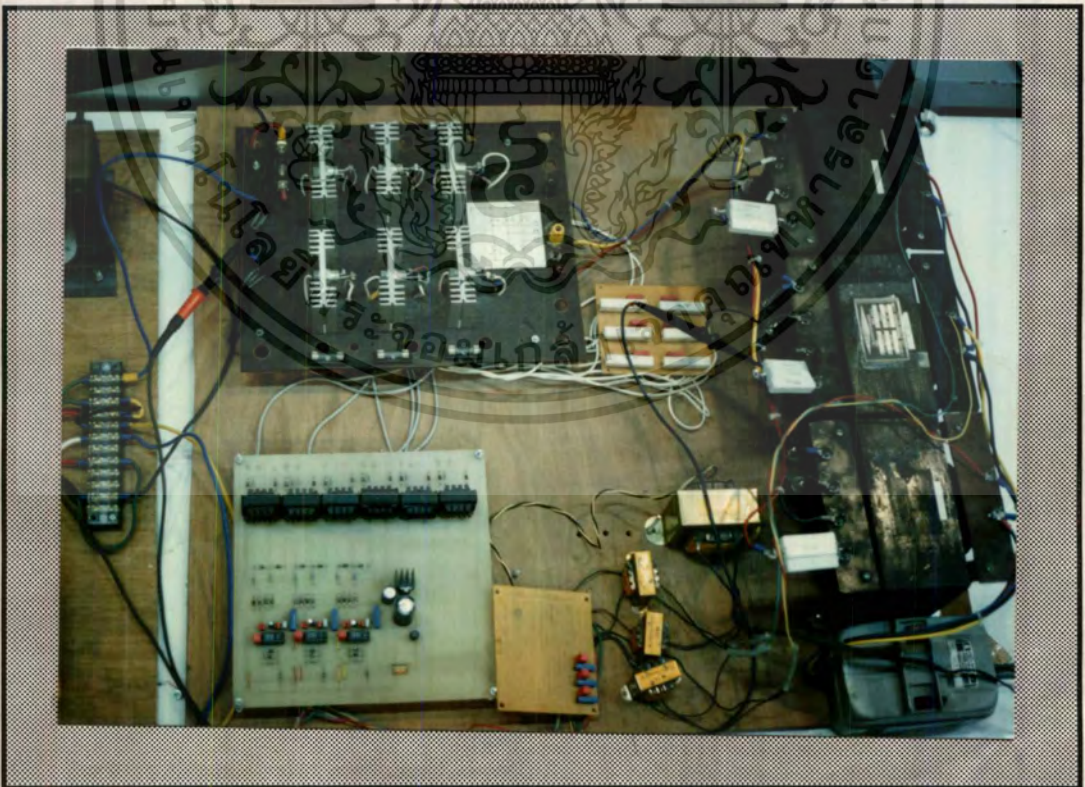


รูปที่ 5.4 แสดงรูปคลื่นกระแสด้านส่งกำลังไฟฟ้า

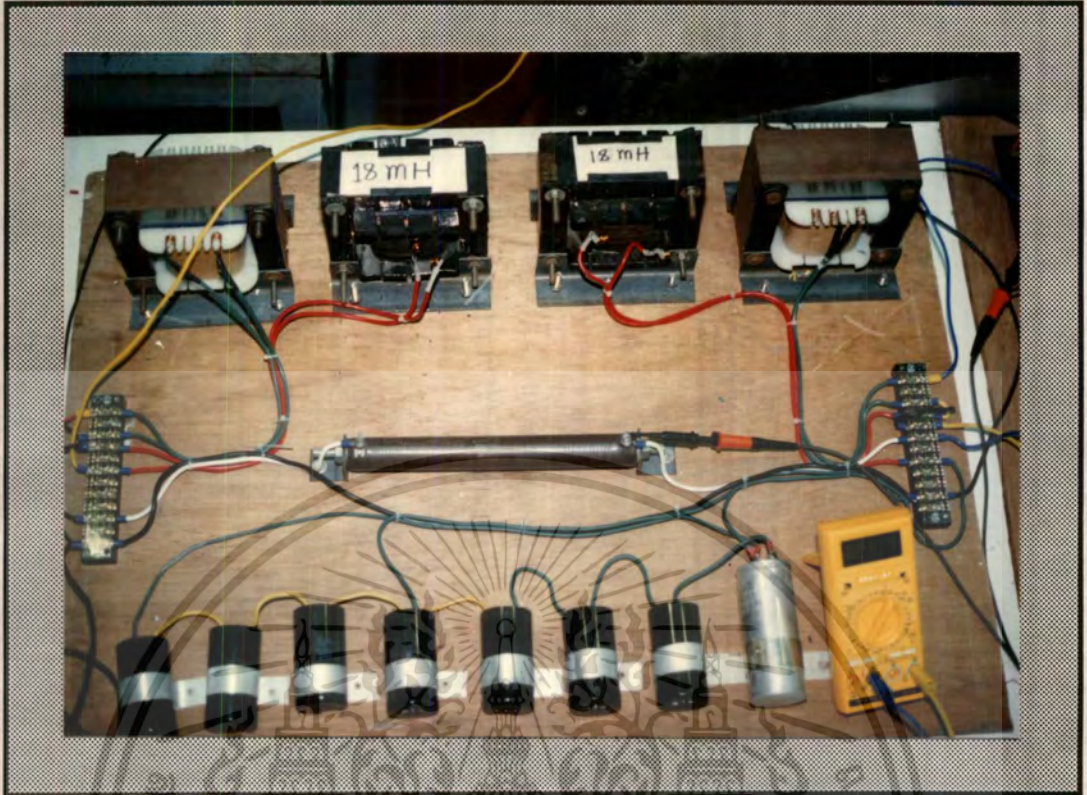
เอกสารนี้เป็นเอกสารที่สงวนไว้สำหรับการใช้งานเพื่อการศึกษาเท่านั้น ไม่นอนุญาตให้นำไปใช้ประโยชน์ด้านการค้า
ไม่ว่ากรณีใดๆ ทั้งสิ้น อีกทั้งห้ามมิให้ตัดแปลงเนื้อหาและต้องอ้างอิงถึงเจ้าของเอกสารทุกครั้งที่มีการนำไปใช้



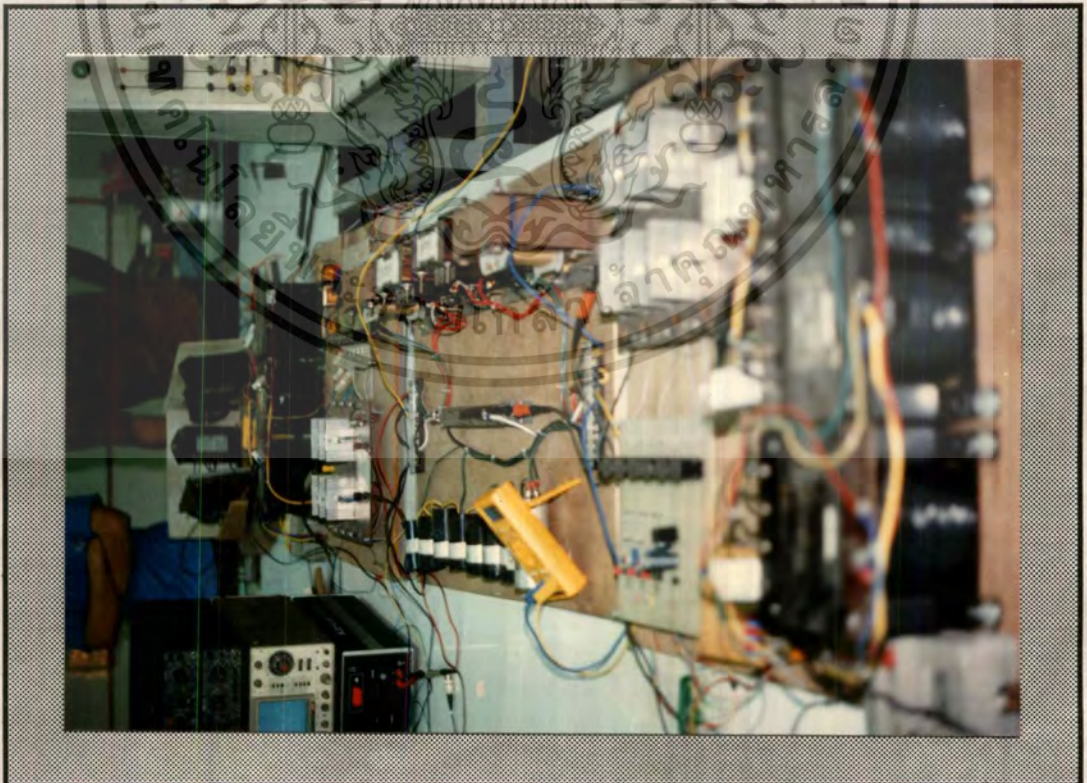
รูปที่ 5.5 แสดงรูปคลื่นกระแสต้านรับกำลังไฟฟ้า



เอกสารนี้เป็นเอกสารที่สงวนไว้สำหรับใช้ภายในเท่านั้น ไม่ให้นำไปใช้ประโยชน์ด้านการค้า
รูปที่ 5.6 แสดงชุดคอนเวอร์เตอร์แต่ละด้าน
ไม่ว่ากรณีใดๆ ทั้งสิ้น อีกทั้งห้ามมิให้ตัดแปลงเนื้อหาและต้องอ้างอิงถึงเจ้าของเอกสารทุกครั้งที่มีการนำไปใช้



รูปที่ 5.7 แสดงชุดฮาร์โมนิกฟิลเตอร์บนดีซีไลน์



เอกสารนี้เป็นเอกสารที่สงวนไว้สำหรับการใช้งานเพื่อการศึกษาเท่านั้น ไม่อนุญาตให้นำไปเผยแพร่ภายนอกการค
รูปที่ 5.8 แสดงระบบจำลองการส่งกำลังไฟฟ้ากระแส
 ไม่ว่าจะกรณีใดๆ ทั้งสิ้น อีกทั้งห้ามมิให้ดัดแปลงเนื้อหาและต้องอ้างอิงถึงเจ้าของเอกสารทุกครั้งที่มีการนำไปใช้

บทที่ 6

บทวิจารณ์และสรุป

ในการจำลองระบบส่งพลังงานไฟฟ้ากระแสตรงของปริญญาโทฉบับนี้ได้มุ่งเน้นสร้างคอนเวอร์เตอร์ทั้งภาครับ ภาคส่ง ฟิลเตอร์บนดิสไลน์ รีแอกเตอร์ และวงจรมุมจุดขนวน เป็นหลัก เพราะเป็นส่วนที่สำคัญของระบบ ในการจำลองการส่งถ่ายกำลังไฟฟ้าของระบบนี้จะใช้ซิงโครนัส เจเนอเรเตอร์ 2 ตัว และใช้มอเตอร์ไฟฟ้ากระแสตรงเป็นตัวต้นกำลังของเครื่องกำเนิดไฟฟ้าที่ใช้ในห้องทดลองของทางภาควิชา ซึ่งมีข้อเสียคือเมื่อจ่ายโหลดจะทำให้ความเร็วของตัวต้นกำลังลดลง ส่งผลทำให้แรงดันไฟฟ้าที่ขั้วลดลงและความถี่ของระบบเปลี่ยนแปลงทำให้วงจรควบคุมมุมจุดขนวนทำงานผิดพลาด รวมถึงกำลังไฟฟ้าที่เครื่องกำเนิดไฟฟ้าจ่ายออกมาเพื่อส่งให้กับสายส่งกำลังไฟฟ้ากระแสตรงไม่มากพอโดยที่ในขณะที่ทำการทดลองถ้าทำการปรับแรงดันที่ขั้วของเครื่องกำเนิดไฟฟ้าจะมีผลทำให้แรงดันบนดิสไลน์มีความแตกต่างกันมากเพราะแรงดันบนดิสไลน์ได้รับจากหม้อแปลง 1:4 มีผลทำให้กระแสบนดิสไลน์กระชากขึ้นสูงมาก ในส่วนนี้ถ้าสามารถควบคุมแรงดันและความเร็วรอบให้คงที่ได้ระบบจะดีขึ้น

และในส่วนชุดควบคุมนั้นยังใช้การควบคุมด้วยมือ(open-loop)ซึ่งจะมีผลทำให้การจ่ายกำลังไฟฟ้าที่ผ่านดิสไลน์ให้กับโหลดและการปรับมุมจุดขนวนไม่สัมพันธ์กันทำให้กระแสบนดิสไลน์กระชาก ในการทำการทดลองนั้นควรจะลดหรือเพิ่มมุมจุดขนวนอย่างช้าๆถ้ากระทำอย่างรวดเร็วอาจทำให้เกิดการลัดวงจรบนสายส่งไฟฟ้ากระแสตรงได้

สำหรับระบบจำลองที่สร้างขึ้นประสบความสำเร็จในระดับหนึ่งยังจะต้องทำการศึกษาปรับปรุงและพัฒนาในรายละเอียดที่ได้วิจารณ์ไว้ในส่วนที่ผ่านมา เช่นการนำระบบไมโครคอมพิวเตอร์เข้ามาควบคุมการส่งถ่ายกำลังไฟฟ้าทั้งระบบ และยังคงต้องรักษาความเร็วรอบและแรงดันของระบบต้นกำลังให้ได้ ซึ่งคาดว่าจะได้ผลใกล้เคียงกับระบบจริงมากยิ่งขึ้น



เอกสารนี้เป็นเอกสารที่สงวนไว้สำหรับการใช้งานเพื่อการศึกษาเท่านั้น ไม่อนุญาตให้นำไปใช้ประโยชน์ด้านการค้า
ไม่ว่ากรณีใดๆ ทั้งสิ้น อีกทั้งห้ามมิให้ตัดแปลงเนื้อหาและต้องอ้างอิงถึงเจ้าของเอกสารทุกครั้งที่มีการนำไปใช้

THYRISTORS



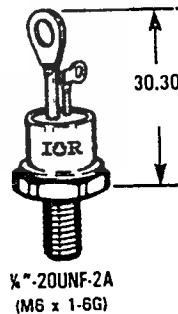
Part Number	VRRM V	I _{T(AV)} A	θ _{TC} °C	I _{TSM} (1)		I ² t (1)		VGT (2) V	IGT (2) mA	dV/dt (3) V/μs	R _{thJC} °C/KW	Package
				50Hz A	60Hz A	50Hz A ² s	60Hz A ² s					
10RIA10 10RIA20 10RIA40 10RIA60 10RIA80 10RIA100 10RIA120	100 200 400 600 600 1000 1200	10	85	190	200	180	165	2.0	60	300	1.85	TO-208AA (5)
16RIA10 16RIA20 16RIA40 16RIA60 16RIA80 16RIA100 16RIA120	100 200 400 600 800 1000 1200	16	85	285	300	405	375	2.0	60	300	1.15	TO-208AA (5)
22RIA10 22RIA20 22RIA40 22RIA60 22RIA80 22RIA100 22RIA120	100 200 400 600 800 1000 1200	22	85	335	355	560	515	2.0	60	300	0.85	TO-208AA (5)
25RIA10 25RIA20 25RIA40 25RIA60 25RIA80 25RIA100 25RIA120	100 200 400 600 800 1000 1200	25	85	350	370	615	560	2.0	60	300	0.75	TO-208AA (5)
50RIA10 50RIA20 50RIA40 50RIA60 50RIA80 50RIA100 50RIA120	100 200 400 600 800 1000 1200	50	94	1200	1255	7200	6560	2.0	100	500	0.35	TO-208AC (4) (5)

Notes

- (1) T_J = 125°C, 100% VRRM.
- (2) T_J = 25°C.
- (3) Exponential to 0.67V_{DRM}, T_J = 125°C.
Also available to 1000V/μs.
- (4) Available with flexible leads 200mm long.
To specify change '50' to '51' in Part Number. e.g. 51RIA80 etc.
- (5) Available with metric stud. To specify add 'M' to end of Part Number. e.g. 50RIA120M etc.

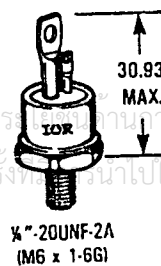
TO-208AA
(TO-48)

14.3 MAX.
ACROSS FLATS



TO-208AC
(TO-65)

17.35 MAX.
ACROSS FLATS



เอกสารนี้เป็นเอกสารที่สงวนไว้สำหรับการใช้งานเพื่อการศึกษาเท่านั้น ไม่นอนุญาตให้นำไปปรับใช้กับการค้า
ไม่ว่ากรณีใดๆ ทั้งสิ้น อีกทั้งห้ามมิให้ตัดแปลงเนื้อหาและต้องอ้างอิงถึงเจ้าของเอกสารนี้

Phase Control

TCA 785

Bipolar IC

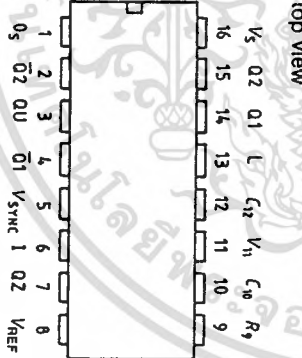
Type	Ordering code	Package
TCA 785	Q67000-A2321	P-DIP 16

This phase control IC is intended to control thyristors, triacs, and transistors. The trigger pulses can be shifted within a phase angle between 0° and 180°. Typical applications include converter circuits, AC controllers and three-phase current controllers. This IC replaces the previous types TCA 780 and TCA 780 D

Features

- Reliable recognition of zero passage
- Large application scope
- May be used as zero point switch
- LSL compatible
- Three-phase operation possible (3 ICs)
- Output current 250 mA
- Large ramp current range
- Large temperature range

Pin configuration



Pin	Symbol	Function
1	OS	Ground
2	Q2	Output 2 inverted
3	QU	Output U
4	Q1	Output 1 inverted
5	Vsync	Synchronous voltage
6	I	Inhibit
7	QZ	Output Z
8	Vref	Stabilized voltage
9	Rg	Ramp resistance
10	C10	Ramp capacitance
11	V11	Control voltage
12	C12	Pulse extension
13	L	Long pulse
14	Q1	Output 1
15	Q2	Output 2
16	V5	Supply voltage

Characteristics
 $8 \leq V_S \leq 18 \text{ V}; -25^\circ \text{C} \leq T_A \leq 85^\circ \text{C}; f = 50 \text{ Hz}$

Supply current consumption S1...S6 open $V_1 = 0 \text{ V}$ $C_{10} = 47 \text{ nF}; R_9 = 100 \text{ k}\Omega$	I_S	1	4.5	6.5	10	mA
Synchronization pin 5 Input current R_2 varied Offset voltage	$I_{5 \text{ max}}$ ΔV_5	1 4	30	30	200	μA mV
Control input pin 11 Control voltage range Input resistance	V_{11} R_{11}	1 5	0.2	15	$V_{10 \text{ peak}}$	V k Ω
Ramp generator Load current Max. ramp voltage Saturation volt. at capacitor Ramp resistance Sawtooth return time	I_{10} V_{10} V_{10} R_9 t_f	1 1.6 1 1 1	10 100 3	225 300	1000 $V_S - 2$ 350 300	μA V mV k Ω μs
Inhibit pin 6 switch-over of pin 7 Outputs disabled Signal transition time Input current $V_6 = 8 \text{ V}$ Input current $V_6 = 1.7 \text{ V}$	V_{6L} V_{6H} t_f t_{6H} I_{6H} I_{6L}	1 1 1 1 1 1	4 1 1 1 80	3.3 3.3	2.5 5 800 200	V V μs μA μA μA
Deviation of I_{10} $R_9 = \text{const.}$ $V_S = 12 \text{ V}; C_{10} = 47 \text{ nF}$	I_{10}	1	-5	5	20	%
Deviation of I_{10} $R_9 = \text{const.}$ $V_S = 8$ to 18 V Deviation of the ramp voltage between 2 following half-waves, $V_S = \text{const.}$	I_{10} $\Delta V_{10 \text{ max}}$	1 1	-20	± 1		% %

Characteristics
 $8 \leq V_S \leq 18 \text{ V}; -25^\circ \text{C} \leq T_A \leq 85^\circ \text{C}; f = 50 \text{ Hz}$

Long pulse switch-over pin 13 switch-over of S8 Short pulse at output Long pulse at output Input current $V_3 = 8 \text{ V}$ Input current $V_3 = 1.7 \text{ V}$	V_{13H} V_{13L} I_{13H} $-I_{13L}$	1 1 1 1	3.5 2.5 2.5 45	2.5 2.5 10 100	10 10 100	μA V V μA
Outputs pin 2, 3, 4, 7 Reverse current $V_O = V_S$ Saturation voltage $I_O = 2 \text{ mA}$	I_{CEO} V_{sat}	2.6 2.6	0.1	0.4	2	μA V
Outputs pin 14, 15 H output voltage $-I_O = 250 \text{ mA}$ L output voltage $I_O = 2 \text{ mA}$ Pulse width (short pulse) S9 open Pulse width (short pulse) with C_{12}	$V_{4/15H}$ $V_{4/15H}$ $V_{4/15L}$ t_p t_p t_p	3.6 2.6 2.6 1 1 1	$V_S - 3$ 0.3 20 530	$V_S - 2.5$ 0.8 30 620	$V_S - 1.0$ 2 40 760	V V V $\mu\text{s/nF}$
Internal voltage control Reference voltage Parallel connection of 10 ICs possible TC of reference voltage	V_{ref} α_{ref}	1 1	2.8 1	3.1 2×10^{-4}	3.4 5×10^{-4}	V 1/K

Application hints for external components

Ramp capacitance $C_{10} = 500 \text{ pF}$ min $1 \mu\text{F}^{1)}$ max

Triggering point $t_{tr} = \frac{V_{11} \times R_9 \times C_{10}}{V_{ref} \times K}$ $2)$

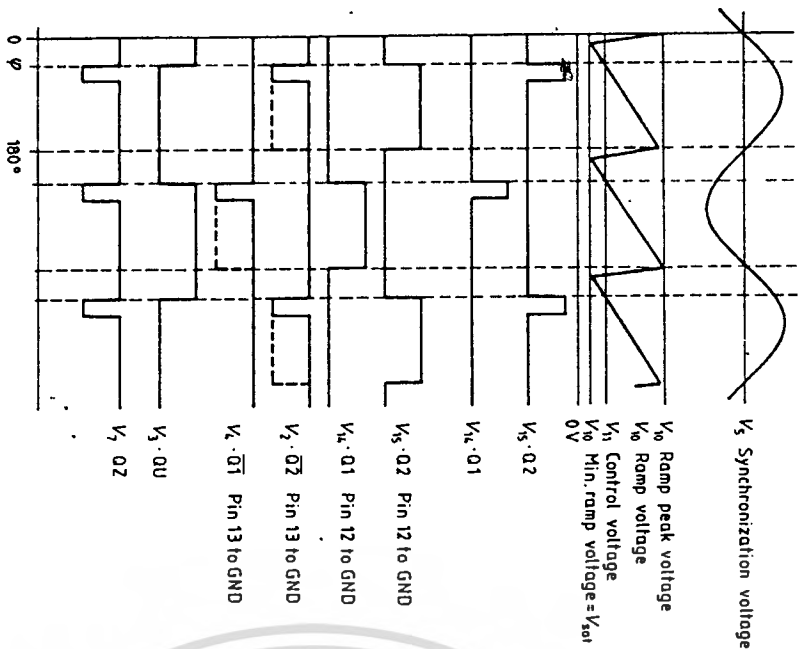
Charging current $I_{10} = \frac{V_{ref} \times K}{R_9}$ $2)$

The minimum and maximum values of I_{10} are to be observed

Ramp voltage $V_{10 \text{ max}} = V_S - 2 \text{ V}$ $V_{10} = \frac{V_{ref} \times K \times t}{R_9 \times C_{10}}$ $2)$

1) Attention to flyback times
 2) $K = 1.10 \pm 20\%$

Pulse diagram



Maximum ratings

- Supply voltage
- Output current at pin 14, 15
- Inhibit voltage
- Control voltage
- Voltage short-pulse circuit
- Synchronization input current
- Output voltage at pin 14, 15
- Output current at pin 2, 3, 4, 7
- Output voltage at pin 2, 3, 4, 7

- Junction temperature
- Storage temperature
- Thermal resistance (system-air)
- Operating range
- Supply voltage
- Operating frequency
- Ambient temperature

	Lower limit B	Upper limit A
V_s	-0.5V	18V
I_o	-10mA	400mA
V_6	-0.5V	V_s
V_{11}	-0.5V	V_s
V_{13}	-0.5V	V_s
I_s	-200mA	± 200 mA
V_o	V_s	V_s
I_o	10mA	10mA
V_o	V	V
T_j		125°C
T_{stg}		125°C
R_{thsa}		80 K/W

V_s	8V	18V
f	10Hz	500Hz
T_A	-25°C	85°C



เอกสารนี้เป็นเอกสารที่สงวนไว้สำหรับการใช้งานเพื่อการศึกษาเท่านั้น ไม่อนุญาตให้แก้ไขหรือเผยแพร่โดยไม่ได้รับอนุญาต
 ไม่ว่ากรณีใดๆ ทั้งสิ้น อีกทั้งห้ามมิให้ตัดแปลงเนื้อหาและต้องอ้างอิงถึงเจ้าของเอกสารทุกครั้งที่มีการนำไปใช้

กิตติกรรมประกาศ

ปริญญาโทฉบับนี้ได้สำเร็จลุล่วงไปได้ด้วยดีเพราะได้รับความช่วยเหลือดูแลเป็นอย่างดีจาก อาจารย์ ศิริวัฒน์ โพิชเวชกุล อาจารย์ที่ปรึกษา ที่ช่วยอำนวยความสะดวกในด้านอุปกรณ์และคำแนะนำที่มีประโยชน์ ดร.นนทวัฒน์ จุลเดชะ ที่ให้คำแนะนำทางด้านวงจรควบคุมต่างๆ เจ้าหน้าที่สตรีที่ช่วยจัดหาอุปกรณ์ทุกอย่างให้ และที่จะขาดมิได้คือ ภาควิชาวิศวกรรมระบบควบคุมที่ได้อำนวยความสะดวกทั้งด้านเครื่องมืออุปกรณ์ต่างๆรวมถึงการพิมพ์และจัดหารูปเล่มของปริญญาโทฉบับนี้

คณะผู้จัดทำ

24 มีนาคม 2539



เอกสารนี้เป็นเอกสารที่สงวนไว้สำหรับการใช้งานเพื่อการศึกษาเท่านั้น ไม่อนุญาตให้นำไปใช้ประโยชน์ด้านการค้า
ไม่ว่ากรณีใดๆ ทั้งสิ้น อีกทั้งห้ามมิให้ตัดแปลงเนื้อหาและต้องอ้างอิงถึงเจ้าของเอกสารทุกครั้งที่มีการนำไปใช้



เอกสารอ้างอิง

- [1] E.W.Kimbark, “Direct Current Transmission”, Vol.1 ,Willey - Interscience, Newyork, 1971
- [2] T.Wildi, “Electrical Machines,Drives,And,PowerSystems”second edition,Prentice Hall,Inc.,USA,1991
- [3] M.H. Rashid,“Power Electronics Cirruit,Device,And Application” second edition, Prentice-Hall ,Inc,USA,1993
- [4] ศิริวัฒน์ โพธิเวชกุล ,” ระบบไฟฟ้ากำลังเล่ม 2 “ คณะวิศวกรรมศาสตร์ สถาบันเทคโนโลยีพระจอมเกล้าเจ้าคุณทหารลาดกระบัง , 2536
- [5] นนทวัฒน์ จุลเดชะ “การควบคุมความเร็วของมอเตอร์ไฟฟ้ากระแสตรงแบบขดลวดกระตุ้นแยก” วิทยานิพนธ์ คณะวิศวกรรมศาสตร์ สถาบันเทคโนโลยีพระจอมเกล้าเจ้าคุณทหารลาดกระบัง,2528
- [6] ไพศาล ธนบุญสมบัติ , วีระชัย นานอ่อน , สุภคินท์ สุทธิพิเชฐภรณ์ “ เครื่องเรียงกระแสสามเฟสสำหรับระบบสายส่งไฟฟ้ากระแสตรง “ วิทยานิพนธ์คณะวิศวกรรมศาสตร์ สถาบันเทคโนโลยีพระจอมเกล้าเจ้าคุณทหารลาดกระบัง , 2537

เอกสารนี้เป็นเอกสารที่สงวนไว้สำหรับการใช้งานเพื่อการศึกษาเท่านั้น ไม่อนุญาตให้นำไปใช้ประโยชน์ด้านการค้า
ไม่ว่ากรณีใดๆ ทั้งสิ้น อีกทั้งห้ามมิให้ตัดแปลงเนื้อหาและต้องอ้างอิงถึงเจ้าของเอกสารทุกครั้งที่มีการนำไปใช้